"SOLUÇÕES APROXIMADAS PELO MÉTODO

DE GALERKIN DE PROBLEMAS ENVOL 
VENDO O TRANSPORTE DE CARGAS EM

ISOLANTES".

Mariangela Tassinari de Figueiredo

Dissertação apresentada ao Instituto de Física e Química de São Car los, USP, para a obtenção do títu lo de Mestre em Física Básica

Orientador: Prof. Dr. Guilherme Fontes
Leal Ferreira



on

Departamento de Física e Ciência dos Materiais São Carlos - 1982

	O JULGADORA DA DISSERTAÇÃO DE MESTRADO DE
APRESENTADA AO INS	TITUTO DE FÍSICA E NUÍMICA DE SÃO CARLOS, DA
UNIVERSIDADE DE SÃO	DPAULO, EM 11 DE junho DE 1982.
COMISSÃO JULGADORA	
	Fitteller in Corllet - 5
	Dr. Guilherme Fontes L. Ferreira - Orientador
	Dr. Marcius Fantozi Giorgetti
	•

Dr. Silvestre Ragusa

Ao meu pai e ao Jasson

#### AGRADECIMENTOS

Sou extremamente grata ao Prof. Guilherme Fontes Leal Ferreira, pessoa que muito admiro por sua honestidade, perseverança e humildade, cuja orientação foi sempre muito segura, paciente e, sobretudo, amiga e, sem o qual, teria sido impossível a realização deste trabalho.

# Agradeço também

- Ao Prof. Heinz Von Seggern pela preciosa ajuda na utilização do Método das Diferenças Finitas,
- À Yvone A.Biason por ter datilografado este trabalho com disposição, cuidado e paciência,
- Ao Prof. René A.Moreno Alfaro pela amizade e carinho que sempre demonstrou,
- Aos Prof. José A.Giacometti, Bernhard Gross, Milton S.Campos, Roberto Faria e a todo o pessoal do Laboratório de Eletretos,

Ao Valdeci Massaro e Valdir Camargo Milchior pelo aux $\underline{\mathbf{1}}$  lio na utilização do computador.

Este trabalho foi realizado com o auxílio financeiro do CNPq, da FINEP, da TELEBRÁS e da FAPESP.

# INDICE

Resur	no		
Abstract II			
NotaçãoII			
I -	INTRODUÇÃO		
II -	METODO DE GALERKIN		
	2.1- Redução a equações algébricas		
	2.2- Redução a equações diferenciais ordinárias		
	2.3- Condições iniciais		
III -	INTRODUÇÃO À RESOLUÇÃO DOS PROBLEMAS		
IV -	DECAIMENTO DO POTENCIAL DE SUPERFÍCIE DE UMA AMOSTRA CAR		
	REGADA COM DESCARGA CORONA		
	4.1- Introdução		
	4.2- Calculo do potencial de superfície		
	<b>4.2.1-</b> t ≤ 1		
	4.2.2- t > 1		
	<b>4.2.3-</b> Resultados		
	4.3- Solução analítica 23		
	4.3.1- Cálculos 23		
	4.3.2- Resultados 25		
	4.4- Amostra com um nível de traps 27		
	4.4.1- Cálculos 27		
	4.4.2- Resultados 31		
v -	POTENCIAL DE SUPERFÍCIE DE UMA AMOSTRA COM DENSIDADE INI		
	CIAL DE CARGAS CONHECIDA		
	5.1- Introdução		
	5.2- $\rho_0=0$ e $\rho_{to}=1+0.5x$		
	5.3- $\rho_0 = C x^{-1/2}$ e $\rho_{to} = C + x^{-1/2}$		
VI -	IDC E TSD EM CURTO CIRCUITO 44		
	6.1- Introdução		

6.2- IDC em curto circuito	47		
6.2.1- Condições iniciais (1)	48		
6.2.2- Condições iniciais (2)	50		
6.2.3- Condições iniciais (3)	53		
6.3- TSC em curto circuito	56		
VII - IDC E TSC COM VOLTAGEM APLICADA	67		
7.1- Introdução	67		
7.2- IDC com voltagem aplicada	70		
7.2.1- Condições iniciais dadas pela eq.(VI.10)	70		
7.2.2- Condições iniciais dadas pela eq.(VI.11)	75		
7.3- TSC com voltagem aplicada	78		
CONCLUSÕES			
REFERÊNCIAS BIBLIOGRÁFICAS			
APÊNDICE A			
APÊNDICE B			
APÊNDICE C			

r

#### **RESUMO**

São apresentadas as soluções aproximadas de alguns problemas de transporte de carga em dielétricos, inexpugnáveis ainda a um tratamento rigoroso, usando-se o Método de Galerkin. Com ele reduz-se o sistema de equações a derivadas parciais, que des crevem o transporte na presença de armadilhas, em um sistema de e quações diferenciais ordinárias que são, então, integradas numericamente. Sempre que possível, a solução aproximada é comparada com alguma exata ou quase-exata, como a que se obtém da integração numérica direta do sistema de equações a derivadas par ciais com o Método das Diferenças Finitas. Três diferentes condi ções de contorno são empregadas aqui: circuito aberto, curto cir cuito e circuito fechado com uma voltagem aplicada entre os eletrodos; em alguns casos considera-se temperatura variável. método requer que sejaescolhida a priori , a forma da distribui ção de carga livre; verifica-se que a corrente é mais sensível a esta distribuição do que o potencial de superfície, que sempre re sulta muito próximo do exato, mesmo quando a aproximação parece grosseira.

#### ABSTRACT

Approximate solutions for some problems of charge trans port in dielectrics, unsolved yet by exact methods, are presented using Galerkin's Method. This allows to transforming the system of partial differential equations, describing transport with trapping, into a system of ordinary differential equations which are, then, integrated numerically. Whenever possible, a comparison is made between this approximate solution with some exact or quasi-exact solution as, for example, that obtained from the direct numerical integration of the system of partial differen tial equations using the Finite Difference Method. Three different boundary conditions are considered here: open circuit, short circuit and closed circuit with a voltage applyed between electrodes; in some cases the temperature was allowed to vary . Use of Galerkin's Method requires a priori choice of the charge distribution; there results that the current is more sensitive to this distribution than the surface potential which leads to good results even when the approximation seems crude.

## NOTAÇÃO

A,B,C: variáveis auxiliares

E', E: campo elétrico

 $E_1(x)$ : integral exponencial  $E_1(x) = \int_{x}^{\infty} \frac{e^{-u}}{u} du$ 

i'c,ic: densidade de corrente de condução

j',j: densidade de corrente total

k: probabilidade de detrapping, ou mais corretamente, inverso do tempo de detrapping

k<sub>B</sub>: constante de Boltzmann

l: espessura da amostra

 $\mathbf{M}_{\text{ti}}$ : momento de ordem i da carga inicial nos traps

P,p: variáveis auxiliares

Q',Q: carga por unidade de área

S,s: variáveis auxiliares

t',t: tempo

t<sub>r</sub>: ℓ<sup>2</sup>/μV<sub>O</sub>

T: temperatura

T\*: temperatura correspondente ao máximo da corrente termo-estim $\underline{\mathbf{u}}$  lada

 $T_1, T_2$ : menor e maior temperaturas, respectivamente, em que a corrente tem um valor igual à metade do seu máximo valor.

u: variável auxiliar

 $V', V, V'_1, V_1$ : diferenças de potencial

w<sub>1</sub>, w<sub>2</sub>: variāveis auxiliares

x',x: coordenada de posição

 $Y_{i}$  : momento de ordem (i-1) da carga nos traps

 $\alpha_1, \alpha_2$ : variaveis auxiliares

 $\beta$ : razão de aquecimento

ε: constante dielétrica

- $\lambda_1$ ,  $\lambda_2$ : variáveis auxiliares
- μ: mobilidade
- v: frequência de escape
- $\rho$ ',  $\rho$ : densidade volumétrica de carga livre
- $\rho_{\mbox{\scriptsize t}}^{\mbox{\scriptsize t}},\ \rho_{\mbox{\scriptsize t}}^{\mbox{\scriptsize t}}$  densidade volumétrica de carga nos traps
- $\tau$  , $\tau$ : tempo de trapping, ou, tempo de captura
- φ: energia de ativação dos traps

obs: as quantidades  $x,t,\rho,\rho_t,\tau,k,E,V,i_c,j$  estão nas unidades adimensionais, mais convenientes para serem usadas nos problemas que testaremos. A relação entre elas e as quantidades correspondentes em unidades normais é dada no Capítulo III.

#### INTRODUÇÃO

O problema de transporte de cargas em dielétricos com ar madilhas no estado transiente é relativamente difícil devido complicadas equações que o regem exigindo, no caso mais geral trapping e detrapping, a resolução de um sistema de equações dife renciais parciais, não lineares. Já existem soluções exatas sistema para determinadas condições iniciais e de contorno, particulares parâmetros de trapping e detrapping como a de Rudenko(1) que apresentou a solução para o caso de amostra carregada por descarga corona em circuito aberto quando os traps são profun dos; a de Many e Rakavy(2), para injeção de portadores por contacto ôhmico quando uma voltagem é aplicada para duas situa ções extremas: nenhum trapping e trapping rápido; e a de Leal Fer reira e Nunes Oliveira (3) para o caso de distribuição inicial de cargas nos traps linear e nenhum retrapping. Para muitos problemas ainda sem solução exata, têm sido propostas soluções aproxima das como nas referências (4-7).

Embora seja bastante vasta a literatura neste campo, este assunto ainda não está esgotado, existindo, ainda, muitos problemas sem solução. Muitos destes podem ser resolvidos através da integração numérica direta do sistema de equações, aproximando as derivadas por diferenças finitas (Método de Diferenças Finitas) (8, 9). Esta forma de resolução pode dar resultados muito próximos dos exatos, apresentando, no entanto, o inconveniente de requerer, às vezes, longos tempos de computação a fim de dar soluções estáveis. Por isso, continua sendo válida a busca de soluções aproximadas desde que estas possam ser obtidas mais rapidamente.

Neste trabalho, as equações de transporte de carga são

resolvidas, para várias condições iniciais e de contorno, fazendo uso de um método matemático aproximado: o método de Galerkin(10). Como será visto no Capítulo II, os fundamentos deste método são bem simples, e a solução pode se aproximar bastante da solução exata, de maneira que ele pode ser uma ferramenta poderosa para se resolver tal sistema de equações.

O método de Galerkin pode ser usado em equações diferenciais ou, mesmo, întegro-diferenciais, de qualquer tipo, dando os mesmos resultados que os métodos variacionais que, por sua vez, só são justificáveis quando a equação diferencial é linear e auto adjunta(10). Isto porque os métodos variacionais carregam, implicitamente, a idéia da existência de algum funcional cujas condições de ser estacionário dão a solução do problema; mas funcio nais, geralmente, só podem ser obtidos quando a equação diferencial é auto-adjunta e linear (11,12). Quando as equações não são deste tipo outros princípios, também chamados de variacionais, têm sido propostos (13), porém, conforme Finlayson e Scriven(12), estes não são verdadeiros princípios variacionais, devendo ser mais corretamente chamados de princípios quasi-variacionais sendo, na verdade, equivalentes ao método de Galerkin.

Este método já foi usado por P.C.Camargo (14) para o caso de isolante sem traps em curto circuito sendo os resultados mui to bons. Neste trabalho é tratado o caso de isolante com traps; os problemas são resolvidos pelo método de Galerkin fazendo-se , quando possível, uma comparação entre a solução assim obtida com alguma outra, exata ou mais próxima da exata. Os capítulos II e III são introdutórios: O Capítulo II contém um resumo do método e o Capítulo III as hipóteses e equações básicas necessárias nos capítulos seguintes. Nos Capítulos IV e V a condição de contorno é a de circuito aberto, tendo o primeiro, como condição inicial, to da a carga concentrada numa das superfícies e o segundo, a carga

distribuída no interior da amostra (duas distribuições diferentes). No Capítulo VI a condição de contorno é a de curto circuito e se considera três diferentes condições iniciais, todas com a carga no interior da amostra. Finalmente, no Capítulo VII, a condição de contorno é a de voltagem aplicada e a condição inicial análoga a duas das usadas no Capítulo VI. Em todos estes problemas, o objetivo final é calcular a quantidade experimental mente mensurável: o potencial de superfície nos dois primei ros casos e a corrente total nos dois últimos, sendo a resolução apresentada com mais detalhes nos primeiros e mais direta mente nos últimos, já que o procedimento é, basicamente, o mesmo e a leitura se torna, dessa forma, mais fácil.

As integrações numéricas diretas do sistema de equa - ções a derivadas parciais empregando o Método das Diferenças Finitas apresentadas nos capítulos VI e VII e utilizadas como um teste para as soluções aproximadas pelo Método de Galerkin, foram feitas aproveitando a visita do Prof. H.Von Seggern a este Departamento.

# CAPÍTULO II

#### METODO DE GALERKIN

## 2.1- Redução a equações algébricas

Suponha que se queira determinar f(x,t) solução da equação

$$L(f(x,t),x,t) = 0 (II.1)$$

A solução f(x,t) pode ser representada como uma série

$$f(x,t) = \sum_{i=1}^{\infty} c_i \Psi_i(x,t)$$

onde os  $c_i$  são constantes indeterminadas e as funções  $\Psi_i(x,t)$  são linearmente independentes e formam um conjunto completo de fun - ções  $\{\Psi_i(x,t)\}$   $(i=1,2,\ldots,N,\ldots)$ . Pode-se, ainda, interpretar o fato de a expressão L(f(x,t),x,t) ser identicamente nula dizendo que esta expressão é ortogonal a todas as funções do conjunto  $\{\Psi_i(x,t)\}$  no domínio de interesse para o problema. A partir das condições de ortogonalidade

$$\iint_{D} L(f(x,t),x,t) \Psi_{\mathbf{i}}(x,t) dxdt = 0 \qquad i=1,2,...,N,...$$

determina-se os coeficientes ci.

O que foi dito acima é exato. A aproximação de Galerkin consiste em:

l - truncar a série, considerando como solução da eq. (II.1) a função

$$\bar{f}(x,t) = \sum_{i=1}^{N} c_i \Psi_i(x,t)$$
 (II.2)

onde as funções  $\Psi_{\bf i}({\bf x},t)$  devem obedecer às mesmas condições de contorno que as requeridas da solução exata. Quando se conhece previamente o comportamento desta solução, é possível escolher as funções  $\Psi_{\bf i}({\bf x},t)$  de tal forma que, com poucos termos na série (N=1 ou 2),  $\bar{\bf f}({\bf x},t)$  já se aproxime bem da solução exata.

2 - satisfazer a apenas N condições de ortogonalidade

Estas condições de ortogonalidade dão as N equações algébricas necessárias para a determinação dos N coeficientes com as quais se obtém a solução aproximada na forma da eq.(II.2).

O método de Galerkin se aplica, em princípio, a qual quer problema. Quando este problema pode ser tratado com a formu lação variacional (o que acontece quando a eq.(II.1) é auto-ad junta podendo, portanto, ser tratada como a equação de Euler cuja solução minimiza determinado funcional) o método de Galerkin e o de Ritz (10,15) (que é um método variacional) dão a mesma solução aproximada.

## 2.2- Redução a equações diferenciais ordinárias

Já foi dito que o método de Galerkin converge rapidamente quando se conhece previamente a forma da solução em todas as direções (x e t no caso discutido na seção anterior), o que facilita a escolha das funções  $\Psi_{\bf i}({\bf x},{\bf t})$ . No entanto, quando não se conhece o comportamento da solução numa das direções, a utiliza — ção do método descrito acima pode se tornar inconveniente. Uma boa alternativa é usar o método de Galerkin fazendo a mesma modificação proposta por Kantorovich para o método de Ritz que é descrita na referência (10) como "Redução a equações diferenciais ordinã — rias". Esta modificação aplicada ao método de Galerkin aparece, na referência (15), como o método de Faedo-Galerkin.

Neste método, deixa-se indeterminada a solução em uma das variáveis, ou seja, representa-se a solução na forma

$$\bar{f}(x,t) = \sum_{i=1}^{N} c_{i}(t) \Psi_{i}(x)$$
 (II.4)

onde, agora, os  $c_i(t)$  são funções desconhecidas do tempo e  $\Psi_i(x)$  funções de apenas uma variável, escolhidas de acordo com o com portamento da solução na direção desta variável. Dessa forma, de rivadas parciais da função f(x,t) se transformam em derivadas to tais dos coeficientes  $c_i(t)$ e integrais duplas em simples. Com con dições de ortogonalidade análogas às da eq. (II.3)

$$\int_{D} L(\bar{f}(x,t),x,t) \Psi_{i}(x) dx = 0$$
 , i=1,2,...N (II.5)

obtém-se um sistema de N equações diferenciais ou integro-dife - renciais (dependendo da equação original, eq.(II.1)) ordinárias na variável t para a determinação dos N coeficientes  $c_i$  (t).

Além de ser mais preciso, este método tem a vantagem de

exigir o conhecimento prévio de apenas parte da solução, sendo o resto determinado de acordo com o caráter do problema(10). É este o método que será utilizado na resolução de todos os problemas desta dissertação, fixando a priori apenas o comportamento da solução na variável espacial e deixando indeterminado seu comportamento na variável temporal.

## 2.3- Condições iniciais

Quando as condições iniciais para os  $c_i(t)$  não são óbvias a partir daquelas do problema original, estas devem ser obtidas impondo-se que

$$\int_{D} \left[ f(x,0) - \bar{f}(x,0) \right] \Psi_{i}(x) dx = 0$$
, i=1,...,N (II.6)

No caso ideal em que  $\bar{f}(x,0)\equiv f(x,0)$ , o termo entre colche tes na integral acima é identicamente nulo sendo, portanto, ortogonal a todas as funções do conjunto completo  $\{\Psi_i(x)\}$ . No caso mais geral em que isto não acontece, a eq.(II.6) corresponde a impor que a diferença f- $\bar{f}$  seja ortogonal pelo menos às N primei ras funções deste conjunto completo. Quando o conjunto  $\{\Psi_i(x)\}$  for escolhido como  $\{x^i\}$ ,  $i=0,1,2,\ldots$ , a eq.(II.6) pode ser entendi da como a imposição de que os momentos de ordem 0 até N da distribuição inicial sejam mantidos na aproximação.

8

#### CAPÍTULO III

# INTRODUÇÃO À RESOLUÇÃO DOS PROBLEMAS

Este capítulo contém algumas considerações que são co - muns à maioria dos problemas resolvidos nesta dissertação.

- l Isolante com geometria plano-paralela, de espessura  $\ell$ , com o eixo x' perpendicular ao plano da amostra.
- 2 Efeitos dos contactos ou de superfície serão ignorados: ou os contactos serão bloqueantes para a entrada de carga ou receberão as cargas que chegam às imediações dos eletrodos.
- 3 A densidade de traps livres será sempre considerada muito maior do que a de traps preenchidos.
- 4 Não será levado em conta o termo de difusão na corrente to tal, o que é comum no tratamento de correntes limitadas por car ga espacial (SCLC) e que, em geral, é uma boa aproximação (16,17).
- 5 Considera-se que só há um tipo de portadores (positivos ou negativos) participando do processo de condução.
- 6 As equações básicas são:

$$i_{\mathbf{C}}'(\mathbf{x}',\mathbf{t}') = \mu \rho'(\mathbf{x}',\mathbf{t}') \mathbf{E}'(\mathbf{x}',\mathbf{t}')$$

$$\frac{\partial}{\partial \mathbf{x}'} \mathbf{E}'(\mathbf{x}',\mathbf{t}') = \frac{\rho'(\mathbf{x}',\mathbf{t}')}{\varepsilon} + \frac{\rho_{\mathbf{t}}'(\mathbf{x}',\mathbf{t}')}{\varepsilon}$$

$$\frac{\partial}{\partial \mathbf{x}'} i_{\mathbf{C}}'(\mathbf{x}',\mathbf{t}') + \frac{\partial}{\partial \mathbf{t}'} \rho'(\mathbf{x}',\mathbf{t}') + \frac{\partial}{\partial \mathbf{t}'} \rho_{\mathbf{t}}'(\mathbf{x}',\mathbf{t}') = 0$$

$$\frac{\partial}{\partial \mathbf{t}'} \rho_{\mathbf{t}}'(\mathbf{x}',\mathbf{t}') = \frac{\rho'(\mathbf{x}',\mathbf{t}')}{\tau'} - \mathbf{k}' \rho_{\mathbf{t}}'(\mathbf{x}',\mathbf{t}')$$

$$j'(\mathbf{t}') = i_{\mathbf{C}}'(\mathbf{x}',\mathbf{t}') + \varepsilon \frac{\partial}{\partial \mathbf{t}'} \mathbf{E}'(\mathbf{x}',\mathbf{t}')$$

$$V'(\mathbf{t}') = \int_{0}^{\ell} \mathbf{E}'(\mathbf{x}',\mathbf{t}') d\mathbf{x}'.$$

que são, respectivamente, a definição da densidade de corrente de condução, a equação de Poisson, a equação da continuidade, a e quação de balanço entre a banda de condução e os traps, a densida de de corrente total e a diferença de potencial entre x'=0 e  $x'=\ell$ .

7 - As soluções são dadas com as grandezas em unidades adimensionais, que se relacionam com as normais da seguinte maneira:

$$x = \frac{x'}{\ell} , \quad t = \frac{t'}{t_r} , \quad \tau = \frac{\tau'}{t_r} , \quad k = k' t_r ,$$

$$V = \frac{V'}{V_O} , \quad E = \frac{E'}{(V_O/\ell)} , \quad \rho = \rho' \frac{\ell^2}{\epsilon V_O} , \quad \rho_t = \rho'_t \frac{\ell^2}{\epsilon V_O} ,$$

$$i_C = i_C' \frac{\ell^3}{\mu \epsilon V_O^2} , \quad j = j' \frac{\ell^3}{\mu \epsilon V_O^2} , \quad Q = \frac{Q'}{Q_O} ,$$

onde  $t_r$  =  $\ell^2/(\mu V_O)$ ,  $V_O$  é uma quantidade arbitrária, com dimensão de potencial, escolhida de forma a simplificar os coeficientes nu méricos, e

$$Q_{0} = \int_{0}^{\ell} \left[ \rho'(x',0) + \rho'(x',0) \right] dx'$$

é a carga total na amostra no instante inicial.

8 - Com estas unidades reduzidas as equações básicas se simplificam e, na mesma ordem com que foram colocadas no ítem (6) acima, escrevem-se

$$i_{C}(x,t) = \rho(x,t) E(x,t)$$
 (III.1)

$$\frac{\partial}{\partial x} E(x,t) = \rho(x,t) + \rho_t(x,t)$$
 (III.2)

$$\frac{\partial}{\partial x} i_{c}(x,t) + \frac{\partial}{\partial t} \rho(x,t) + \frac{\partial}{\partial t} \rho_{t}(x,t) = 0$$
 (III.3)

$$\frac{\partial}{\partial t} \rho_t(x,t) = \frac{\rho(x,t)}{\tau} - k \rho_t(x,t)$$
 (III.4)

$$j(t) = i_{C}(x,t) + \frac{\partial}{\partial t} E(x,t)$$
 (III.5)

$$V(t) = \int_{0}^{t} E(x,t) dx$$
 (III.6)

## CAPÍTULO IV

# DECAIMENTO DO POTENCIAL DE SUPERFÍCIE DE UMA AMOSTRA CARREGADA COM DESCARGA CORONA

## 4.1- Introdução

Considera-se uma amostra dotada de apenas um nível de traps, tendo uma superfície metalizada, ligada à terra, e a outra, livre, carregada por uma descarga corona rápida. A condição de contorno é a de circuito aberto e a condição inicial é toda a carga concentrada em x'=0 no instante t'=0. Supõe-se que toda a carga entra na amostra em direção à outra extremidade, x'=1, caminhando sob a ação de seu próprio campo. O que se pretende, neste capítulo, é calcular a diferença de potencial entre as duas extremidades da amostra como função do tempo.

As considerações do Capítulo III são válidas aqui. As eq. (III.1), (III.2) e (III.4) podem ser usadas para escrever a eq. (III.3) na forma

$$E \frac{\partial \rho}{\partial x} + \rho^2 + \rho \rho_t + \frac{\partial \rho}{\partial t} + \frac{\rho}{\tau} - k \rho_t = 0$$
 (IV.1)

O campo elétrico E(x,t) e a densidade de cargas presas nos traps são funções da densidade de cargas livres  $(\rho)$  e são da dos pelas equações de Poisson e de balanço entre a banda de condução e os traps, respectivamente.

A eq.(IV.1) é uma expressão do mesmo tipo que a eq. (II.1), com derivadas parciais, integrais e não linear. É possível, então, resolvê-la com o método aproximado descrito na seção 2 do Capítulo II.

O comportamento de  $\rho$  na variável espacial (x) será fixa

do com base no seguinte: depois que toda a carga entra na amos - tra o campo elétrico, e consequentemente a velocidade dos portadores em x=0, se anula obrigando a distribuição de cargas a ter uma extremidade sempre encostada na superfície x=0. A fren - te de cargas caminha com a velocidade

$$\frac{dx'_f}{dt'} = \mu E_O' = \mu \frac{V_O}{\ell}$$

ou

$$\frac{dx_f}{dt} = 1$$

onde  $x'_f$  e  $x_f$  são a posição da frente de cargas nas unidades normais  $\dot{e}$  reduzidas respectivamente.

Para a representação de  $\rho$  na forma dada pela eq.(II.4) , vamos considerar apenas um termo na série, ou seja N=1, com

$$\Psi_{\mathbf{i}}(\mathbf{x}) = \begin{cases} 1 & , & \mathbf{x} \leq \mathbf{x}_{\mathbf{f}} = \mathbf{t} \\ \\ 0 & , & \mathbf{x} > \mathbf{x}_{\mathbf{f}} = \mathbf{t} \end{cases}$$
 (IV.2)

Isto significa considerar que  $\rho$  tem o perfil mostrado na Fig.l , ou seja:

C(t)
$$0.0 \quad x_{\uparrow} = 1 \quad i.0$$

$$0 \quad rig.1. \text{ Perfil aproxima} \quad \rho = \begin{cases} c(t) & \text{, } x < t \\ 0 & \text{, } x > t \end{cases}$$

$$(\text{IV.3})$$

do da densidade
de cargas num ins
tante t < 1

Resta, agora, determinar c(t). Isto é feito através da condição

$$\int_{0}^{t} (E \frac{\partial \rho}{\partial x} + \rho^{2} + \rho \rho_{t} + \frac{\partial \rho}{\partial t} + \frac{\rho}{\tau} - k \rho_{t}) \Psi_{i}(x) dx = 0 , \quad (IV.4)$$

que corresponde à eq.(II.5).

# 4.2- Cálculo do potencial de superfície

O fato de a distribuição ter uma frente que caminha até tocar o eletrodo em x=1, exige que o problema seja separado em duas partes: antes e depois de esta frente chegar em x=1.

#### $4.2.1 - t \leq 1$

Em unidades normais esta condição se escreve t'  $< \ell^2/\mu V_0$ . Isto significa que a frente de cargas ainda não chegou, ou apenas chegou, em  $x^* = \ell$ .

Introduzindo (IV.2) e (IV.3) na eq. (IV.4) obtém-se

$$\int_{0}^{t} \left( c(t) \right)^{2} + c(t) \rho_{t}(x,t) + \dot{c}(t) + \frac{c(t)}{\tau} - k \rho_{t}(x,t) \right) dx = 0$$

$$tc^2 + tc + \frac{tc}{\tau} + (c-k) \int_0^t \rho_t(x,t) dx = 0$$
 (IV.5)

 $\rho_{\text{t}}(\text{x,t}) \text{ \'e obtido da integração da eq. (III.4), lembrando}$  de (IV.3)

$$\rho_{t}(x,t) = \frac{e^{-kt}}{\tau} \int_{x}^{t} e^{kt'} c(t') dt'$$
 (IV.6)

Então

$$\int_{0}^{t} \rho_{t}(x,t) dx = \frac{e^{-kt}}{\tau} \int_{0}^{t} dx \int_{x}^{t} e^{kt} c(t') dt' =$$

$$= \frac{e^{-kt}}{\tau} \int_{0}^{t} dt' \int_{0}^{t} c(t') e^{kt'} dx = \frac{e^{-kt}}{\tau} \int_{0}^{t} e^{kt'} c(t') dt'$$

Introduzindo este resultado na eq.(IV.5)

$$tc^2 + t\dot{c} + \frac{tc}{\tau} + (c-k)\frac{e^{-kt}}{\tau} \int_0^t e^{kt'} c(t') dt' = 0$$
 (IV.7)

Seja

$$P(t) = e^{-kt} \int_{0}^{t} t' e^{kt'} c(t') dt'$$
 (IV.8)

 $e S = \dot{P}$ 

Então

$$c(t) = \frac{S+kP}{t}$$
 (IV.9)

e a eq.(IV.7) se desdobra em duas equações diferenciais, uma para P, outra para S

$$\dot{S} = -(S+kP) \left[ \frac{(S+kP) + P/\tau - 1}{t} + \frac{1}{\tau} \right] + k \left( \frac{P}{\tau} - S \right)$$
(IV.10)

A tensão através da amostra é dada pela eq.(III.6)

$$V(t) = \int_{0}^{t} E(x,t) dx = \int_{0}^{t} Edx + \int_{0}^{t} Edx = \int_{0}^{t} Edx + (1-t)$$
 (IV.11)

onde usamos o fato de que o campo elétrico na região que ainda não

tem cargas é, nas unidades adimensionais, igual à unidade.

O campo elétrico, em função de c(t), pode ser obtido da equação de Poisson usando as equações (IV.3) e (IV.6). Para re - solver as integrais que aparecem, então, na expressão do poten - cial, é preciso conhecer c(t) que é obtido numericamente; consequentemente, estas integrais também devem ser feitas numericamente. Preferiu-se, por isso, usar uma equação diferencial para o potencial de superfície, obtida da seguinte maneira: deriva - se com relação ao tempo a expressão acima para V(t), obtendo-se

$$\frac{dV}{dt} = \int_{0}^{t} \frac{\partial E}{\partial t} dx \qquad (IV.12)$$

Será necessário, agora, introduzir a condição de circuito aberto o que significa que a corrente total é nula. Integrando em x os dois membros da eq.(III.5), usando as eq.(III.1) e (IV.3) e a condição j(t)=0, resulta

$$c \int_{0}^{t} E dx + \int_{0}^{t} \frac{\partial E}{\partial t} dx = 0$$

Colocando nesta equação os resultados das eq.(IV.11) e (IV.12), obtém-se a equação procurada

$$\frac{dV}{dt} + cV = c(1 - t) \tag{IV.13}$$

Observemos que, nesta equação, aparece o c(t) dado pela eq.(IV.9) que por sua vez é dado em termos de P e S obtidos da eq.(IV.10).

Falta, ainda, explicitar as condições iniciais para P,S e V. Com o uso da eq.(IV.3) e da condição de que, para  $t \rightarrow 0$ ,  $\rho_t(x,t) = 0$  na equação da continuidade, eq.(III.3) resulta

$$\frac{d\mathbf{c}}{dt} + c^2 = 0,$$

cuja integração dá

$$c(t) = \frac{c_0}{1 + c_0 t}$$

onde  $c_0$  é a densidade de carga no instante t=0 que é muito grande, já que neste instante toda a carga está concentrada em x=0. Então, para um instante  $t_0$  muito próximo de zero,

$$c(t_0) \simeq \frac{1}{t_0}$$
 (IV.14)

Este  $c(t_0)$  nas eq.(IV.8) que definem P e S dá as condições iniciais

$$P(t_{o}) = \frac{1 - e^{-kt_{o}}}{k}$$

$$E(t_{o}) = e^{-kt_{o}}$$

$$(IV.15)$$

Inserindo agora, a eq.(IV.3), a equação de Poisson e a condição  $\rho_{t}(t \rightarrow 0) = 0$  na condição j(t) = 0, obtém-se

$$\frac{1}{2} \frac{\partial E^2}{\partial x} + \frac{\partial E}{\partial t} = 0$$

que, integrada em x de 0 até 1 dá

$$\frac{dV}{dt} = -\frac{1}{2} \tag{IV.16}$$

 $V(t_0)$  é, finalmente, obtido pela substituição de (IV.14)e (IV.16) na eq.(IV.13)

$$V(t_0) = 1 - t_0/2$$
 (IV.17)

A integração do sistema de equações (IV.10), (IV.9) e (IV.13) com as condições iniciais dadas pelas eq.(IV.15) e (IV.17) foi feita numericamente e os resultados são apresentados na seção 4.2.3 em conjunto com aqueles para o caso t > 1. Na seção 4.3.1 é apresentada a solução analítica para a eq.(IV.5).

# 4.2.2- t > 1

Como x  $\leq$  1 e, aqui, t > 1, as eq.(IV.2) e (IV.3) na eq.(IV.4) dão

$$\int_{0}^{t} \left(c^{2} + c\rho_{t} + \dot{c} + \frac{c}{\tau} - k\rho_{t}\right) dx = 0,$$

$$(IV.18)$$

$$c^{2} + \dot{c} + \frac{c}{\tau} + (c - k) \int_{0}^{t} \rho_{t} dx$$

Da eq. (IV.6)

$$\int_{0}^{t} dx = \frac{e^{-kt}}{\tau} \int_{0}^{t} dx \int_{x}^{t} e^{kt'} c(t') dt' =$$

$$= \frac{e^{-kt}}{\tau} \left\{ \int_{0}^{t} dt' \int_{0}^{t} e^{kt'} c(t') dx + \int_{0}^{t} dt' \int_{0}^{t} e^{kt'} c(t') dx \right\} =$$

$$= \frac{e^{-kt}}{\tau} \left\{ \int_{0}^{t} t' e^{kt'} c(t') dt' + \int_{0}^{t} e^{kt'} c(t') dt' \right\}$$

Mas, conforme (IV.8)

$$e^{-k}$$
  $\int_{0}^{t} t'e^{kt'}c(t')dt' = P(1)$ 

Então, a eq.(IV.18) se escreve

$$\dot{c} + c^2 + \frac{c}{\tau} + \frac{(c-k)}{\tau} \{P(1)e^{k(1-t)} + e^{-kt}\}^{t} e^{kt'} c(t') dt'\} = 0$$

Definindo agora

$$p(t) = e^{-kt} \int_{t}^{t} e^{kt} c(t') dt'$$

$$s(t) = \dot{p}, \qquad (IV.19)$$

obtém-se

$$c(t) = s + kp (IV.20)$$

e a equação acima se desdobra em duas

$$\dot{p} = s$$

$$\dot{s} = - (s + kp) \left( (s + kp) + \frac{e^{k(1-t)}p(1) + p + 1}{\tau} \right)$$

$$+k \left( \frac{e^{k(1-t)}p(1) + p - s}{\tau} - s \right)$$

A equação para a voltagem é obtida de maneira análoga à correspondente para t  $\leqslant$  1: derivando em relação ao tempo a eq . (III.6)

$$\frac{dV}{dt} = \int_{0}^{1} \frac{\partial E}{\partial t} dx , \qquad (IV.22)$$

integrando em x os dois membros da eq.(III.5), e usando as eq.(III.1), (IV.3) e a condição de circuito aberto, j(t) = 0, obtém-se

$$c \int_{0}^{t} E dx + \int_{0}^{t} \frac{\partial E}{\partial t} dx = 0,$$

que, com as eq.(III.6) e (IV.22), dá

$$\frac{dV}{dt} + cV = 0 (IV.23)$$

Tendo, então, c(t) que é dado pela eq.(IV.20) em termos de s(t) e p(t) que podem ser tirados das eq.(IV.21), pode-se integrar a eq.(IV.23) obtendo - se V(t) para t > 1.

As condições iniciais, ou seja p(l), s(l) e V(l) são de terminadas a partir das eqs. (IV.19) e (IV.20)

$$p(1) = 0$$
 (IV.24)  $s(1) = c(1)$ 

onde c(1) é o último valor calculado para c(t) no caso de t  $\leqslant$  1, já que c(t) deve ser contínuo. O mesmo acontece com a voltagem , sendo V(1) também tirado do cálculo anterior.

## 4.2.3- Resultados

As curvas cheias da Fig.(2) são curvas de decaimento do potencial de superfície em função do tempo feitas numericamen — te a partir dos cálculos da seção 4.2.1 para t  $\leq$  1 e 4.2.2 para t > 1, para o caso de traps profundos (k=0). Os pontos correspondem à voltagem calculada na ref.(18) a partir da densidade de cargas calculada por Rudenko(1), teoria que foi utilizada nas ref. (18 e 19) para ajustar as curvas de decaimento do potencial de superfície e determinar o tempo de captura,  $\tau$ , de monocris —

tais de naftaleno. Observe que, para este caso de traps profundos, o potencial só vai a zero quando t $\rightarrow \infty$ , se  $\tau \rightarrow \infty$ , que é o caso de carga livre. Quanto menor o tempo de captura, mais cargas ficam presas nos traps o que dá origem a um potencial residual maior.

O cálculo de Rudenko é exato, porém, não considera o de trapping, enquanto o cálculo apresentado aqui, aproximado, não tem essa limitação. Como o método de Galerkin se mostrou mui - bom para o caso de k=0, podemos esperar que também o será para k  $\neq$  0. Deve-se salientar, no entanto, que os resultados aqui a - presentados não se devem aplicar aos casos em que a mobilidade mo dulada (2),  $\frac{\mathbf{k'r'}}{\mathbf{l+k'r'}}$   $\mu$ , que, nas unidades adimensionais, se escreve  $\frac{\mathbf{kr}}{\mathbf{l+kr}}$ , seja muito diferente da mobilidade real dos portado - res,  $\mu$ . Isto porque foi usada a condição (eq.(IV.16)),

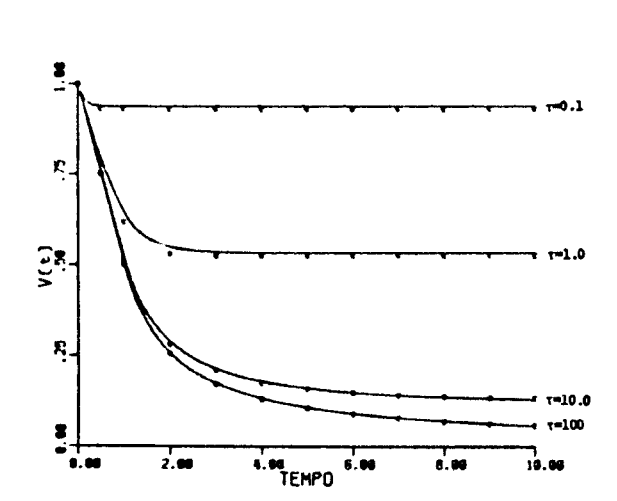


FIG.2. Decaimento do potencial de superfície de uma amos tra carregada por descarga corona rá pida. Sem detrapping (k=0). Cur vas cheias: cálcu los feitos nesta seção. Pontos:cál culo exato de Rudenko.

$$\begin{vmatrix} \frac{d\mathbf{V}}{dt} \\ t=0 \end{vmatrix} = -\frac{1}{2} ,$$

para determinar a condição inicial para V(t), e foi considerado que a frente de cargas se move com velocidade unitária, hipóteses

que estão diretamente relacionadas com o fato de se considerar mobilidade igual a 1, nas unidades adimensionais. Com base nisto podemos afirmar que este cálculo deve dar bons resultados se:

- a) o tempo de trapping  $(\tau)$  for grande (maior que, aproximadamente, duas vezes o tempo de trânsito), de forma que poucas cargas são aprisionadas e a frente de cargas se mova com velocidade muito próxima de 1.
- b)  $\tau$  for muito pequeno e k não muito grande (1/k  $\geqslant$  tempo de medida) de forma que a maior parte da carga fica perto de x=0. Para tempos maiores do que da ordem de 1/k as cargas já es tão penetrando na amostra, a frente destas caminhando justamente com a mobilidade modulada.
  - c)  $k\tau >> 1$  de forma que

$$\frac{\mathbf{k}\tau}{1+\mathbf{k}\tau} \simeq 1$$

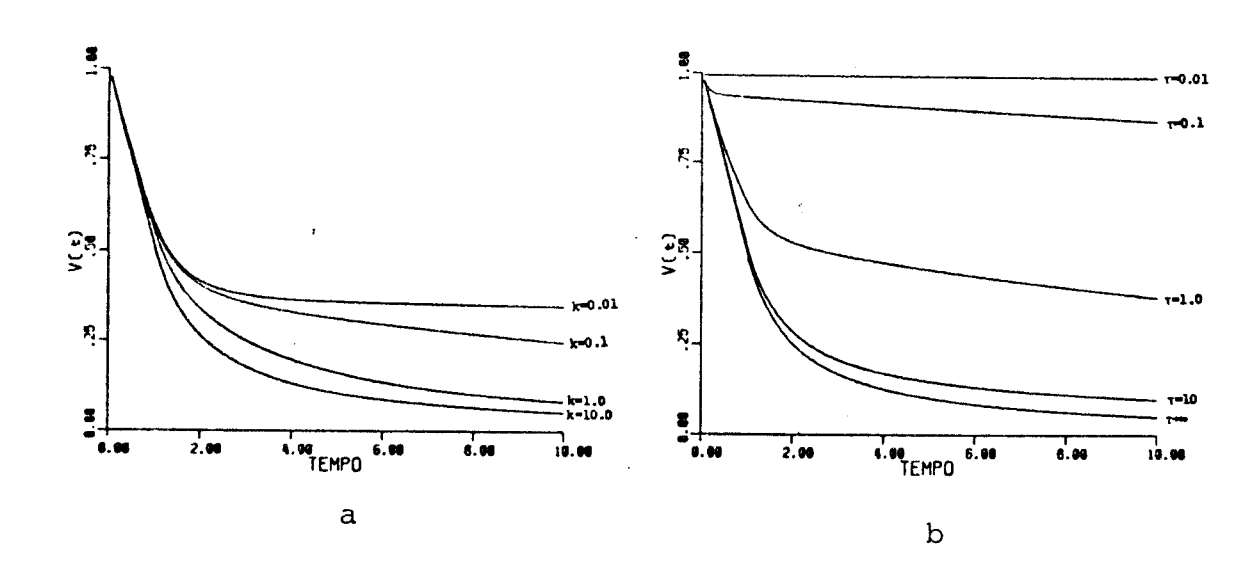


FIG.3. Decaimento do potencial de superfície de uma amostra carregada por descarga corona, considerando detrapping.  $(a)\,\tau{=}\,2.0\;,\;(b)\,k{=}\,0.1$ 



As Fig.(3.a) e (3.b) mostram o decaimento do potencial de superfície quando  $k \neq 0$ , ou seja, quando há detrapping. Neste caso  $V \rightarrow 0$ , quando  $t \rightarrow \infty$ , e o decaimento é mais rápido do que se as cargas ficassem congeladas nos traps, aspectos que estão de acordo com o que se poderia esperar de uma análise apenas qualitativa do problema.

Da Fig.(6) da ref.(19) pode-se ver que é importante incluir detrapping na teoria a fim de ajustar as curvas experimen - tais para tempos maiores do que, aproximadamente, metade do tempo de trânsito. Isto foi feito, usando a teoria aqui apresentada, para uma das curvas desta figura. O resultado é mostrado na Fig. (4.b). Para o ajuste foi usado  $\tau'=135$  s, k'=0.0008 s<sup>-1</sup> e t<sub>r</sub>=  $\ell^2/\mu$  V<sub>O</sub> = 355 s. A Fig.(4.a) mostra os mesmos pontos experimen - tais que a (4.b) e a teoria sem detrapping ( $\ell^2$ ) para os mes - mos t<sub>r</sub> e  $\ell^2$ .

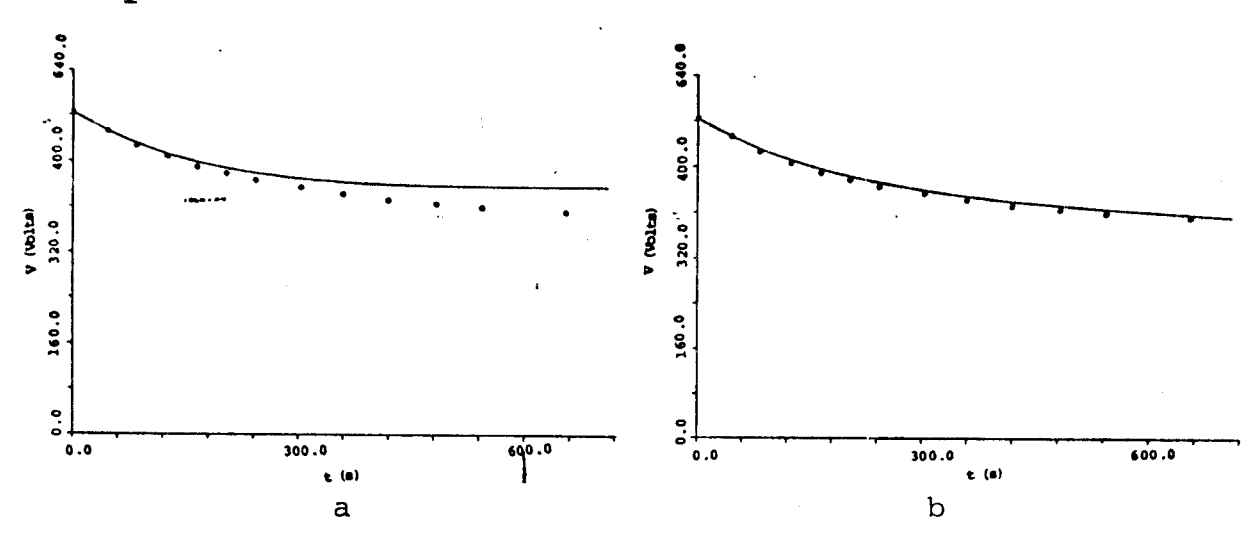


FIG.4. Pontos: decaimento do potencial de superfície de uma amostra de naftaleno medido por J.A.Giacometti (19) Linhas: ajuste teórico destes pontos experimentais:  $\ell^2/\mu \, V_o = 355 \, \text{s}, \, \tau' = 135 \, \text{s} \, . \quad \text{(a)} \, k' = 0 \, , \, \text{(b)} \, k' = 0.0008 \, \text{s}^{-1} \, .$ 

## 4.3- Solução analítica

Esta seção será dividida em duas partes: numa são apre - sentadas as equações e na outra as curvas correspondentes.

#### 4.3.1- Cálculos

Existe uma outra maneira de resolver a eq.(IV.5) a qual dá uma expressão analítica para a densidade de cargas para t  $\leq$  1. Basta lembrar que, se a frente de cargas ainda não atravessou o eletrodo em x = 1, toda a carga que foi colocada em x = 0 no instante inicial deve estar na região 0  $\leq$  x  $\leq$  x  $\leq$  x  $\leq$  t, onde x  $\leq$  a posição dessa frente. Nas unidades adimensionais essa condição se es creve

$$\int_{0}^{t} (\rho(x,t) + \rho_{t}(x,t)) dx = 1$$
 (IV.25)

e, com o uso de (IV.3), se obtém

$$\int_{0}^{\infty} \rho_{t}(x,t) dx = 1 - tc$$

Substituição deste resultado na eq.(IV.5) dá

$$t\dot{c} + \frac{tc}{\tau} + ktc + c - k = 0$$
 (IV.26)

Seja

$$c(t) = \frac{u(t)}{t} , \qquad (IV.27)$$

com essa nova variável, u, a eq. (IV.26) se simplifica para

$$\dot{\mathbf{u}} + (\frac{1}{\tau} + \mathbf{k})\mathbf{u} = \mathbf{k}$$

A condição inicial para u(t) é obtida a partir daquela para c(t) dada pela eq.(IV.14) e da eq.(IV.27)

$$u(0) = 1$$

Então

$$u(t) = \frac{k\tau + e}{1 + k\tau}$$

e, portanto, da eq.(IV.27)

$$c(t) = \frac{1}{t} \left\{ \frac{k\tau + e}{1 + k\tau} \right\}$$
 (IV.28)

O potencial de superfície é obtido da eq.(IV.11), usan - do-se a equação de Poisson, com as eq.(IV.3), (IV.6) e (IV.28),ob-tendo-se

$$V(t) = 1 - \frac{t}{2} + \frac{1}{2(1+k\tau)} \left\{ \frac{1-e^{-kt}}{k} + \tau e^{-kt} (e^{-t/\tau} - 1) \right\}, \ t \leq 1$$
(IV.29a)

Para t > 1 a condição (IV.25) não é mais verdadeira. Pode-se, no entanto, argumentar que a razão de variação da densidade de de carga livre com o tempo não deve depender do fato de afrente de cargas já haver chegado em x=1 ou não, sendo, então, c(t) da do pela equação (IV.28) também para t > 1. (é o que ocorre, por e - xemplo, no cálculo de Rudenko). A partir da eq.(IV.23) determina - se, então, V(t), sendo

$$V(t) = V(1) t^{\frac{-k\tau}{1+k\tau}} exp\{\frac{E_1 \{ (1/\tau + k) t \} - E_1 (1/\tau + k)}{1+k\tau} \}, t>1 \text{ (IV. 29b)}$$

onde V(1) é o potencial no instante t=1, podendo ser obtido da eq.(IV.29.a), e  $E_1$  representa a integral exponencial (20)

$$E_1(x) = \int_{x}^{\infty} \frac{e^{-u}}{u} du$$

#### 4.3.2- Resultados

A eq.(IV.28) é a solução analítica para a densidade de cargas e foi obtida com cálculos mais simples do que aqueles fei tos na seção 4.2.1 que, aparentemente, só tem solução numérica. É possível mostrar que para t < 1, as duas soluções são equivalentes:basta substituir (IV.28) em (IV.7). Isto pode ser visto, tam bém, nas Fig.(5.a) e (5.b): para t < 1 as duas soluções para V(t) coincidem. Estas figuras mostram curvas do potencial de superficie feitas a partir dos resultados desta seção (linhas) e da anterior (pontos). Vê-se que a hipótese feita para t > 1 só é boa para valores extremos (pequenos ou grandes) de k e  $\tau$ . Esta maneira de calcular tem, no entanto, a vantagem de dar uma expressão a nalítica para a densidade de cargas e também para o potencial de superfície, o que permite uma análise mais direta dos resultados.

Por exemplo, no caso de  $\tau \to \infty$ , que corresponde ao caso de isolante sem traps a eq. (IV.29a) dã

$$V(t) = 1 - \frac{t}{2}$$
 ,  $t \le 1$ 

e a eq.(IV.29b) dá

$$V(t) = \frac{V(1)}{t} = \frac{1}{2t}$$
 ,  $t > 1$ 

ou seja, no caso de carga livre, o potencial decai linearmente com o tempo, para t < l e como l/t para t > l, resultados bastante com nhecidos (19,21).

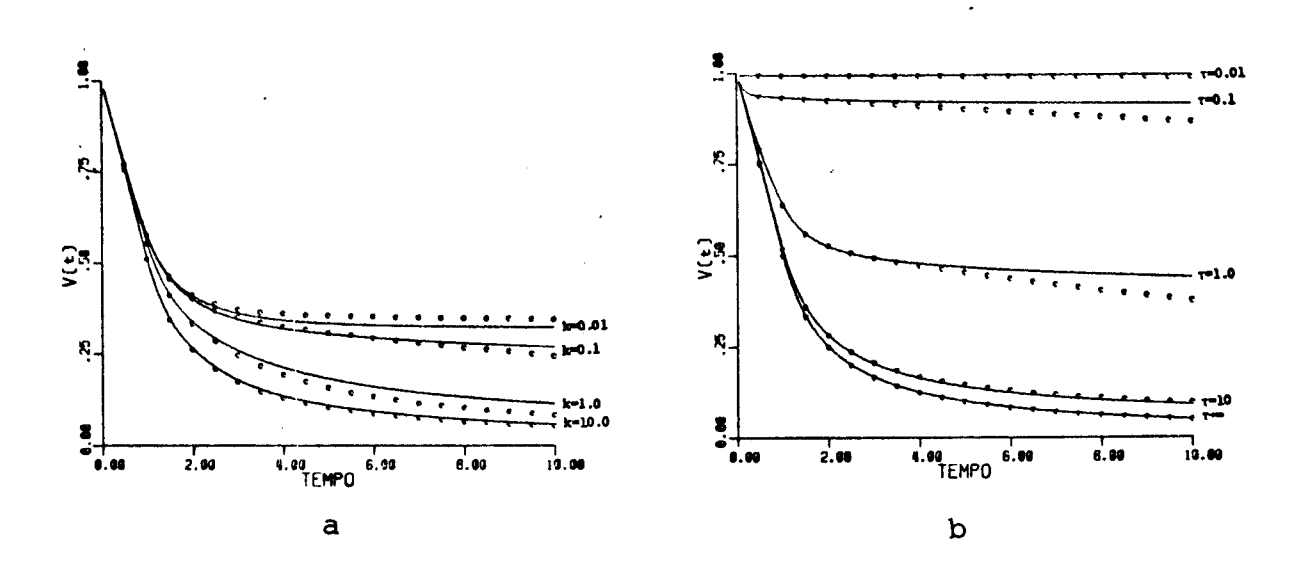
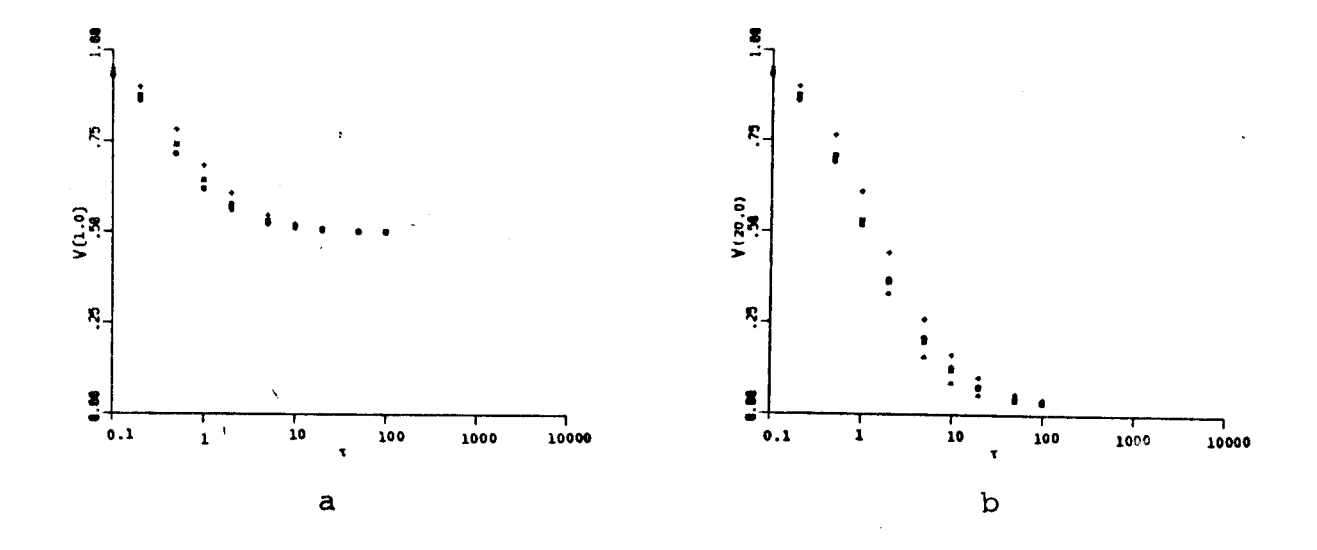


FIG.5. Curvas de decaimento do potencial feitas a partir dos resultados desta seção 4.3 (linhas) e da seção anterior(pontos). (a)  $\tau$  = 2.0 , (b) k = 0.1



FGI.6. Potencial de superfície em função do tempo de trapping nos instantes (a) t = 1 e (b) t = 20 tirado dos cálculos de Ru - denko (o), Reiser (+), seção 4.2 (\*) e seção 4.3 ( $\Delta$ )

A Figura (6.a) mostra o potencial de superfície quando a frente de cargas chega em x=1(V(1)), e a Fig.(6.b) o potencial residual  $V(20) \cong V_R$  em função do tempo de trapping ( $\tau$ ), tirado de quatro cálculos diferentes: o de Rudenko(1,18), que é exato, o de Reiser (17), aquele feito na seção 4.2 e o feito na seção 4.3 deste trabalho. Vê-se que o potencial calculado na seção 4.2 sempre está muito próximo do exato e, mesmo a quele calculado agora, mostra-se melhor do que o de Reiser.

No caso de k  $\neq$  0 é simples verificar, da equação do potencial para t > 1 que  $V_R = 0$ , resultado que deve ser esperado já que todas as cargas podem sair dos traps e, assim, deixar a amostra . É possível mostrar, ainda, que o termo dominante quan do t  $\rightarrow \infty$  é t $^{-k\tau/(1+k\tau)}$ . Para isto, basta usar a expansão as simptótica para a integral exponencial (20)

$$E_{1}((1/\tau + k)t)t \rightarrow \infty \frac{e^{-(1/\tau + k)t}}{(1/\tau + k)t}$$

que vai a zero muito mais depressa do que o termo  $t^{-k\tau/(1+k\tau)}$ . Como ele é o argumento de uma exponencial, esta tende rapida - mente para 1. Obtém-se, então

$$V(t) \overset{t\to\infty}{\simeq} V(1) \exp\{\frac{E_1(1/\tau + k)}{1+k\tau}\} t^{-k\tau/(1+k\tau)}$$

## 4.4- Amostra com dois níveis de traps

Como a seção anterior, esta também será dividida em d $\underline{u}$  as partes, uma para os cálculos, outra para os resultados.

### 4.4.1- Cálculos

Usando os mesmos argumentos da seção anterior é possí-

vel encontrar uma solução analítica para o problema apresentado na seção 4.1 considerando que o material tem dois níveis de traps em vez de um, como foi feito até aqui.

As equações básicas devem, agora, incluir a densidade de cargas nos dois níveis de traps ( $\rho_{t1}$  e  $\rho_{t2}$ ), cada um com seu tempo de trapping ( $\tau_1$  e  $\tau_2$ ) e sua probabilidade de detrapping ( $k_1$  e  $k_2$ ). As equações correspondentes às eq.(III.2)-(III.4) se escrevem

$$\frac{\partial E}{\partial x} = \rho + \rho_{t1} + \rho_{t2} \qquad (IV.30)$$

$$\frac{\partial \mathbf{i}_{\mathbf{C}}}{\partial \mathbf{x}} + \frac{\partial \rho}{\partial \mathbf{t}} + \frac{\partial \rho}{\partial \mathbf{t}} + \frac{\partial \rho}{\partial \mathbf{t}} + \frac{\partial \rho}{\partial \mathbf{t}} = 0$$
 (IV.31)

$$\frac{\partial \rho_{t1}}{\partial t} = \frac{\rho}{\tau_{1}} - k_{1}\rho_{t1}$$

$$\frac{\partial \rho_{t2}}{\partial t} = \frac{\rho}{\tau_{2}} - k_{2}\rho_{t2}$$
(IV.32)

Com um procedimento análogo àquele usado para se obter a eq.(IV.5), isto é, usando as eq.(III.1), (IV.30) e (IV.32) na eq.(IV.31), aplicando a condição (II.5) e considerando as eq. (IV.2) e (IV.3) resulta, para t  $\leq$  1,

$$tc^{2} + c \int_{0}^{t} (\rho_{t1} + \rho_{t2}) dx + t\dot{c} + tc(\frac{1}{\tau_{1}} + \frac{1}{\tau_{2}}) - \frac{t}{\tau_{1}} + \frac{t}{\tau_{2}} + \frac{1}{\tau_{2}} = 0$$

$$- k_{1} \int_{0}^{t} \rho_{t1} dx - k_{2} \int_{0}^{t} \rho_{t2} dx = 0$$
(IV.33)

Argumentando, como na seção anterior, que toda a carga colocada em x=0 no instante t=0 deve estar dentro da região  $0 \le x \le t$ , obtém-se

$$\int_{0}^{t} (\rho + \rho_{t1} + \rho_{t2}) dx = 1$$
 (IV.34)

Seja

$$w_1(t) = \int_0^t \rho_{t1}(x,t) dx$$
  
 $w_2(t) = \int_0^t \rho_{t2}(x,t) dx$  (IV.35)

u(t) = tc(t)

Com estas novas variáveis e a eq.(IV.3) a condição(IV.34) pode ser escrita na forma

$$w_1 + w_2 = 1 - tc = 1 - u,$$
 (IV.36)

e a eq. (IV.33) fica

$$\dot{u} + u \left(\frac{1}{\tau_1} + \frac{1}{\tau_2}\right) - k_1 w_1 - k_2 w_2 = 0$$
 (IV.37)

As eq.(IV.32) têm soluções análogas à eq.(IV.6) para  $\rho_{t1} = \rho_{t2}$ . Então

$$w_{1} = \int_{0}^{t} \rho_{t1} dx = \frac{e^{-k_{1}t}}{\tau_{1}} \int_{0}^{t} dx \int_{x}^{t} e^{k_{1}t'} c(t') dt' =$$

$$= \frac{e^{-k_{1}t}}{\tau_{1}} \int_{0}^{t} dt' \int_{0}^{t'} c(t') e^{k_{1}t'} dx = \frac{e^{-k_{1}t}}{\tau_{1}} \int_{0}^{t} t' e^{k_{1}t'} c(t') dt'$$

e, analogamente,

$$w_2 = \frac{e^{-k_2t}}{\tau_2} \int_0^t t' e^{k_2t'} c(t') dt'$$

Portanto

$$\dot{w}_{1} = -k_{1}w_{1} + \frac{u}{\tau_{1}}$$

$$\dot{w}_{2} = -k_{2}w_{2} + \frac{u}{\tau_{2}}$$
(IV.38)

Derivando a eq.(IV.37) com relação ao tempo e usando (IV.38), (IV.36) e a própria eq.(IV.37), resulta

$$\ddot{u} + (k_1 + k_2 + \frac{1}{\tau_1} + \frac{1}{\tau_2})\dot{u} + (\frac{k_1}{\tau_2} + \frac{k_2}{\tau_1} + k_1k_2)u = k_1k_2$$

Das eq.(IV.35), (IV.14) e (IV.37), obtém-se as condições iniciais

$$u(0) = 1$$

$$\dot{u}(0) = -(\frac{1}{\tau_1} + \frac{1}{\tau_2})$$

A equação acima é facilmente resolvida e, com a eq.(IV.35), resulta

c(t) = 
$$\frac{1}{t} \left\{ \frac{1/\tau + \lambda_2(1-A)}{\lambda_2 - \lambda_1} e^{\lambda_1 t} - \frac{1/\tau + \lambda_1(1-A)}{\lambda_2 - \lambda_1} e^{\lambda_2 t} + A \right\} (IV.39)$$

onde

$$\frac{1}{\tau} = \frac{1}{\tau_1} + \frac{1}{\tau_2}$$

$$A = \left[ \frac{1}{k_1 \tau_1} + \frac{1}{k_2 \tau_2} + 1 \right]^{-1}$$

$$\lambda_{1,2} = -\frac{(^{k_1} + k_2 + 1/\tau) + ((k_1 - k_2)^2 + 1/\tau^2 + 2(k_1 - k_2)(1/\tau_1 - 1/\tau_2)}{2}^{1/2}$$

A voltagem é obtida a partir da eq.(IV.11), obtendo-se

$$V(t) = \frac{ct^{2}}{2} - ct + 1 - \frac{e^{-k}1^{t}}{2\tau_{1}} \int_{0}^{t} t'^{2} e^{k}1^{t'} c(t') dt' - \frac{e^{-k}2^{t}}{2\tau_{2}} \int_{0}^{t} t'^{2} e^{k}2^{t'} c(t') dt' , \qquad t \leq 1$$

sendo

$$\int_{0}^{t} t^{2} e^{k} 1, 2^{t'} c(t') dt' = \frac{\alpha_{1}}{k_{1,2} + \lambda_{1}} \{ (t - \frac{1}{k_{1,2} + \lambda_{1}}) e^{(k_{1,2} + \lambda_{1})t} + \frac{1}{k_{1,2} + \lambda_{1}} \} + \frac{\alpha_{2}}{k_{1,2} + \lambda_{2}} \{ (t - \frac{1}{k_{1,2} + \lambda_{2}}) e^{(k_{1,2} + \lambda_{2})t} + \frac{1}{k_{1,2} + \lambda_{2}} \} + \frac{A}{k_{1,2}} \{ (t - \frac{1}{k_{1,2}}) e^{(k_{1,2} + \lambda_{2})t} + \frac{1}{k_{1,2}} \}$$

onde

$$\alpha_1 = \frac{1/\tau + \lambda_2(1-A)}{\lambda_2 - \lambda_1}$$

$$\alpha_2 = -\left\{\frac{1/\tau + \lambda_1(1-A)}{\lambda_2 - \lambda_1}\right\}$$

Se se considera, como na seção 4.3, que c(t) é dado por essa expressão, mesmo para t>1, a eq.(IV.23) dá a voltagem para t > 1:

$$V(t) = V(1) t^{-A} exp{\alpha_1[E_1(-\lambda_1 t) - E_1(-\lambda_1)] + \alpha_2[E_1(-\lambda_2 t) - E_1(-\lambda_2)]}$$

$$t > 1$$

### 4.4.2- Resultados

De modo análogo ao que foi feito na seção 4.3.2 é possí-

vel mostrar, a partir desta equação para o potencial para t > 1 que, se  $k_1 \neq 0$  e  $k_2 \neq 0$ , o potencial  $\rightarrow 0$  quando  $t \rightarrow \infty$ , como

$$V(t) \stackrel{t \to \infty}{\sim} V(1) \exp\{-CE_1(-\lambda_1) - DE_1(-\lambda_2)\} t^{-A}$$

Se um dos traps for profundo, ou, seja, se  $k_1 = 0$  ou  $k_2 = 0$ , ou ambos, A = 0 e aparece um potencial residual

$$V_{R} = V(1) \exp\{-CE_{1}(-\lambda_{1}) - DE_{1}(-\lambda_{2})\}$$

Apenas a título de ilustração, já que são muitos os parametros a serem variados, apresenta-se, nas fig.(7.a) e (7.b), algumas curvas de decaimento do potencial de superfície para amostra com dois níveis de traps.

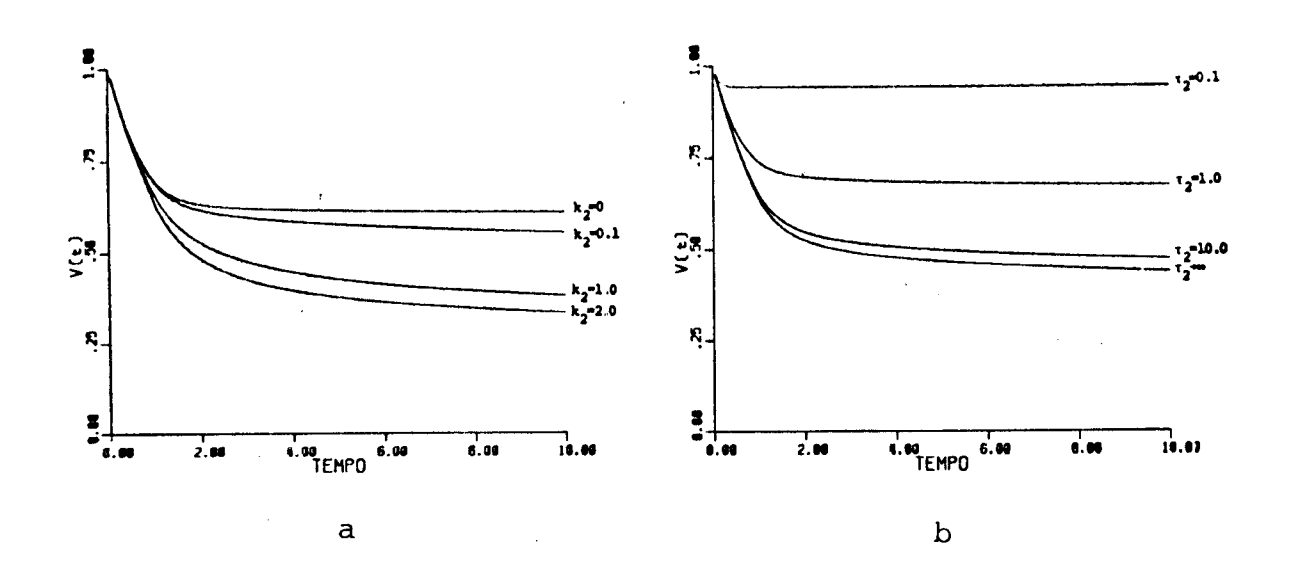


FIG.7. Decaimento do potencial de superfície de amostra com dois níveis de traps.

(a) 
$$k_1 = 0.1$$
 ,  $\tau_1 = 2.0$  ,  $\tau_2 = 1.0$ 

(b) 
$$k_1 = 0.1$$
 ,  $k_2 = 0.0$  ,  $\tau_1 = 1.0$ 

## CAPÍTULO V

# POTENCIAL DE SUPERFÍCIE DE UMA AMOSTRA COM DENSIDADE INICIAL DE CARGAS CONHECIDA

## 5.1- Introdução

Neste capítulo também se calcula o decaimento do poten - cial de superfície de uma amostra de isolante com apenas um nível de traps, com as mesmas equações básicas que no capítulo anterior e com a condição de contorno de circuito aberto. A diferença en - tre os dois problemas está na condição inicial: lá a carga se con centrava em x=0 no instante inicial, enquanto aqui está distribuí da por toda a amostra, sendo conhecida a densidade inicial de car gas livres e presas. Supõe-se que o plano de campo nulo está em x=0.

Usando as equações de Poisson, balanço entre a banda de condução e os traps e a definição da densidade de corrente de condução, eq.(III.2), (III.4) e (III.1), respectivamente, a equação da continuidade, eq.(III.3), se escreve

$$E\frac{\partial \rho}{\partial x} + \frac{\partial \rho}{\partial t} + \rho^2 + \frac{\rho}{\tau} + (\rho - k)\rho_t = 0$$
 (V.1)

Como E e  $\rho_{\mathsf{t}}$  são funções de  $\rho$  determinadas a partir , das equações de Poisson e de balanço entre a banda de condução e os traps, a equação acima é uma equação integro diferencial, não linear nem ordinária, para a carga livre  $\rho$ . Uma solução aproximada para esta equação com as condições iniciais

$$\rho(\mathbf{x},0) = \rho_{0}(\mathbf{x})$$

$$\rho_{t}(\mathbf{x},0) = \rho_{t_{0}}(\mathbf{x})$$

$$(v.2)$$

será obtida aqui usando o método de Galerkin - redução a equa - ções diferenciais ordinárias, apresentado na seção 2.2.

Considerando dois termos, N=2, na série (II.4) com

$$\Psi_{1}(\mathbf{x}) = 1$$

$$\Psi_{2}(\mathbf{x}) = \mathbf{x}$$

$$(V.3)$$

a densidade de cargas livres se escreve

$$\bar{\rho}(x,t) = c_1(t) + c_2(t)x$$
 (V.4)

e as condições correspondentes à eq.(II.5) dão

$$\int_{0}^{1} \left( E \frac{\partial \overline{\rho}}{\partial \mathbf{x}} + \frac{\partial \overline{\rho}}{\partial \mathbf{t}} + \overline{\rho}^{2} + \frac{\overline{\rho}}{\tau} + (\overline{\rho} - \mathbf{k}) \rho_{t} \right) d\mathbf{x} = 0$$

$$\int_{0}^{1} \left( E \frac{\partial \overline{\rho}}{\partial \mathbf{x}} + \frac{\partial \overline{\rho}}{\partial \mathbf{t}} + \overline{\rho}^{2} + \frac{\overline{\rho}}{\tau} + (\overline{\rho} - \mathbf{k}) \rho_{t} \right) \mathbf{x} d\mathbf{x} = 0$$

$$(V.5)$$

Com  $\bar{\rho}(x,t)$  dado por (V.4) e a condição inicial, eq.(V.2), a eq.(III.4) dã

$$\rho_{t}(x,t) = e^{-kt} \{ \rho_{t_{0}}(x) + \frac{1}{\tau} \int_{0}^{t_{k}t'} c_{1}(t') dt' + \frac{x}{\tau} \int_{0}^{t} e^{kt'} c_{2}(t') dt' \}$$
(V.6)

Tendo  $\rho$  e  $\rho_{t}$ , a equação de Poisson pode ser integrada para dar o campo elétrico como função dos coeficientes  $c_{1}$  e  $c_{2}$ . Com a condição de contorno E(0,t)=0, obtém-se

$$E(x,t) = c_1 x + c_2 \frac{x^2}{2} + e^{-kt} \{ \int_0^x \rho_{t_0}(x') dx' + \frac{x}{\tau} \int_0^t e^{kt'} c_1(t') dt' + \frac{x^2}{2\tau} \int_0^t e^{kt'} c_2(t') dt' \}$$

$$(v.7)$$

Seja  $Q_{to}$ ,  $M_{t1}$  e  $M_{t2}$  a carga total nos traps no instante  $\underline{i}$  nicial e seu primeiro e segundo momentos, respectivamente, isto é,

$$Q_{to} = \int_{0}^{1} \rho_{to}(x) dx$$

$$M_{t1} = \int_{0}^{1} x \rho_{to}(x) dx$$

$$M_{t2} = \int_{0}^{1} x^{2} \rho_{to}(x) dx$$
(V.8)

Seja ainda

$$P = e^{-kt} \int_{0}^{t} e^{kt'} c_{1}(t') dt'$$

$$H = e^{-kt} \int_{0}^{t} e^{kt'} c_{2}(t') dt'$$

$$S = \dot{P}$$

$$L = \dot{H}$$
(V.9)

de forma que

$$c_1 = S + kP$$

$$(V.10)$$
 $c_2 = L + kH$ 

Usando as eq.(V.6), (V.7), (V.8), (V.9) e (V.10) e trab<u>a</u>

lhando as eq.(V.5) obtém-se

$$\dot{P} = S$$

$$\dot{H} = L$$

$$\dot{S} = (L+kH) \left\{ \frac{(L+kH)}{4} + (3M_{t2} - Q_{to}) e^{-kt} + \frac{H}{4\tau} \right\} - kS +$$

$$+ (S+kP-k) \left\{ (6M_{t1} - 4Q_{to}) e^{-kt} - \frac{P}{\tau} \right\} - (S + kP) (S+kP + \frac{1}{\tau})$$

$$(V.11)$$

$$\dot{L} = - (L+kH) \left\{ 3(S+kP) + \frac{3}{2}(L+kH) + 6M_{t2} e^{-kt} + \frac{2P}{\tau} + \frac{3H}{2\tau} + \frac{1}{\tau} \right\} -$$

Dadas as condições iniciais o sistema de equações acima pode ser integrado numericamente e  $c_1(t)$  e  $c_2(t)$  obtidos a par tir da eq.(V.10).

- kL - (S+kP - k)  $\{\frac{H}{\tau} + (12M_{+1} - 6Q_{+0})e^{-kt}\}$ 

O potencial de superfície é

$$V(t) = \int_{0}^{1} E(x,t) dx$$
 (III.6)

Usando a eq.(V.7), obtém-se

$$V(t) = \frac{c_1}{2} + \frac{c_2}{6} + e^{-kt} \left( (Q_{to} - M_{t_1}) + \frac{P}{2\tau} + \frac{H}{6\tau} \right)$$
 (V.12)

Note-se que, neste caso, não está fixada a inclinação inicial das curvas de decaimento do potencial de superfície, como
no capítulo anterior. Esta inclinação dependerá das condições ini
ciais, e pode ser tirada da eq. (V.12) obtendo-se

Nas seções que se seguem, são apresentados os resultados obtidos para duas diferentes condições iniciais.

$$5.2 - \rho_0 = 0 e \rho_{t_0} = 1 + 0.5 x$$

Estas condições iniciais foram escolhidas a fim de testar o método; são as mesmas usadas na ref(3) onde se considera que não há retrapping, ou seja,  $\tau \rightarrow \infty$ . Com elas e usando (V.8) obtémse

$$Q_{t_0} = 5/4$$

$$M_{t_1} = 2/3$$

$$M_{t_2} = 11/24$$

Como estamos considerando  $\rho = c_1 + c_2 x$ ,  $\rho_0 = 0$  implica em

$$c_1(0) = 0$$

$$c_2(0) = 0$$

e as eq.(V.9) e (V.10) dão

$$P(0) = H(0) = S(0) = L(0) = 0$$

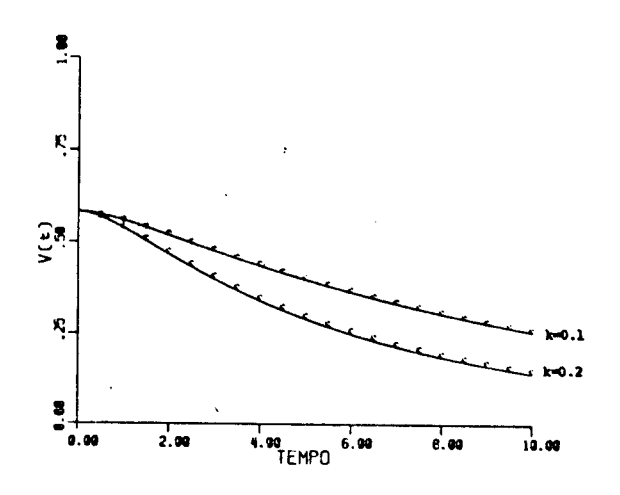
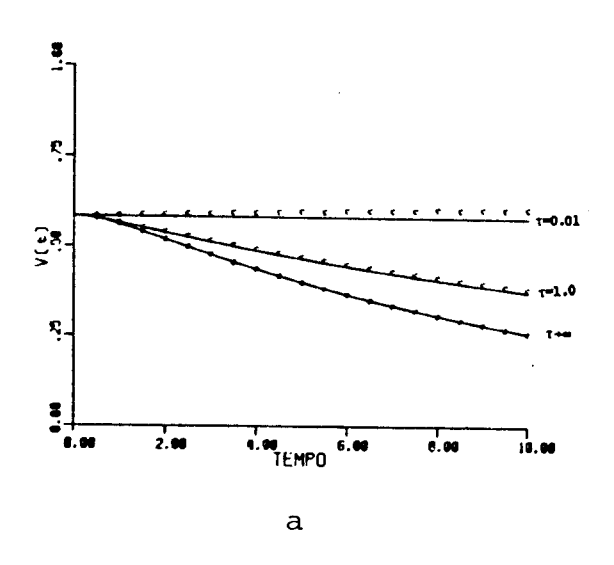


FIG.8. Comparação dos resultados obtidos nesta seção com aqueles quase-exatos da ref.(3) .  $\rho_0 = 0, \rho_{t_0} = 1 + 0,5x.$   $\tau \to \infty.$ 

A Figura (8) mostra o potencial calculado a partir das equações aqui apresentadas juntamente com aqueles quase-exatos da ref.(3).



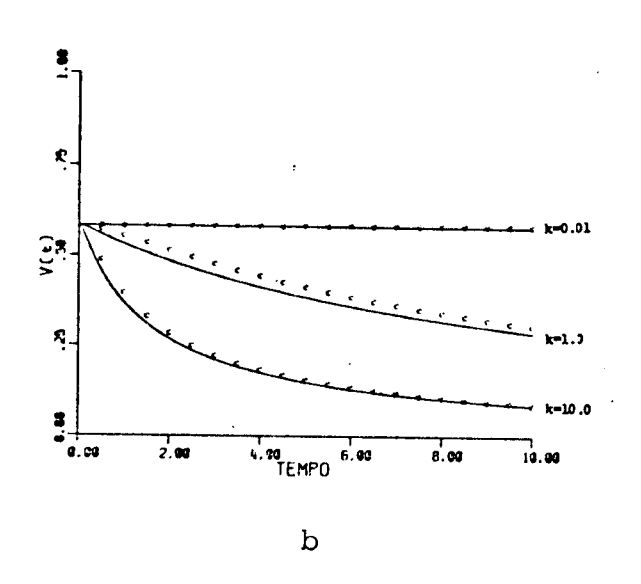


FIG.9. Decaimento do potencial de superfície de uma amostra com a seguinte distribuição inicial de cargas:  $\rho_0=0$ ,  $\rho_{to}=1+0$ ,5x Linhas:  $\rho(x,t)$  aproximado para  $c_1(t)+c_2(t)x$ 

Pontos:  $\rho(x,t)$  aproximado para c(t)

(a) k = 0.1 , (b)  $\tau = 0.1$ 

As Figuras (9.a) e (9.b) apresentam o potencial de superfície quando se leva em conta o retrapping. Aí está, também, o potencial calculado quando se considera  $\bar{\rho}=c(t)$ , ou seja, apenas um termo na série do  $\bar{\rho}$  (cujos cálculos estão feitos no apêndice A), mostrando que o potencial de superfície é pouco sensível à distribuição exata de cargas na amostra.

A inclinação inicial destas curvas de decaimento do potencial de superfície é nula, já que no instante inicial toda a carga está nos traps (eq.V.13).

5.3- 
$$\rho_0 = C x^{-1/2}$$
 e  $\rho_{to} = C_t x^{-1/2}$ 

Um isolante ideal, sem traps, sujeito à aplicação de uma voltagem constante através de contacto ôhmico tem, no estado estacionário e considerando E(0,t)=0, a densidade de cargas (nas unidades reduzidas, escolhendo  $V_{\rm O}$  como esta voltagem aplicada) dada por  $3/4~{\rm x}^{-1/2}(22)$ . No caso do isolante ideal com traps a densidade de carga total deve ser a mesma, ou seja

$$\rho_{o} + \rho_{t_{o}} = \frac{3}{4} x^{-1/2}$$
 (V.14)

Como, no regime estacionário,  $\partial \rho_t/\partial t = 0$  obtém-se da eq. (III.4)

$$\frac{\rho_{O}}{\tau} - k\rho_{t_{O}} = 0 \qquad (V.15)$$

A combinação destas duas equações dá

$$\rho_{O} = \frac{3}{4} \frac{k\tau}{1+k\tau} x^{-1/2}$$
(V.16)

$$\rho_{t_0} = \frac{3}{4} \frac{1}{1+k\tau} x^{-1/2}$$

Estas condições iniciais foram escolhidas para simular a situação experimental de uma amostra provida de um contato in jetante em x=0, carregada pela aplicação de uma voltagem constante durante um tempo suficiente para ser atingido o estado estacionário. Abre-se, então, o circuito e mede-se o potencial. Esta distribuição inicial de cargas é mais interessante, na prática, do que aquela considerada na seção anterior.

As condições iniciais  $c_1(0)$ ,  $i=1,\ldots,N$ , são obtidas a partir da eq.(II.6) com  $\rho(x,0)=\rho_0(x)$  dado pela eq.(V.16). Isto corresponde a impor que, inicialmente, a carga livre e seu primeiro momento têm o valor correto, o que garante que o potencial inicial tenha o valor correto, já que ele só depende da carga total e do primeiro momento destas. Obtém-se

$$c_1(0) = 3 \frac{k\tau}{1+k\tau}$$

$$c_2(0) = -3 \frac{k\tau}{1+k\tau}$$
(V.17)

Então

$$\bar{\rho}(x,0) = c_1(0) + c_2(0)x = \frac{3}{1+1/k\tau}(1-x)$$
.

A Fig. (10) mostra, apenas a título de ilustração, os perfis  $\rho(\mathbf{x},0) = \rho_{\mathbf{0}}(\mathbf{x})e^{-}_{\mathbf{0}}(\mathbf{x},0)$  para o produto  $k\tau = 1$ .

$$P(0) = 0$$

$$H(0) = 0$$

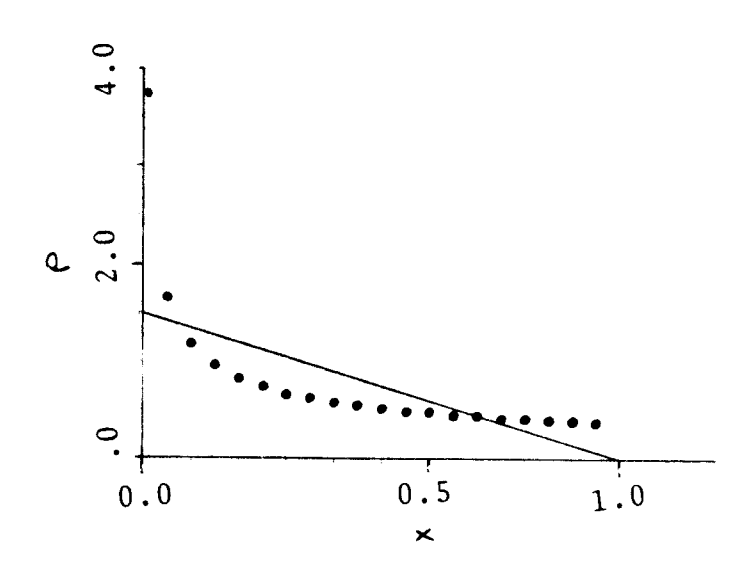


FIG.10. Perfil da densida de inicial de cargas li vres

Pontos:  $(3/4)(1+1/k\tau)x^{-1/2}$ Linha: aproximação para o

Método de Galerkin:

$$3(1-x)/(1+1/k\tau)$$
.

$$k\tau = 1.0$$

$$\mathbf{s}(0) = c_1(0)$$

$$L(0) = c_2(0)$$
.

 $^{Q}_{\text{to}}$  ,  $^{M}_{\text{t}_{1}}$  e  $^{M}_{\text{t}_{2}}$  são determinados pelas eq.(V.8) com  $\rho_{\text{to}}$  dado por(V.16),obtendo-se

$$Q_{t_0} = \frac{3/2}{1+k\tau}$$

$$M_{t_1} = \frac{1/2}{1+k\tau}$$

$$M_{t_2} = \frac{3/10}{1+k\tau}$$

As Figuras (11.a) e (11.b) mostram o resultado deste cá $\underline{1}$  culo para diferentes valores do tempo de trapping e detrapping. A inclinação inicial da curva de decaimento do potencial de superf $\underline{i}$  cie depende agora de k e  $\tau$  já que a distribuição inicial de car - gas livre depende destes parâmetros e pode ser obtida da eq. (V.13)

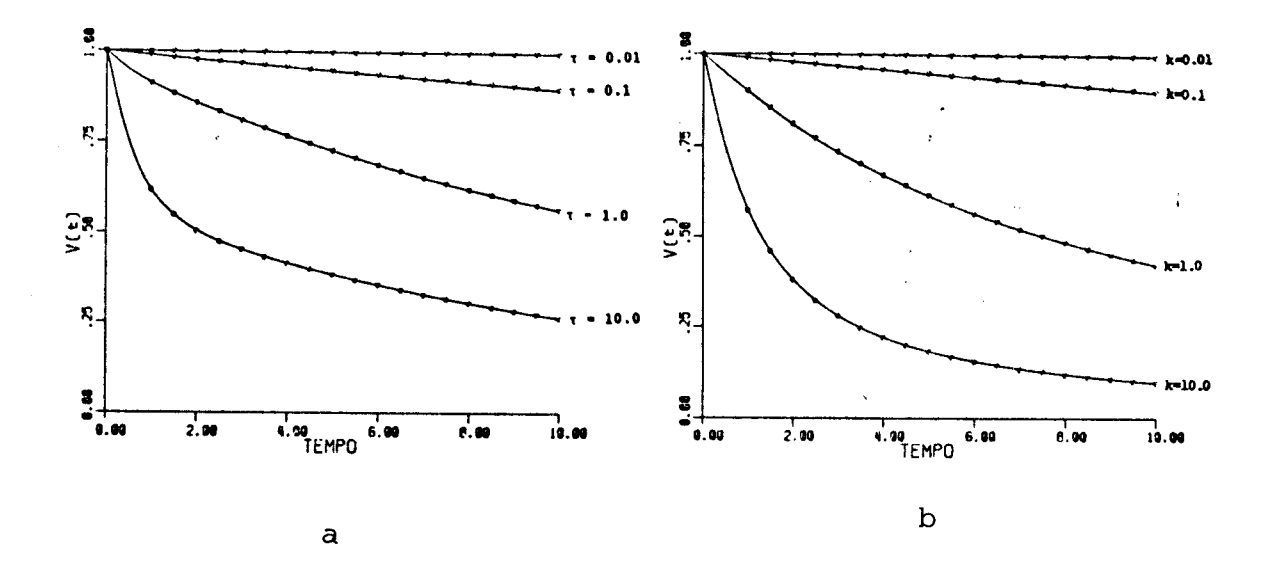


FIG.11. Decaimento do potencial de superfície para uma amostra com a seguinte distribuição inicial de cargas:

$$\rho_{O} = (3/4)k\tau/(1 + 1/k\tau)x^{-1/2}$$
 ,  $\rho_{to} = (3/4)/(1+k\tau)x^{-1/2}$ 

Linhas:  $\rho_{to}$  correto

Pontos:  $\rho_{to}$  aproximado para  $3(1-x)/(1+k_T)$ 

(a) 
$$k = 0.1$$
 (b)  $\tau = 0.1$ 

$$\frac{dV}{dt}\bigg|_{t=0} = -\frac{3}{2} \frac{k\tau}{(1+k\tau)^2} \{ \frac{3}{4} k\tau + \frac{4}{5} \}$$

Estas mesmas Figuras mostram uma comparação entre o postencial calculado considerando  $\rho_{to} = \frac{3/4}{1+k\tau} \ x^{-1/2} \ e \ \rho_{to} = c_{1t} + c_{2t} x$  onde  $c_{1t}$  e  $c_{2t}$  são calculados de maneira análoga âquela usada para a determinação de  $c_{1}(0)$  e  $c_{2}(0)$ , ou seja, usando a eq.(II.6), com  $\rho_{to}$  dado pela eq.(V.16). Novamente, esta condição implica que a carga total inicialmente nos traps e seu primeiro momento são preservados, e,portanto,queo potencial inicial é o mesmo. Obtém-se

$$c_{1t} = \frac{3}{1+k\tau}$$

$$c_{2t} = \frac{-3}{1+k\tau}$$

Observa-se que o potencial calculado com esta distribuição inicial da carga presa nos traps  $\rho_{to}=c_{1t}+c_{2t}x$  praticamente coincide com aquele em que  $\rho_{to}=\frac{3/4}{1+k\tau}$   $x^{-1/2}.$  Este fato mos tra, mais uma vez, que o potencial de superfície não é sensível à forma exata da distribuição de cargas, o que pode justificar a utilização do método de Galerkin na resolução das equações de trans porte de cargas em isolantes quando o objetivo é o cálculo do potencial.

#### CAPÍTULO VI

#### IDC E TSC EM CURTO CIRCUITO

## 6.1- Introdução

Nos dois últimos capítulos calculou-se o potencial de su perfície com a condição de contorno de circuito aberto, verifican do-se que este potencial é pouco sensível à distribuição exata de cargas no interior da amostra.

Neste capítulo será usada a condição de curto-circuito para calcular a corrente através de uma amostra, com uma distribuição inicial de cargas conhecida, à temperatura constante (IDC-Iso thermal Decay Current) e à temperatura variável (TSC - Thermally Stimulated Current). A corrente, ao contrário do potencial, é sen sível à distribuição de cargas, o que será verificado comparan - do a corrente IDC calculada usando o método de Galerkin com ape - nas dois termos na série da densidade de cargas (como foi feito no capítulo anterior), e aquela calculada a partir da integração numérica direta do sistema de equações a derivadas parciais pelo Método das Diferenças Finitas.

Novamente, usa-se as equações de Poisson, balanço entre a banda de condução e os traps e continuidade e aplica-se o Método de Galerkin considerando dois termos na série do ρ, exatamente co mo foi feito no capítulo anterior até a obtenção das eq.(V.5).Não será repetido este procedimento aqui, fazendo, quando necessário, referência às equações (V.1), (V.2), (V.3), (V.4) e (V.5). A condição de contorno de curto circuito se escreve

$$\int_{0}^{1} E(x,t) dx = 0$$
(VI.1)

Definindo

$$Y_{1}(t) = \int_{0}^{1} \rho_{t}(x,t) dx$$

$$Y_{2}(t) = \int_{0}^{1} x \rho_{t}(x,t) dx$$

$$Y_{3}(t) = \int_{0}^{1} x^{2} \rho_{t}(x,t) dx$$
(VI.2)

a carga total nos traps e seu primeiro e segundo momentos, respectivamente, usando as equações citadas acima, (V.1), (V.2), (V.3), (V.4) e (V.5), e a condição de contorno, eq.(VI.1), obtém-se o seguinte sistema de equações diferenciais ordinárias

$$\frac{dY_1}{dt} = \frac{c_1}{\tau} + \frac{c_2}{2\tau} - kY_1$$

$$\frac{dY_2}{dt} = \frac{c_1}{2\tau} + \frac{c_2}{3\tau} - kY_2$$

$$\frac{dY_3}{dt} = \frac{c_1}{3\tau} + \frac{c_2}{4\tau} - kY_3$$

$$\frac{dc_1}{dt} = c_2(\frac{c_1}{2} + \frac{5}{12}c_2 - Y_2 + 3Y_3) - c_1(c_1 + \frac{1}{\tau}) + (c_1 - k)(6Y_2 - 4Y_1)$$

$$\frac{dc_2}{dt} = -c_2(3c_1 + \frac{3}{2}c_2 + 6Y_3 + \frac{1}{\tau}) + (c_1 - k)(6Y_1 - 12Y_2)$$

sendo, como no capítulo anterior,  $c_1$  e  $c_2$  tais que

$$\bar{\rho}(x,t) = c_1(t) + c_2(t)x$$
 (VI.4)

No caso de TSC será considerado que a temperatura aumenta a uma razão constante

$$T = T_O + \beta t \qquad , \tag{VI.4}$$

sendo  $\beta$  a razão de aquecimento, e que a probabilidade de que um por tador escape de um trap é dada pela lei de Arrhenius

$$k = v e^{-\phi/k_BT}$$

onde  $\nu$  é a frequência de escape,  $\phi$  a energia de ativação, ou profundidade em energia, dos traps e  $k_B$  a constante de Boltzmann.

No caso de temperatura constante, basta considerar k constante, ou  $\beta$ =0; neste caso, um sistema de quatro equações diferen - ciais pode ser obtido em lugar deste de cinco, definindo P,H,S e L como no capítulo anterior.Optamos,no entanto,por este sistema de cinco equações,que pode ser usado tanto para IDC como para TSC, a fim de diminuir a quantidade de cálculos presentes neste trabalho.

A densidade de corrente de curto circuito pode ser obtida da eq.(III.5) e (III.1)

$$j(t) = \rho E + \frac{\partial E}{\partial t}$$

Integrando esta equação sobre toda a amostra

$$\int_{0}^{1} j(t) dx = \int_{0}^{1} \rho E dx + \frac{\partial}{\partial t} \int_{0}^{1} E dx$$

e usando a condição de contorno de curto circuito, eq.(IV.1),obtém -se

$$j(t) = \int_{\Omega} \rho(x,t) E(x,t) dx$$
 (IV.7)

ou, em termos das funções usadas aqui,



$$j(t) = c_2(\frac{c_1}{12} + \frac{c_2}{24} + \frac{Y_2 - Y_3}{2})$$
 (IV.8)

Nas seções que se seguem, serão apresentados os resultados obtidos para determinadas condições iniciais, todas assimétricas (caso contrário nenhuma corrente seria observada nesta situação de curto-circuito) em que as cargas podem se mover para a esquerda ou direita, dependendo da posição com relação ao plano de campo nulo.

# 6.2- IDC em curto circuito

As equações acima dão a corrente de curto-circuito à temperatura constante ou variável e foram obtidas com o Método de Galerkin, considerando que, em cada instante, a distribuição de cargas livres é linear. Para o caso do decaimento à temperatura constante (IDC) a integração destas equações foi feita para três diferentes condições iniciais:

(1) 
$$\rho(x,0) = 0$$
 
$$\rho_{t}(x,0) = 1 + 0.5 x$$

(2) 
$$\rho(x,0) = 0$$

$$\rho_{t}(x,0) = \frac{3}{4}(x+a)^{-1/2}$$

(3) 
$$\rho(x,0) = \frac{3}{4} \frac{k\tau}{1+k\tau} x^{-1/2}$$

$$\rho_t(x,0) = \frac{3}{4} \frac{1}{1+k\tau} x^{-1/2}$$

e a corrente, calculada por este Método de Galerkin, foi compara-

da com aquela obtida da integração numérica do sistema de equações a derivadas parciais, eq.(III.1) a (III.5), aproximando os diferenciais por diferenças finitas (forma explícita) (8,9). No caso das condições iniciais (2) e (3) os gráficos mostram o módulo da corrente, já que, nestes casos, ela é negativa.

## 6.2.1- Condições iniciais (1)

Para estas condições iniciais

$$\rho(x,0) = 0$$

$$\rho_{t}(x,0) = 1 + 0.5 x$$
(VI.9)

obtém-se

$$c_1(0) = 0$$

$$c_2(0) = 0$$

$$Y_1(0) = 5/4$$

$$Y_2(0) = 2/3$$

$$Y_3(0) = 11/24$$

A Fig(12) mostra a corrente de curto circuito em função do tempo, para estas condições iniciais, calculada pelo Método de Galerkin (pontos) e pelo Método de Diferenças Finitas (linhas). Vê se que, para este caso, a corrente calculada pelos dois métodos é a mesma, o que decorre do fato de ser muito boa a aproximação da

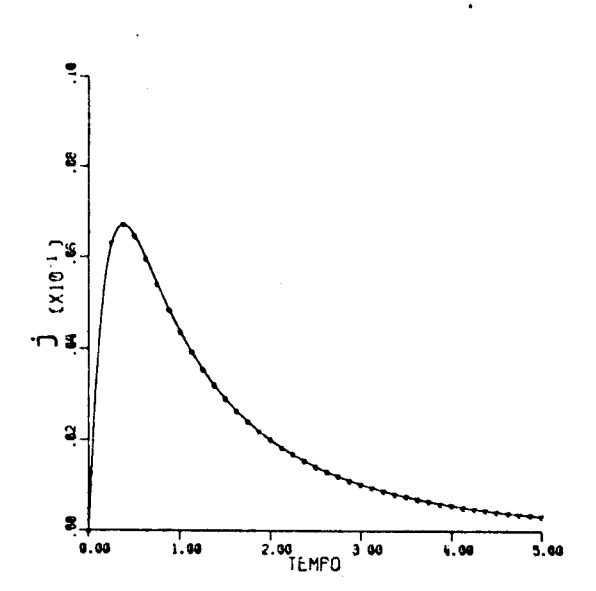


FIG.12. Comparação entre a corrente de curto circuito calculada com o Método de Galerkin (pon tos) e com o Método de Diferenças Finitas(li nhas) para as condições iniciais.

 $\rho_{o}$ =0, $\rho_{to}$ =1+0.5x.k=1, $\tau$ =1.

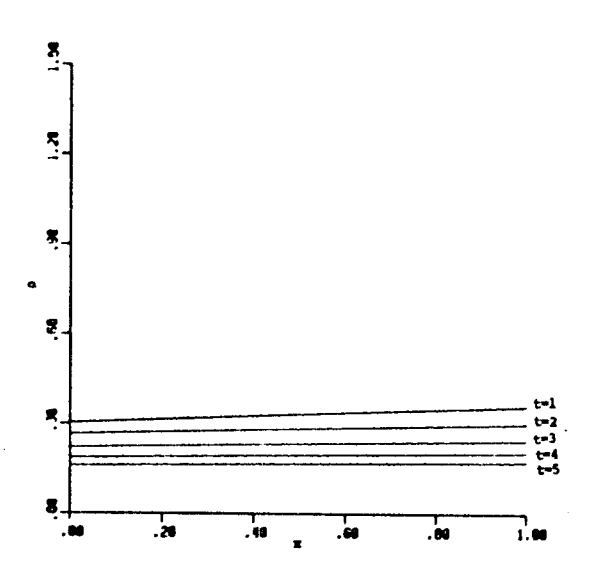


FIG.13. Distribuição de cargas livres para as condições iniciais  $\rho_0=0$ ,  $\rho_{to}=1+0.5x$ , calculada com o Método de Diferen ças Finitas.  $k=1,\tau=1$ .

densidade de cargas livres por uma função linear. Isto pode ser verificado na Fig.(13), que mostra a distribuição de cargas li-vres no interior do dielétrico para vários tempos, calculada com este Método de Diferenças Finitas, mostrando que uma reta pode a proximar muito bem estas curvas.

## 6.2.2- Condições iniciais (2)

Com as condições iniciais

$$\rho(x,0) = 0$$

$$\rho_{t}(x,0) = \frac{3}{4}(x + a)^{-1/2}$$
(VI.10)

obtém-se

$$c_{1}(0) = 0$$

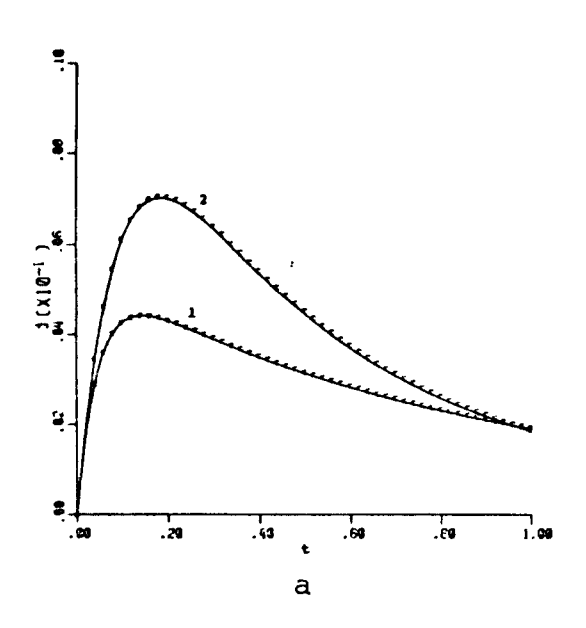
$$c_{2}(0) = 0$$

$$Y_{1}(0) = \frac{3}{2}(\sqrt{1+a} - \sqrt{a})$$

$$Y_{2}(0) = \frac{(1+a)^{3/2}}{2} + a^{3/2} - \frac{3}{2} a\sqrt{1+a}$$

$$Y_{3}(0) = \frac{3}{10} (1+a)^{5/2} - \frac{12}{15} a^{5/2} + \frac{3}{2} a^{2}\sqrt{1+a} - a (1+a)^{3/2}$$

As Fig.(14) e (16) mostram a corrente calculada com es - tas condições iniciais para a = 1.0 e a = 0.1, respectivamente e as Fig. (15) e (17) as distribuições de cargas livres correspon - dentes. No primeiro caso, a = 1, a aproximação de distribuição linear de cargas livres é bastante boa (Fig.15); consequentemente a



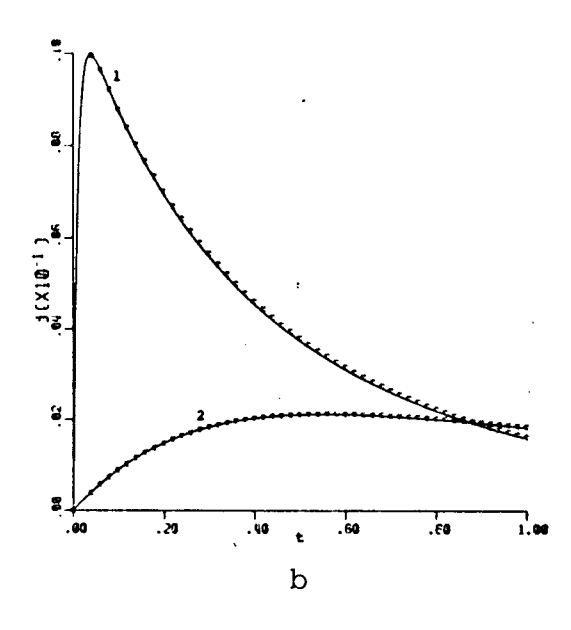


FIG.14. Corrente de curto-circuito calculada com o Método de Galerkin (pontos) e Diferenças Finitas (linhas) para as condições iniciais

$$\rho_{O} = 0$$
,  $\rho_{tO} = \frac{3}{4}(\mathbf{x} + \mathbf{a})^{-1/2}$  com  $\mathbf{a} = 1.0$ .

(a) 
$$k = 10:(1)\tau=0.1$$
 , (2) $\tau = 1000$ 

(b) 
$$\tau = 1$$
: (1)  $k = 100$ , (2)  $k = 1.0$ 

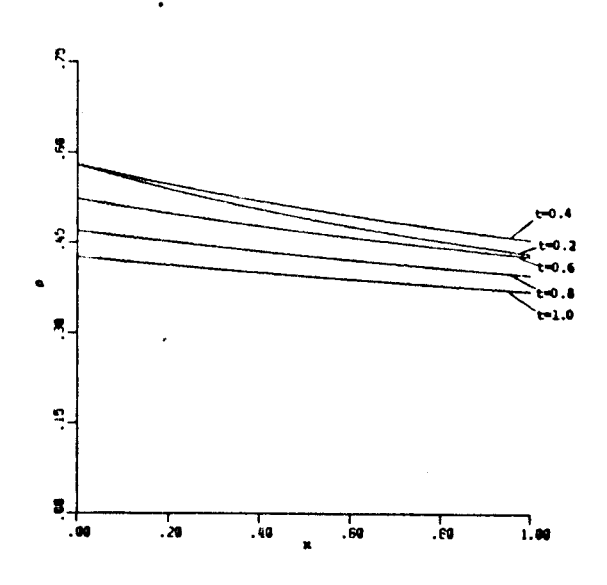


FIG.15. Distribuição de cargas livres pa ra as condições iniciais  $\rho_0=0$  ,  $\rho_{to}=\frac{3}{4}(x+a)^{-1/2},$  a=1.0. k=10 ,  $\tau=1000.$ 

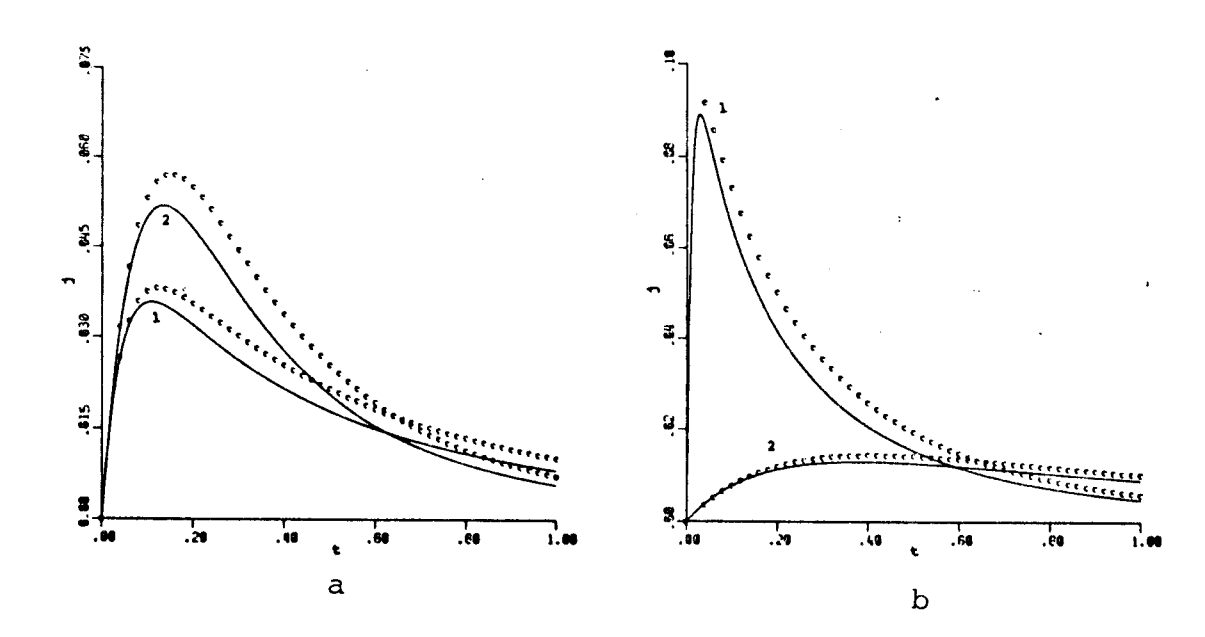


FIG.16. Corrente de curto-circuito calculada pelo Método de Gallerkin (pontos) e Diferenças Finitas (linhas), para as condições iniciais  $\rho_0=0$ ,  $\rho_{to}=\frac{3}{4}(x+a)^{-1/2}$ , a=0.1 (a) k=10: (1)  $\tau=0.1$ , (2)  $\tau=1000$  (b)  $\tau=1$ : (1) t=100, (2) t=100

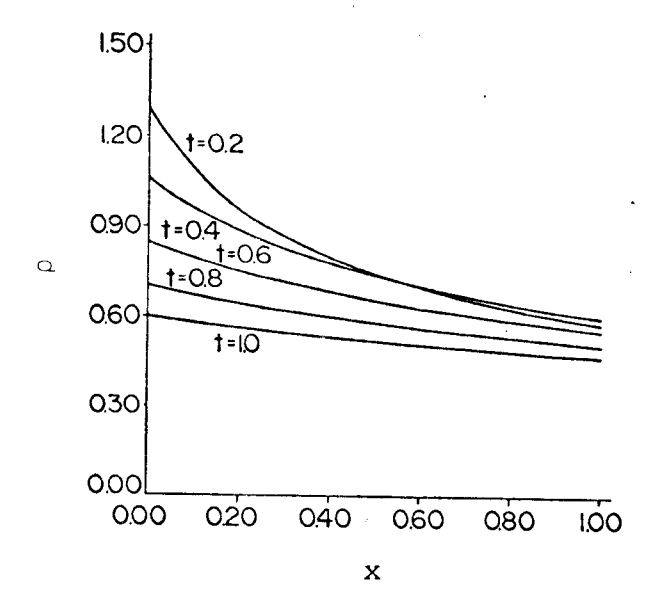


FIG.17. Distribuição de cargas livres para as condições iniciais  $\rho_0=0$ ,  $\rho_{to}=\frac{3}{4}(x+a)^{-1/2}$ , a=0.1 k=10,  $\tau=1000$ 

corrente calculada com esta aproximação resulta praticamente igual à exata Fig.(14). Já no caso de a = 0.1, a reta não aproxima muito bem a distribuição de cargas livres, como se pode ver na Fig.(17); assim a corrente aproximada se afasta daquela exata Fig.(16). Note -se, porém, que as características da corrente não são muito diferentes: o máximo ocorre num tempo próximo daquele dado pelo Método de Diferenças Finitas e as curvas, depois deste máximo, seguem praticamente paralelas.

# 6.2.3- Condições iniciais (3)

Com as condições iniciais

$$\rho(\mathbf{x},0) = \frac{3}{4} \frac{k\tau}{1+k\tau} \mathbf{x}^{-1/2}$$

$$\rho_{t}(\mathbf{x},0) = \frac{3}{4} \frac{1}{1+k\tau} \mathbf{x}^{-1/2}$$
(VI.11)

obtém-se

$$c_1(0) = \frac{3k\tau}{1+k\tau}$$

$$c_2(0) = \frac{-3k\tau}{1+k\tau}$$

$$Y_1(0) = \frac{1.5}{1+k\tau}$$

$$Y_2(0) = \frac{0.5}{1+k\tau}$$

$$Y_3(0) = \frac{0.3}{1+k\tau}$$

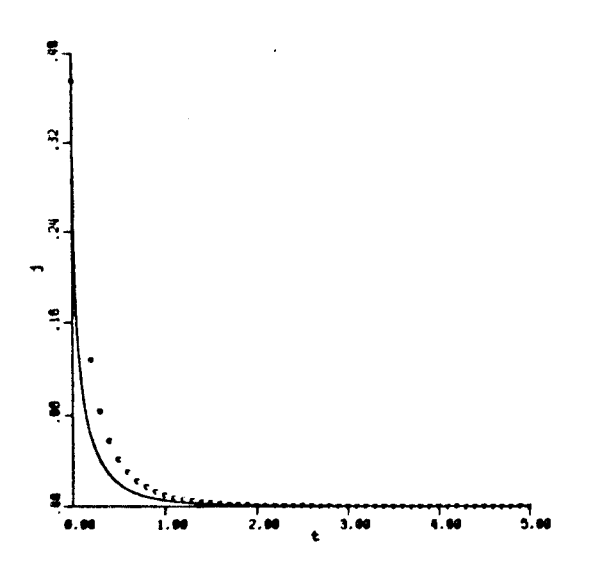


FIG.18. Corrente de cur to-circuito calculada pe lo Método de Galerkin (pontos) e Diferenças Finitas (linhas) para as condições iniciais  $\rho_{o} = \frac{3}{4} \frac{k\tau}{1+k\tau} x^{-1/2},$   $\rho_{to} = \frac{3}{4} \frac{1}{1+k\tau} x^{-1/2}$   $k=10, \tau=1000$ 

A aproximação de distribuição linear é ainda mais drástica no caso destas condições iniciais. Consequentemente a diferença entre as correntes calculadas pelos dois métodos, Fig (18), é mais acentuada, principalmente no início do decaimento. Com o passar do tempo, no entanto, a distribuição exata de cargas livres fica mais suave e a aproximação tende a melhorar o que se reflete na aproximação das duas curvas, que seguem praticamente paralelas.No te-se ainda que, embora pareça irreal, para este caso, aproximar a distribuição de cargas livres por uma reta, já no início do decaimento a corrente calculada por este método aproximativo tem sem pre a ordem de grandeza correta.

As curvas das Fig(19) mostram a corrente em função do tem po para estas condições iniciais (3) para alguns valores de k e  $\tau$ . Como a densidade inicial de cargas livres depende destes parâmetros, a corrente inicial também dependerá, sendo tanto maior quanto maior o produto  $k\tau$ , o que corresponde a uma maior densidade inicial de cargas livres. Vê-se ainda que as curvas se cruzam o que também é fácil de entender: a carga total inicialmente na a-mostra é a mesma para todas as curvas. Consequentemente, quanto

mais depressa as cargas saem da amostra, ou, quanto maior a corrente inicial, mais depressa a corrente deve ir a zero, ocorrendo, portanto, este cruzamento.

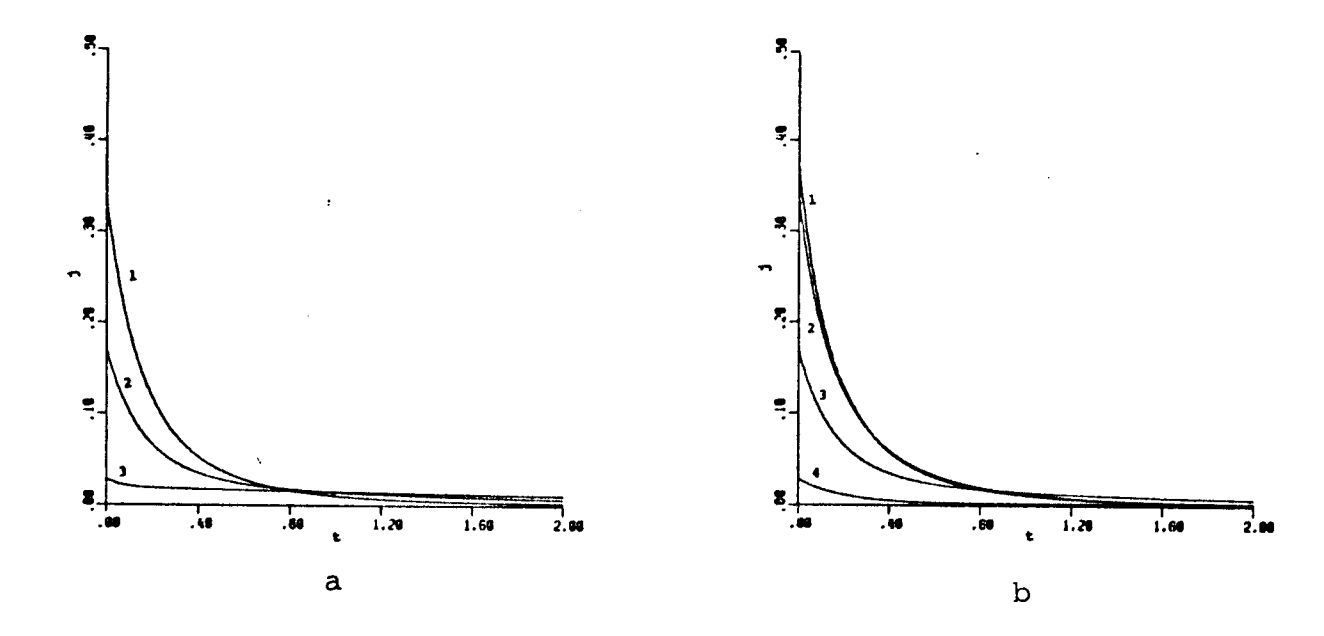


FIG.19. Corrente de curto-circuito calculada pelo Método de Gale<u>r</u> kin para as condições iniciais  $\rho_0 = \frac{3}{4} \frac{k\tau}{1+k\tau} x^{-1/2}$ ,  $\rho_{to} = \frac{3}{4} \frac{1}{1+k\tau} x^{-1/2}$  (a) k=1.0:(1) \tau=10, (2) \tau=1.0, (3) \tau=0.1 (b) \tau=1.0:(1) k=100, (2) k=10, (3) k=1.0, (4) k=0.1

De acordo com as equações deduzidas por Simmons & Tam(6) para o caso de densidade uniforme de cargas e campo alto de forma que o retrapping seja desprezível, o produto (corrente.tempo) é proporcional à distribuição dos traps e o log (tempo), à energia de ativação destes. Mais precisamente, segundo estes auto res, curvas de j.t vs.log(t) deveriam apresentar um pico num tem po igual ao tempo de detrapping((1/k) aqui). Este resultado também foi usado nas ref.(5) e (23) para o caso de distribuição não uniforme de cargas (as mesmas condições usadas aqui), com voltagem aplicada e em curto circuito. A Fig. (20) contém as curvas deste tipo, para k=1.0 e  $\tau$ =1000 (praticamente nenhum retrapping),

feitos pelos Métodos de Galerkin e Diferenças Finitas, com estas condições iniciais(3). Vê-se que elas realmente apresentam um pi co sendo que as posições dos picos das duas curvas praticamen - te coincidem. No entanto, não se verifica a relação de Simmons & Tam entre a posição do pico e o tempo de detrapping, nem para a corrente calculada pelo Método de Galerkin, nem para aquela calculada pelo Método de Diferenças Finitas, que deve dar resulta - dos muito próximos dos exatos.

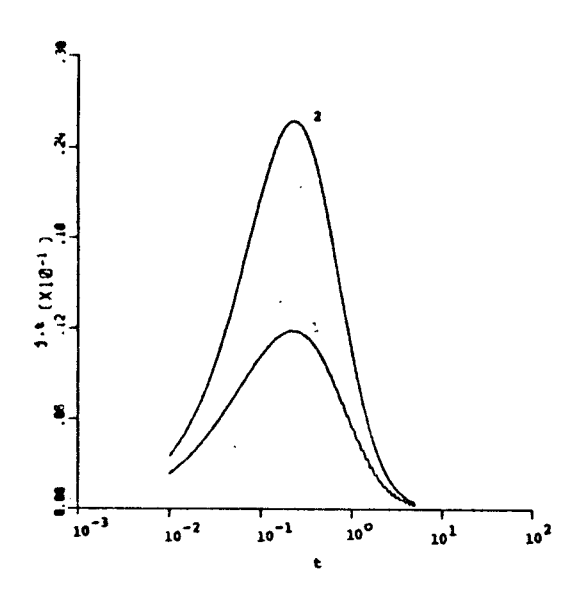


FIG.20. Corrente.tempo versus log(tempo) para as condições iniciais  $\rho_{o} = \frac{3}{4} \frac{k\tau}{1+k\tau} x^{-1/2},$   $\rho_{to} = \frac{3}{4} \frac{1}{1+k\tau} x^{-1/2}$  k=1.0,  $\tau$ =1000. (1) Método de Galerkin, (2) Diferenças Finitas.

Casos em que k é pequeno e  $\tau$  grande (por exemplo, k=0.1 e  $\tau$ =10 ou  $\tau$ =5) apresentaram uma pequena inversão da corrente. Não sabemos, porém, se esta inversão é real ou se é decorrente das <u>a</u> proximações feitas aqui.

# 6.3- TSC em curto circuito

Nesta seção serão apresentados os resultados para o caso de temperatura variável, ou, a corrente termo estimulada (TSC) em curto circuito, com as condições iniciais

$$\rho_{\rm O} = \frac{3}{4} \frac{k \tau}{1 + k \tau} x^{-1/2}$$

$$\rho_{to} = \frac{3}{4} \frac{1}{1+k\tau} x^{-1/2}$$

que são as condições iniciais (3) da seção anterior e foram escolhidas aqui porque representam uma distribuição que pode ser obtida na prática (amostra com contacto ôhmico carregada pela aplicação de uma d.d.p. constante).

Este caso de temperatura variável será tratado somente pe lo Método de Galerkin, pois, o Método de Diferenças Finitas na sua forma explícita, como foi usado na seção anterior, já apresentava soluções pouco estáveis para o caso com condições iniciais mais de licadas, mesmo à temperatura constante. Pretende-se, futuramente, buscar soluções mais estáveis com este método, mesmo para estes ca sos de temperatura variável.

Curvas de corrente termo-estimulada apresentam picos, as simétricos, cujas posições e larguras têm sido relacionadas com os parâmetros característicos dos traps e com a razão de aquecimento (veja, por exemplo, a ref.(24) que contém uma síntese dos principais resultados obtidos neste campo até 1964 com as respectivas referências, a ref.(25)ou, ainda, o capítulo 3 da ref.(26), mais atual).

Também aqui será apresentada a dependência da posição e meia largura do pico da corrente termo-estimulada (só um neste ca so pois se considera somente um nível de traps) com a razão de aquecimento  $\beta$ , a energia de ativação dos traps  $\phi$ , a frequência de escape  $\nu$  e o tempo de trapping  $\tau$ , conforme os cálculos feitos na seção 6.1.

O máximo da corrente ocorre porque, à medida que a tempe ratura aumenta, cresce a probabilidade de os portadores saírem dos traps (k=vexp(- $\phi$ /kBT), devendo, por isso, a corrente aumentar ini-

cialmente. Por outro lado, a carga nos traps vai diminuindo até que se atinge um estágio em que, apesar de k ser grande, há pou ca carga na amostra, o que se reflete num decréscimo da corrente. Entre estas duas situações ocorre o máximo, cuja posição, portanto, deve ser dominada, principalmente, pelo processo de saída de cargas dos traps, não devendo ser de muita importância a forma exata da distribuição de cargas livres.

As Figuras (21), (22), (23) e (24) mostram esta corren te termo-estimulada em função da temperatura conforme são vari $\underline{a}$ dos  $\beta$ ,  $\phi$ ,  $\nu$  e  $\tau$ , respectivamente. Se na Fig.(21) fosse usado o tempo no eixo das abcissas, no lugar da temperatura, os picos  $\underline{\mathrm{o}}$ correriam em tempos tanto menores quanto mais depressa a temperatura aumentasse, isto  $\tilde{\mathbf{e}}$ , quanto maior fosse  $\beta$ . No entanto deslocamento do pico se dá na direção contrária para gráficos da corrente em função da temperatura porque, enquanto os portadores saem dos traps, e depois da amostra, a temperatura vai au mentando tanto mais depressa quanto maior for  $\beta$ . Por sua vez,  $\tilde{\epsilon}$ óbvio o aumento da temperatura do máximo conforme a energia de ativação aumenta ou a frequência de escape diminui. Também é com preensível o comportamento do máximo com o tempo de trapping : quanto menor  $\tau$ , o que corresponde a um forte retrapping, mais as cargas demoram para deixar a amostra, isto ocorrendo, portanto, a temperaturas maiores. Para au > 1, praticamente não há mais re trapping dos portadores e a temperatura correspondente ao máximo fica estacionária.

Estas dependências da temperatura do máximo com  $\beta$ ,  $\phi$ , $\nu$  e  $\tau$  estão mais claras nas Fig.(25.a), (26.a), (27.a) e (28.a). Vê-se que a dependência com  $\phi$  é linear, resultado que também foi obtido por Simmons e Taylor (7). Também, seguindo o procedimento adotado por estes autores, foram feitos os gráficos de inverso da temperatura do máximo (1/T\*) versus log  $\beta$  e versus log  $\nu$ .

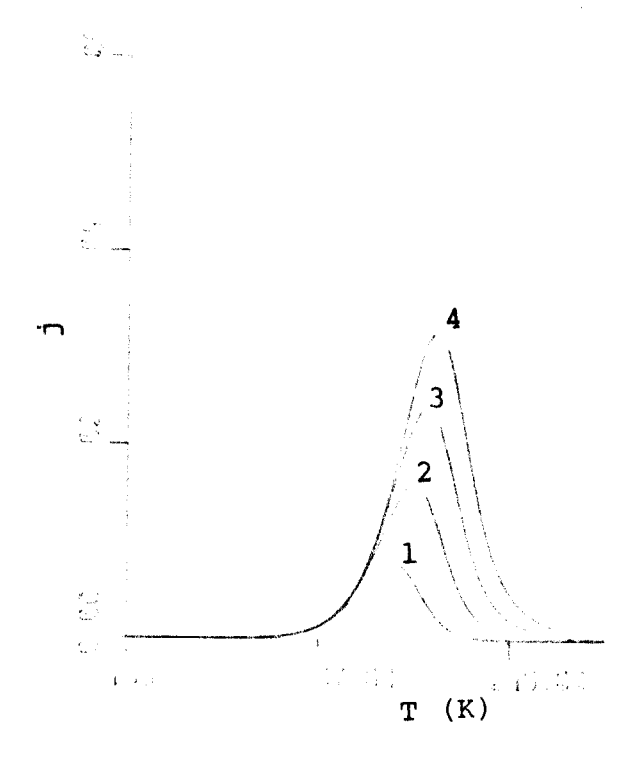


FIG. 21. Corrente termo-es timulada em curto -circui to para vários valores da razão de aquecimento  $\beta$ .  $\phi=0.65$  eV,  $\nu=10^{-1.3}$  s  $\tau=1.0$ ,  $\ell^2/\mu V_0=100$  s.  $(1)\beta=0.025$  K/s,  $(2)\beta=0.05$ K/s  $(3)\beta=0.075$ K/s,  $(4)\beta=0.1$ K/s. j e  $\tau$  em unidades adimen - sionais.

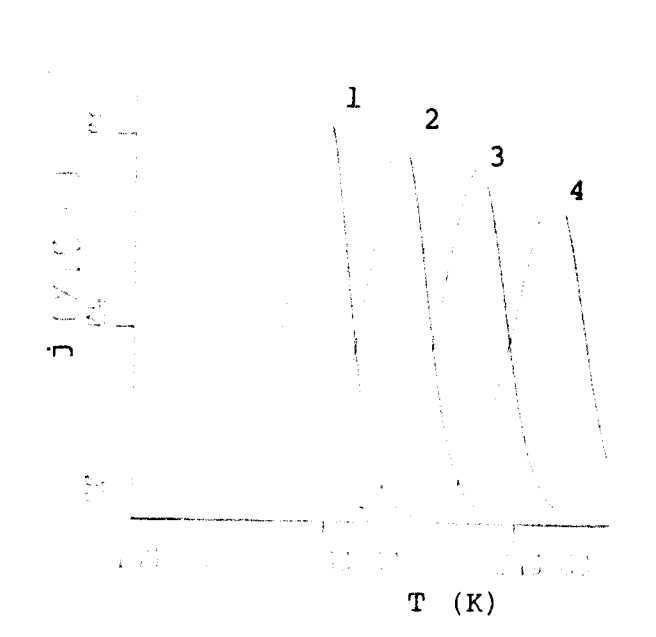


FIG.22. TSC em curto cir - cuito para vários valores da energia de ativação  $\phi$  .  $\beta=0.025 \text{K/s}, \nu=10^{13} \text{s}^{-1} \quad ,$   $\tau=1.0, \ell^2/\mu V_0=100 \text{s}. \quad (1) \phi = 0.60 \text{ eV}, \quad (2) \phi = 0.65 \text{ eV} \quad ,$   $(3) \phi=0.70 \text{ eV}, (4) \phi=0.75 \text{ eV}.$   $\text{j e } \tau \text{ em unidades adimen} - \text{sionais}.$ 

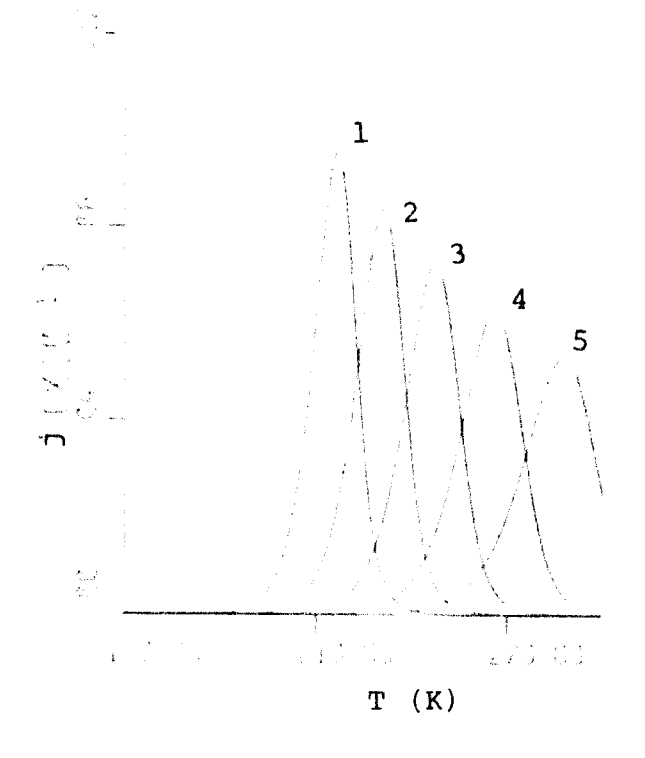


FIG.23. TSC em curto cir - cuito para vários valores da frequência de escape  $\nu$ .  $\beta=0.03 \text{K/s}, \ \phi=0.65 \text{ eV}, \tau=1.0, \\ \ell^2/\mu V_0=100 \text{s}. \ (1) \ \nu=10^{13} \text{s}^{-1}, \\ (2) \ \nu=10^{12} \text{s}^{-1}, (3) \ \nu=10^{11} \text{s}^{-1}, \\ (4) \ \nu=10^{10} \text{s}^{-1}, (5) \ \nu=10^{9} \text{s}^{-1}. \text{ j} \\ \text{e } \tau \text{ em unidades adimensio} - \text{nais}.$ 

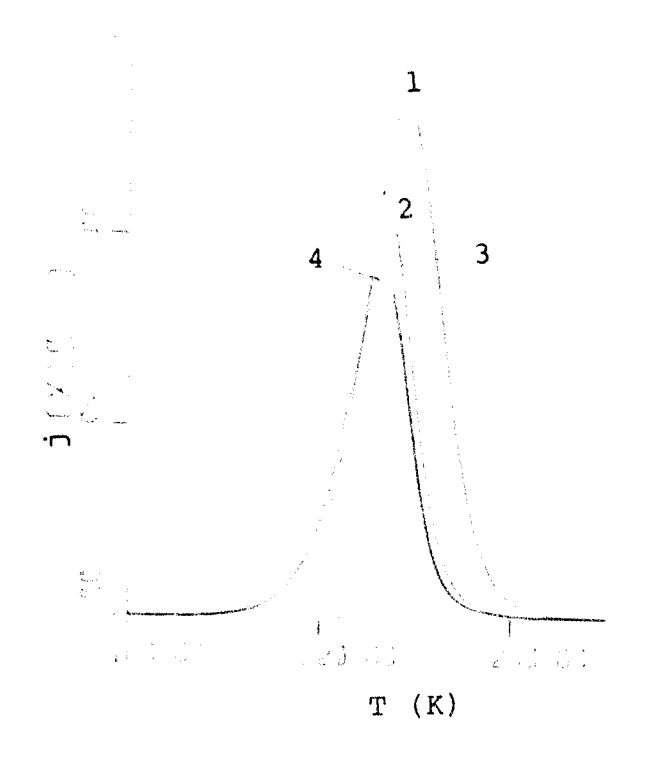


FIG.24. TSC em curto circuito para vários valo - res do tempo de trapping  $\tau$ .  $\beta$ =0.03K/s, $\phi$ =0.70 eV ,  $\nu$ =10<sup>13</sup>s<sup>-1</sup>, $\ell$ 2/ $\mu$ V<sub>O</sub>=100s . (1)  $\tau$ =0.1,(2)  $\tau$ =1.0 , (3) $\tau$ =10.0, (4) $\tau$ + $\infty$ .j e  $\tau$  em unidades adimensio - nais.

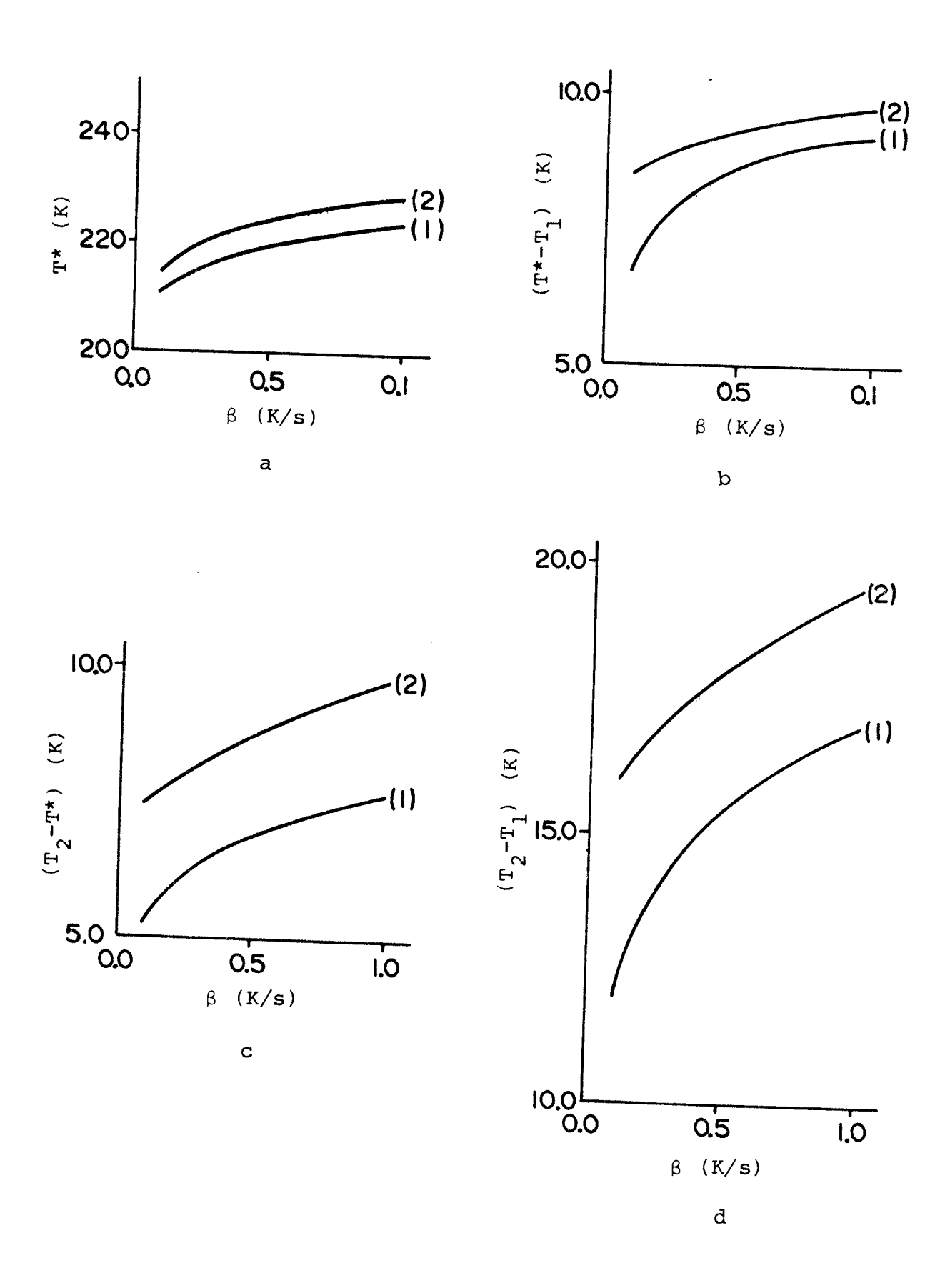
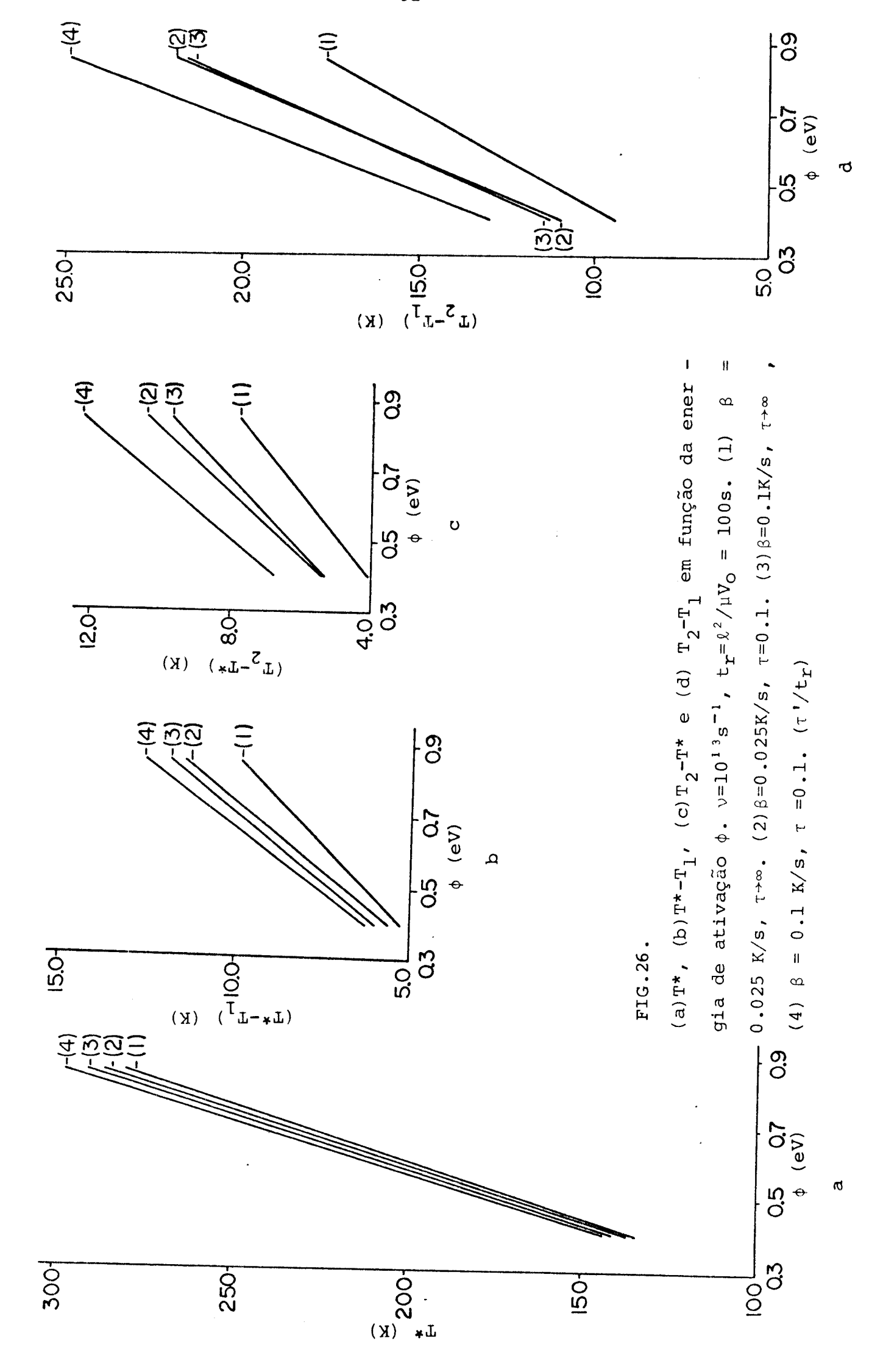


FIG.25. (a) T\*, (b) T\*-T<sub>1</sub>, (c) T<sub>2</sub>-T\* e (d) T<sub>2</sub>-T<sub>1</sub> em função da razão de aquecimento  $\beta$ .  $\phi$ =0.65 eV,  $\nu$ =10<sup>13</sup>s<sup>-1</sup>, t<sub>r</sub>= $\ell^2/\mu V_O$  = 100s. (1)  $\tau$ + $\infty$ . (2)  $\tau$ =0.1 ( $\tau$ = $\tau$ '/t<sub>r</sub>).





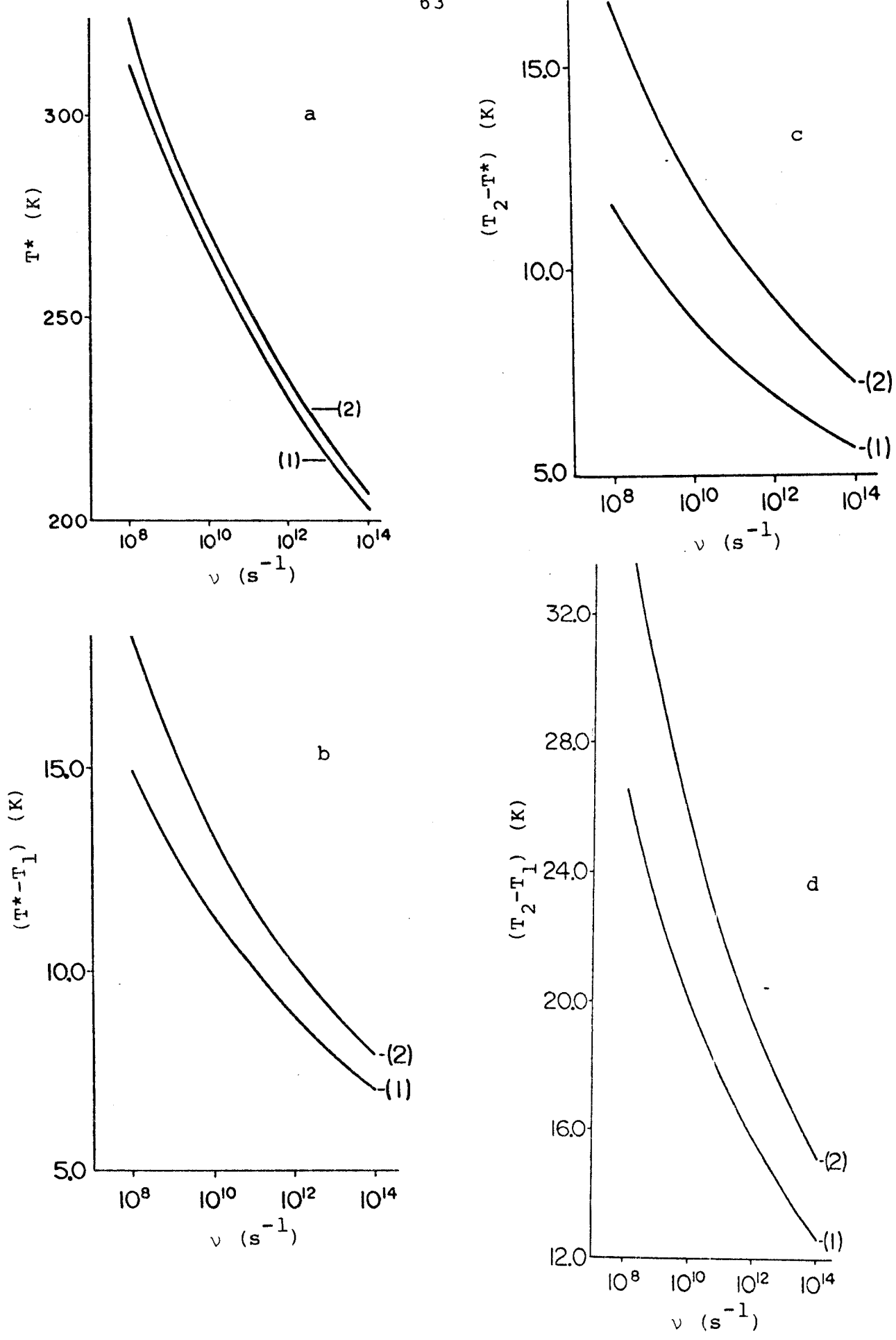
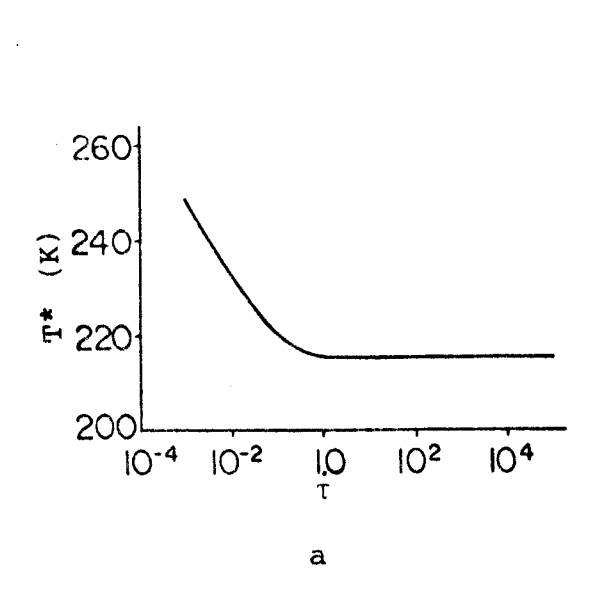
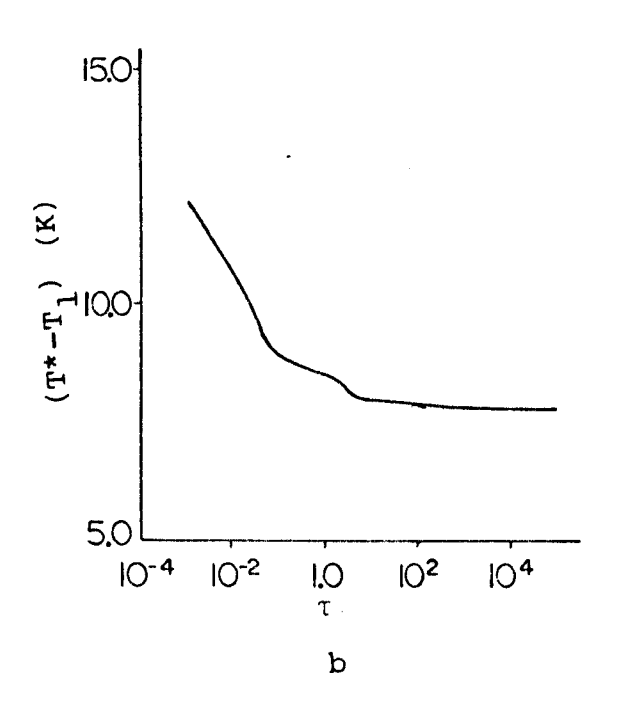
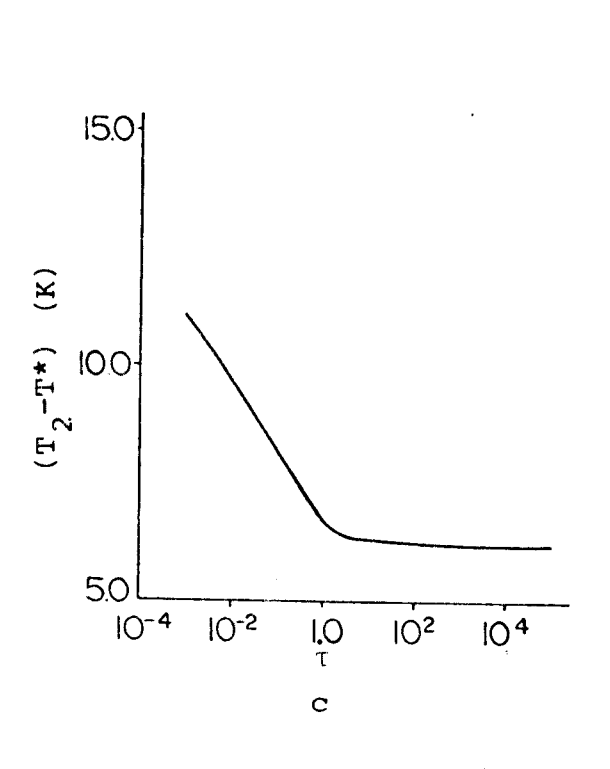


FIG.27. (a) T\*, (b) T\*-T<sub>1</sub>, (c) T<sub>2</sub>-T\* e (d) T<sub>2</sub>-T<sub>1</sub>, em função da frequência de escape  $\nu$  .  $\phi$  = 0.65 eV,  $\beta$  = 0.025 K/s, t<sub>r</sub> =  $\ell^2/\mu V_0$  = 100 s. (1)  $\tau \rightarrow \infty$ , (2)  $\tau$  = 0.1 ( $\tau = \tau^2/t_r$ )

A Section of the sect







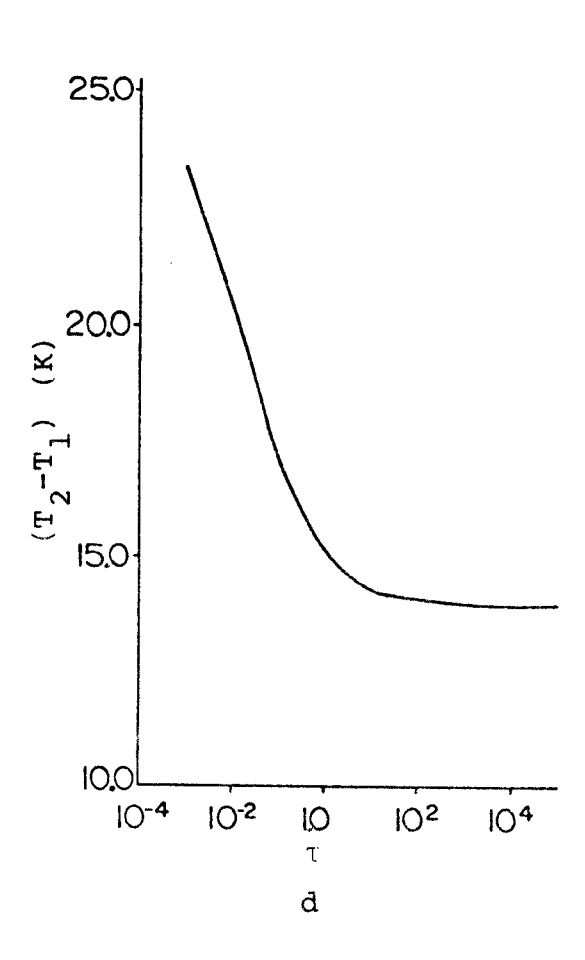


FIG.28. (a) T\*, (b) T\*-T<sub>1</sub>, (c) T<sub>2</sub>-T\* e (d) T<sub>2</sub>-T<sub>1</sub> em função do tem po de trapping  $\tau(\tau=\tau'/t_r)$ .  $\phi=0.65$  eV,  $\nu=10^{13} s^{-1}$ ,  $\beta=0.025 K/s$ ,  $t_r = \ell^2/\mu V_o = 100 s$ .

No caso sem retrapping  $(\tau \to \infty)$ , estes dois gráficos dão retras cujas inclinações, juntamente com aquelas dos gráficos de T\* vs. $\phi$  permitem escrever

$$\phi = T*(1.82x10^{-4}\log(v/\beta) + 4.24x10^{-4}) - 0.014 \qquad (\tau > 1)$$

em analogia com o resultado de Simmons e Taylor

$$\phi = T*(1.92x10^{-4}\log(v/\beta)+3.2x10^{-4}) - 0.0155$$

que também só vale para o caso sem retrapping.

No caso de  $\tau$  < 1, a temperatura do máximo depende do tem po de trapping e a curva l/T\*vs.log  $\beta$  já não se aproxima tão bem de uma reta, embora l/T\*vs.log  $\nu$  seja ainda linear. Apesar de desejável, não foi possível encontrar a dependência de T\* com  $\tau$  e  $\beta$ , de maneira que não foi possível escrever uma equação do mesmo tipo para o caso com retrapping.

As Fig.(25.b,c,d), (26.b,c,d)(27.b,c,d) e (28.b,c,d) mostram a dependência da largura do pico com estes mesmos parâme tros  $\beta$ ,  $\phi$ ,  $\nu$  e  $\tau$ . As Figuras (b) mostram (T\*-T<sub>1</sub>), as (c),(T<sub>2</sub>-T\*)e as (d), (T<sub>2</sub>-T<sub>1</sub>), onde T\* é a temperatura do máximo e T<sub>1</sub> e T<sub>2</sub> a menor e maior temperaturas, respectivamente, em que a corrente fica igual à metade do seu máximo valor.

Estas curvas de corrente termo-estimuladas calculadas aqui, apresentam, ainda, a característica notada por Garlick e Gibson (27,24) de que um gráfico de ln (corrente) versus  $1/k_BT$ , quando a corrente começa a crescer, dá uma reta cuja inclinação, negativa, é a energia de ativação dos traps  $(-\phi)$ . Este resultado, juntamente com a equação acima, permitem a determinação de  $\phi$  e v, já que a condição  $\tau$  > 1 é sempre possível desde que se carregue a amostra com uma d.d.p.  $(V_O)$  suficientemente grande.

Também foram feitas curvas TSC com as condições iniciais (2) da seção anterior, eq.(VI.10) com a=0.1, observando-se que,em bora o valor da corrente seja diferente,as posições elarguras dos picos diferem por décimos de Kelvin daquelas das curvas apresentadas nesta seção.

Ainda com as condições iniciais(2) e (3) da seção anterior, foram feitas as curvas TSC, considerando para a distribuição de cargas livres

$$\bar{\rho} = c_1(t) + c_2(t)x + c_3(t)x^2$$
.

em lugar da distribuição linear, eq.(VI.4), cujas equações encon - tram-se no apêndice B. Também aqui, verificou-se que a posição e a largura dos picos diferem por décimos de Kelvin das corresponden - tes quando se considera distribuição linear para a carga livre.

Estes fatos vêm confirmar o argumento de que as caracte - rísticas das curvas de corrente termo-estimulada são dominadas mais pelo processo de saída dos portadores dos traps, do que pela forma da distribuição de cargas.

# CAPITULO VII

# IDC E TSC COM VOLTAGEM APLICADA

# 7.1- Introdução

Já aplicamos o Método de Galerkin para calcular o poten cial de superfície em circuito aberto e a corrente de curto circuito de uma amostra com uma densidade inicial de cargas conhecida. Este método será usado, agora, para calcular a corrente através de uma amostra, carregada pela aplicação de uma diferença de potencial  $V_0$  até o estado estacionário, quando uma outra ddp  $V_1'$  (ou  $V_1 = V_1'/V_0$  nas unidades adimensionais), de polaridade inversa, é aplicada. Supõe-se que a amostra é provida de um contacto injetante em x=0 e um bloqueante em x=1, e que a d.d.p. inversa a plicada é tal que o campo elétrico seja negativo em toda a amostra, obrigando os portadores a sair pelo eletrodo em x=0. Como o contacto em x=1 é bloqueante, portadores não podem ser injetados por aí e, conforme saem dos traps, são imediatamente arrastados pelo campo elétrico, de forma que a densidade de cargas livres em x=1 é sempre nula.

Novamente, usando as equações de Poisson, continuida - de e balanço entre a banda de condução e os traps, obtém-se a equação

$$E\frac{\partial \rho}{\partial x} + \frac{\partial \rho}{\partial t} + \rho^2 + \frac{\rho}{\tau} + (\rho - k) \rho_t = 0$$
 (VII.1)

que será resolvida com o Método de Galerkin.

Usando a notação do Capitulo II, seja

$$\Psi_1(\mathbf{x}) = 1 - \mathbf{x} \tag{VII.2}$$

$$\Psi_2(x) = x(1-x)$$

de modo que

$$\rho(x,t) = (1-x)(c_1(t) + c_2(t)x)$$
 (VII.3)

onde o termo (1-x) em evidência dá conta da imposição de que  $\bar{\rho}$  seja nula em x=1.

Com esta densidade de cargas livres e a condição de contorno

$$\int_{0}^{1} E(x,t) dx = -V_{1}, \qquad (VII.4)$$

a equação de Poisson pode ser integrada, dando

$$E(x,t) = -V_1 - \frac{c_1}{3} - \frac{c_2}{12} - \int_0^1 \rho_t(x,t) dx - \int_0^1 x \rho_t(x,t) dx + c_1(x - \frac{x^2}{2}) + c_2(\frac{x^2}{2} - \frac{x^3}{3}) + \int_0^x \rho_t(x,t) dx$$
(VII.5)

A eq.(VII.1), correspondendo à (II.1), e usando as eq. (VII.2), as condições (II.5) dão

$$\int_{0}^{1} (E \frac{\partial \overline{\rho}}{\partial x} + \frac{\partial \overline{\rho}}{\partial t} + \overline{\rho}^{2} + \frac{\overline{\rho}}{\tau} + (\overline{\rho} - k) \rho_{t}) (1 - x) dx = 0$$

$$\int_{0}^{1} (E \frac{\partial \overline{\rho}}{\partial x} + \frac{\partial \overline{\rho}}{\partial t} + \overline{\rho}^{2} + \frac{\overline{\rho}}{\tau} + (\overline{\rho} - k) \rho_{t}) x (1 - x) dx = 0$$

Usando, então,  $\bar{\rho}$  dado por (VII.3), E(x,t) dado por (VII.5) e a equação de balanço entre a banda de condução e os traps, eq.(III.4), e trabalhando as equações acima, obtém-se o seguinte sistema de equações diferenciais ordinárias

69

$$\frac{d\mathbf{Y}_{1}}{dt} = \frac{c_{1}}{2\tau} + \frac{c_{2}}{6\tau} - k\mathbf{Y}_{1}$$

$$\frac{d\mathbf{Y}_{2}}{dt} = \frac{c_{1}}{6\tau} + \frac{c_{2}}{12\tau} - k\mathbf{Y}_{2}$$

$$\frac{d\mathbf{Y}_{3}}{dt} = \frac{c_{1}}{12\tau} + \frac{c_{2}}{20\tau} - k\mathbf{Y}_{3}$$

$$\frac{d\mathbf{Y}_{4}}{dt} = \frac{c_{1}}{20\tau} + \frac{c_{2}}{30\tau} - k\mathbf{Y}_{4}$$

$$\frac{d\mathbf{Y}_{5}}{dt} = \frac{c_{1}}{30\tau} + \frac{c_{2}}{42\tau} - k\mathbf{Y}_{5}$$

$$\frac{dc_{1}}{dt} = -\frac{2}{3}(c_{1} - 2c_{2})\mathbf{V}_{1} - c_{1}(\frac{25}{18}c_{1} + \frac{c_{2}}{18} + \frac{1}{\tau} + 8\mathbf{Y}_{1} - \frac{86}{3}\mathbf{Y}_{2} + 34\mathbf{Y}_{3} - \frac{40}{3}\mathbf{Y}_{4}) + c_{2}(\frac{c_{2}}{14} - \frac{4}{3}\mathbf{Y}_{2} + 14\mathbf{Y}_{3} - \frac{68}{3}\mathbf{Y}_{4} + 10\mathbf{Y}_{5}) + k(8\mathbf{Y}_{1} - 28\mathbf{Y}_{2} + 20\mathbf{Y}_{3})$$

$$\frac{dc_{2}}{dt} = -\frac{10}{3}(c_{1} + c_{2})\mathbf{V}_{1} + c_{1}(\frac{37}{18}c_{1} - \frac{11}{18}c_{2} + 20\mathbf{Y}_{1} - \frac{290}{3}\mathbf{Y}_{2} + 130\mathbf{Y}_{3} - \frac{160}{3}\mathbf{Y}_{4}) - c_{2}(\frac{c_{2}}{7}c_{2} + \frac{1}{\tau} - \frac{10}{3}\mathbf{Y}_{2} + 50\mathbf{Y}_{3} - \frac{260}{3}\mathbf{Y}_{4} + 40\mathbf{Y}_{5}) + k(-20\mathbf{Y}_{1} + 100\mathbf{Y}_{2} - 80\mathbf{Y}_{3})$$

onde Y<sub>1</sub>, Y<sub>2</sub>, Y<sub>3</sub>, Y<sub>4</sub> e Y<sub>5</sub> representam a carga total nos traps e seu primeiro, segundo, terceiro e quarto momentos, respectivamente, cujas equações diferenciais foram obtidas a partir da equação de balanço entre a banda de condução e os traps.

A corrente total, que é a grandeza experimentalmente men surável, pode ser obtida da eq.(VI.7)

$$j(t) = \int_{0}^{1} \rho(x,t) E(x,t) dx$$
 (VII.7)

resultando

$$j(t) = -\frac{1}{2}(c_1 + \frac{c_2}{3}) V_1 - \frac{c_1}{2}(\frac{c_1}{12} + \frac{c_2}{36} + Y_2 - Y_3) + c_2(\frac{Y_2}{6} - \frac{Y_3}{2} + \frac{Y_4}{3}) \text{ (VII.7)}$$

No caso de temperatura variável k = k(t) e, como no Cap $\underline{i}$  tulo anterior, será considerado

$$k = v \exp(-\phi/k_BT)$$

e

$$T = T_0 + \beta t$$

No apêndice C são apresentadas as equações resultantes quando se considera linear a distribuição de cargas livres, em  $1\underline{u}$  gar de parabólica como foi feito aqui.

#### 7.2- IDC com voltagem aplicada

Nesta seção são apresentados os resultados para o caso de temperatura constante para duas condições iniciais, já usadas na seção 6.2.

# 7.2.1- Condições iniciais dadas pela eq.(VI.10)

Ou seja  $\rho_0$ =0 e  $\rho_{to}$ =  $\frac{3}{4}(x+a)^{-1/2}$ . Para estas condições <u>i</u> niciais, obtém-se

$$c_1(0) = c_2(0) = 0$$

$$Y_1(0) = \frac{3}{2}((1+a)^{1/2} - a^{1/2})$$

$$Y_2(0) = \frac{(1+a)^{3/2}}{2} + a^{3/2} - \frac{3}{2}a (1+a)^{1/2}$$

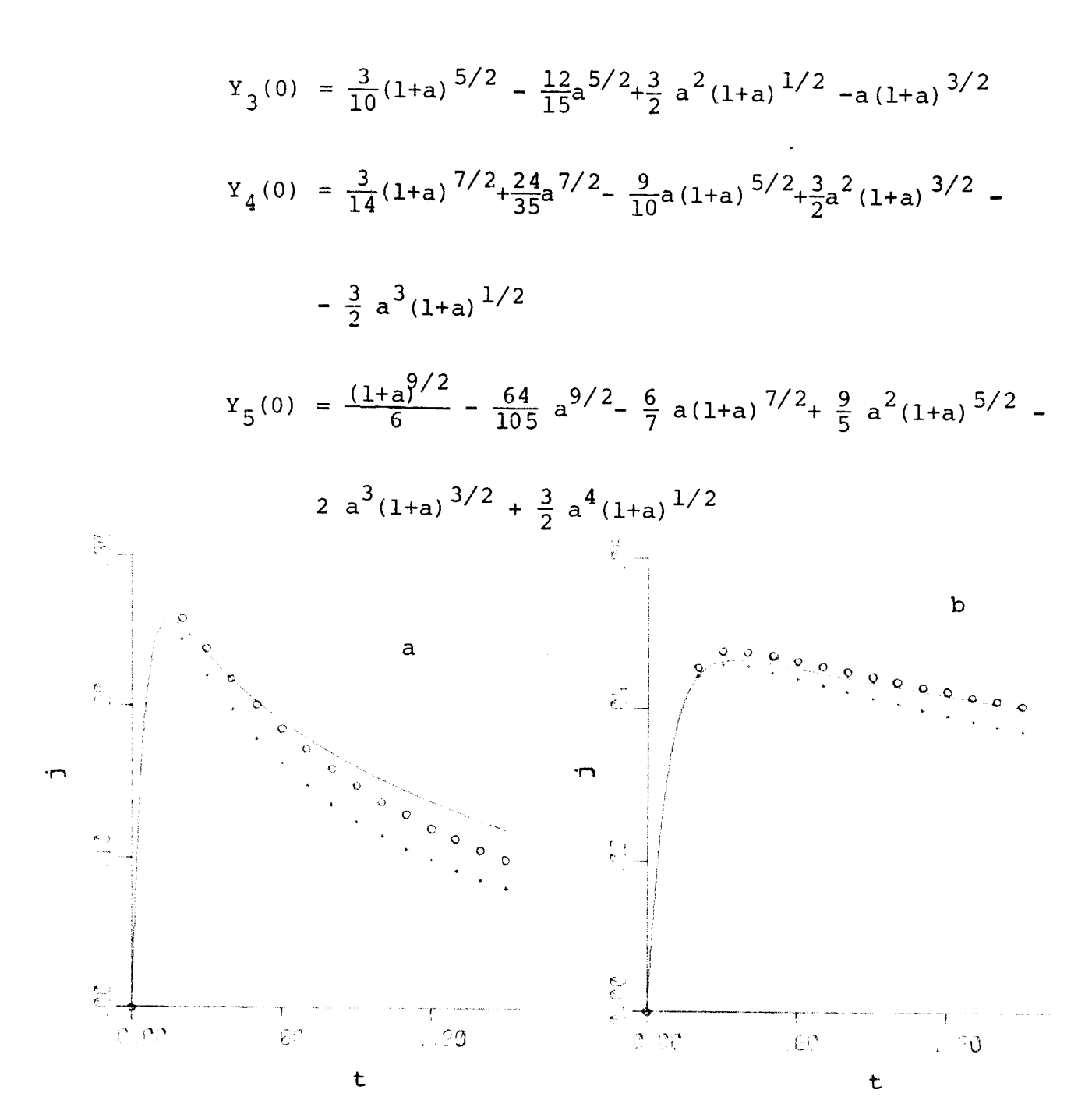


FIG.29. Comparação entre a corrente calculada pelo Método das Diferenças Finitas (linhas), e pelo Método de Galerkin com distribuição parabólica (o) e linear (+) para a carga livre, com as condições iniciais:  $\rho_0 = 0$ ,  $\rho_{to} = \frac{3}{4}(x+a)^{-1/2}$  a = 0.1, V = 0.5,  $\tau$  = 0.1, (a) k=10.0, (b) k=1.0

Nas Fig.(29.a e 29.b) estão a corrente calculada pelo Método de todo de Diferenças Finitas, e aquelas calculadas pelo Método de Galerkin considerando a distribuição de carga livre parabólica (cál-

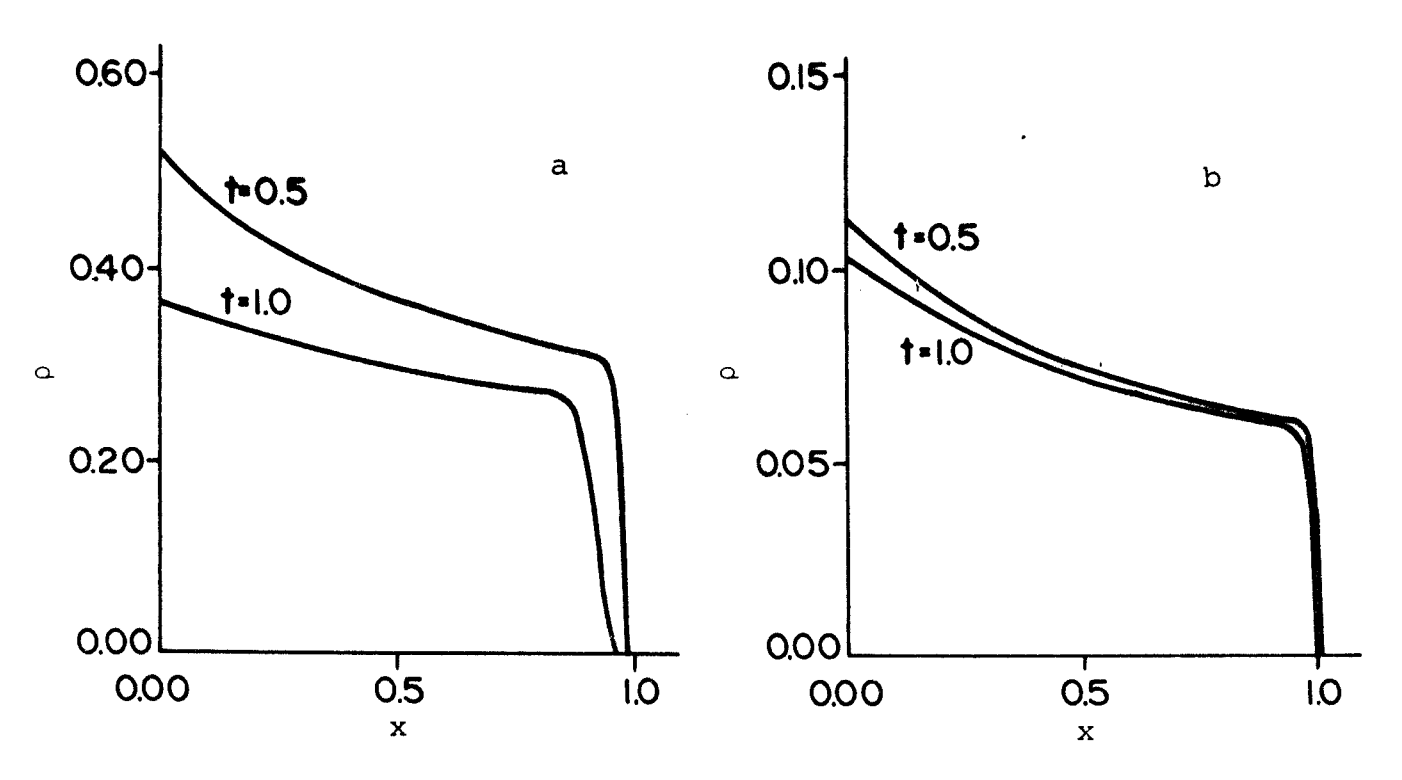


FIG.30. Perfis da densidade de carga livre, calculados com o Método das Diferenças Finitas para as condições iniciais :  $\rho_{o} = 0 \text{, } \rho_{to} = \frac{3}{4}(x+a)^{-1/2} \text{. a=0.1, } V = 0.5 \text{, } \tau = 0.1 \text{. (a)} k = 10.0 \text{. (b)} k = 1.0 \text{.}$ 

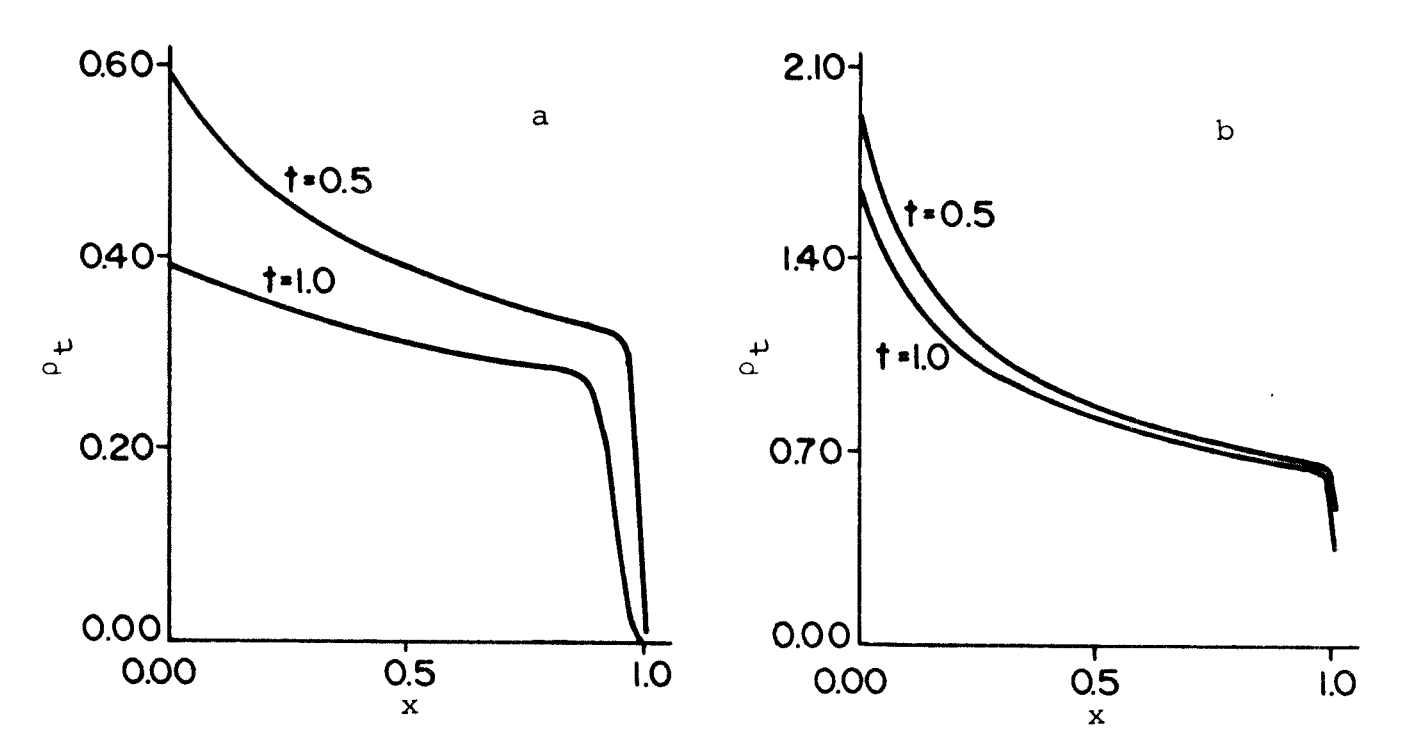


FIG.31. Perfis da densidade de cargas nos traps, calculados com o Método das Diferenças Finitas para as condições ini ciais:  $\rho_0$ =0,  $\rho_{to}=\frac{3}{4}(x+a)^{-1/2}$ . a=0.1, V=0.5,  $\tau=0.1$  (a) k=10.0, (b) k=1.0.

culos da seção anterior) e linear (apêndice C), para k = 10.0 e k = 1.0. Em ambos os casos, a aproximação de distribuição parab $\underline{o}$ lica resulta numa corrente mais próxima daquela calculada com as Diferenças Finitas do que a aproximação de distribuição linear . Por outro lado, as duas aproximações se mostram melhores quando k = 1.0 do que quando k = 10.0. Isto acontece porque, quando k é grande, as cargas saem de uma vez dos traps e, já na banda de con dução, são arrastadas pelo campo elétrico, o que provoca um esva ziamento rápido da região próxima do eletrodo bloqueante (em x=1), o que torna ruins as aproximações consideradas aqui para a dis tribuição de cargas livres. É claro que, para tempos menores (da ordem de l/k, que é o tempo de detrapping), a aproximação é me lhor; na verdade é esta a situação da curva com k=1.0: o máximo tempo considerado, t=1.5, ainda é da ordem do tempo de detrap ping. Para ilustrar este efeito as Fig.(30) e (31) mostram os pe $\underline{r}$ fis da carga livre e da carga nos traps, respectivamente, correspondentes às curvas de corrente acima.

A Fig.(32) apresenta a corrente para estas mesmas condições iniciais, eq.(VII.8), para vários valores da voltagem aplica da  $-V_1$ , tomando sempre o cuidado de usar

$$V_1 > \sqrt{1 + a} (\frac{1}{2} - a) + a^{3/2}$$

(no caso das curvas desta Figura em que a = 0.1, esta condição dã  $V_1 > 0.45$ ); isto é necessário a fim de garantir que o campo elétrico seja negativo em toda a amostra. Como, inicialmente, só há carga nos traps, a corrente inicial é nula, crescendo à medida que os portadores saem dos traps até atingir o máximo, e de crescendo depois até se anular, porque, portadores podem sair da amostra, mas não entrar. Quanto mais depressa os portadores saem dos traps, ou, quanto maior k, mais acentuado é o pico da correndo dos traps, ou, quanto maior k, mais acentuado é o pico da corren

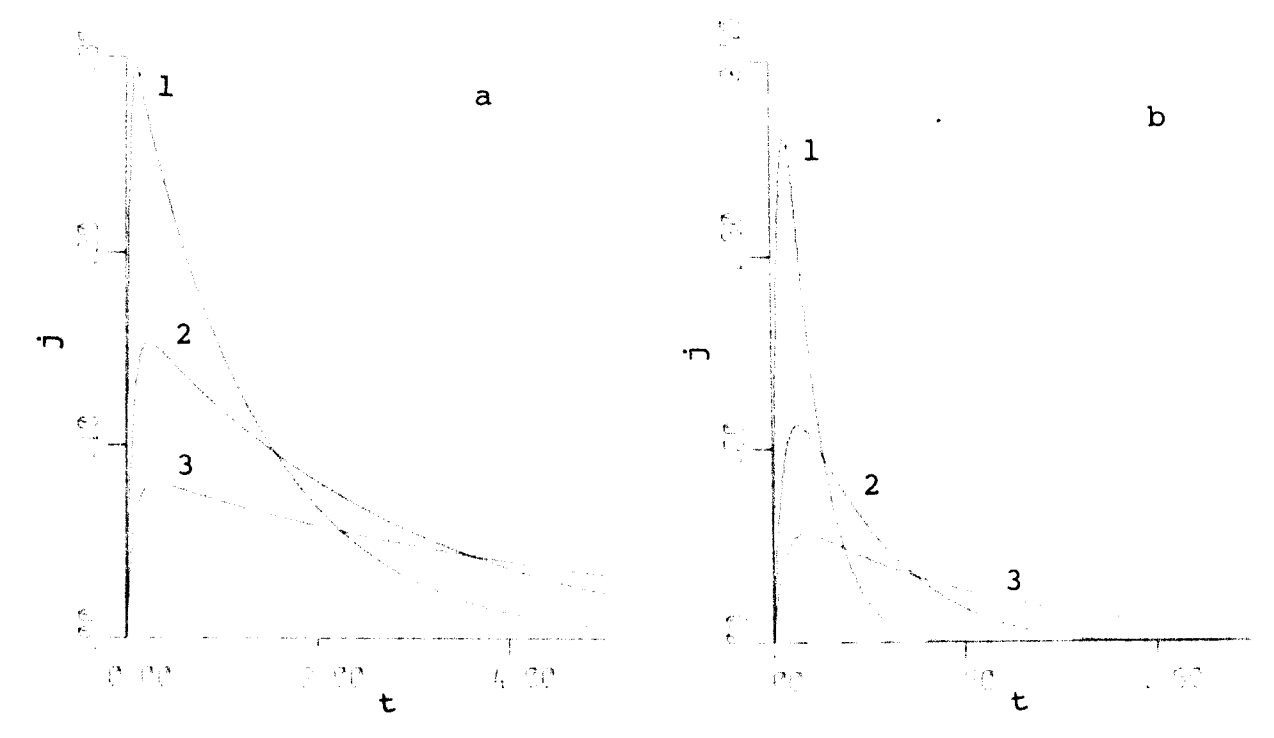


FIG.32. Corrente em função do tempo para as condições iniciais:  $\rho_0 = 0, \; \rho_{to} = 3/4 \, (x+a)^{-1/2}. \; a = 0.1, \; \tau = 0.1 \; (a) \; k = 1.0 \, (1) \; V_1 = 10.0, \; (2) \; V_1 = 2.5, \; (3) \; V_1 = 1.0$  (b) k = 10.0 : (1)  $V_1 = 10.0$ , (2)  $V_1 = 2.5$ , (3)  $V_1 = 1.0$ 

te, isto é, mais alto e mais estreito ele fica (observe que são diferentes as escalas dos gráficos da Fig.(32.a) e da (32.b)) . Ainda, como toda a carga caminha em direção ao eletrodo em x=0, a integral da corrente  $\int_0^\infty jdt$ , que é a carga que passa pela resistência de medida, deveria ser a mesma para todas estas cur vas e igual ao produto  $\bar{x}_0Q_0$ , que é igual a  $Y_{20}$ , onde  $Q_0$  é a carga que total inicialmente na amostra e  $\bar{x}_0$  o centróide desta carga  $(\bar{x}_0 = \int_0^1 x \rho dx/\int_0^1 \rho dx)$ . As áreas medidas sob as curvas resulta ram muito próximas umas das outras, porém um pouco diferentes de  $\bar{x}_0Q_0$ .

Como na seção 6.2.3, foram feitas também as curvas de corrente.tempo versus log (tempo) (j.t vs.log t): no caso de  $\tau \to \infty (\text{sem retrapping}) \text{ e voltagens grandes (campo alto), que se } \underline{a}$ 

proxima bem do caso tratado por Simmons & Tam(6), verificou-se a relação apresentada por eles de que o máximo destas curvas ocorre para tempos iguais ao tempo de detrapping (1/k) para os casos em que k não é muito grande (k < 1.0). No caso de vantagens baixas ou com retrapping, esta relação não ocorre, embora a ordem de grandeza do tempo correspondente ao máximo de cada curva seja a mesma de 1/k.

7.2.2- Condições iniciais dadas pela eq.(VI.11)

Ou 
$$\rho_{O} = \frac{3}{4} \frac{k\tau}{1+k\tau} x^{-1/2} e \qquad \rho_{t_{O}} = \frac{3}{4} \frac{1}{1+k\tau} x^{-1/2}$$

que leva a

$$c_1(0) = -c_2(0) = \frac{3}{4} \frac{k\tau}{1+k\tau} x^{-1/2}$$

$$Y_1(0) = \frac{1.5}{1+k\tau}$$

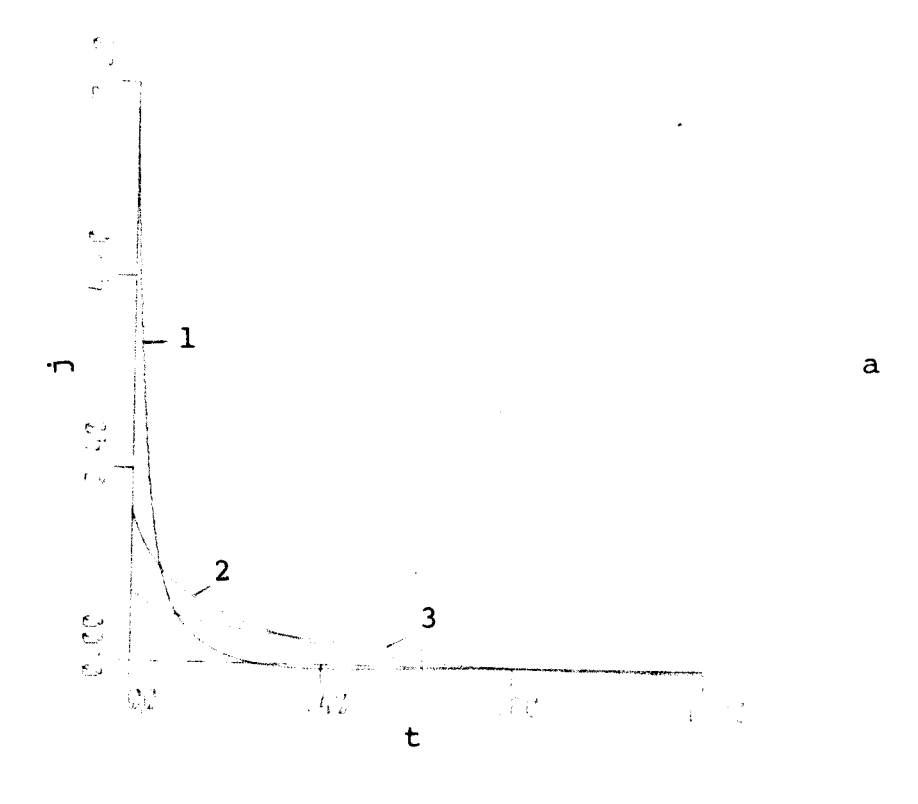
$$Y_2(0) = \frac{0.5}{1+k\tau}$$

$$Y_3(0) = \frac{0.3}{1+k\tau}$$

$$Y_4(0) = \frac{3/14}{1+k\tau}$$

$$Y_5(0) = \frac{1/6}{1+k\tau}$$

A Fig.(33) mostra as curvas de corrente em função do tem po com estas condições iniciais para três diferentes valores da voltagem aplicada (V > 0.5 para que o campo elétrico seja negativo em toda a amostra) e para k=1.0 e k=10.0. A corrente inicial é maior quanto maior  $V_1$ , já que, para os mesmos k e  $\tau$ , a densidade



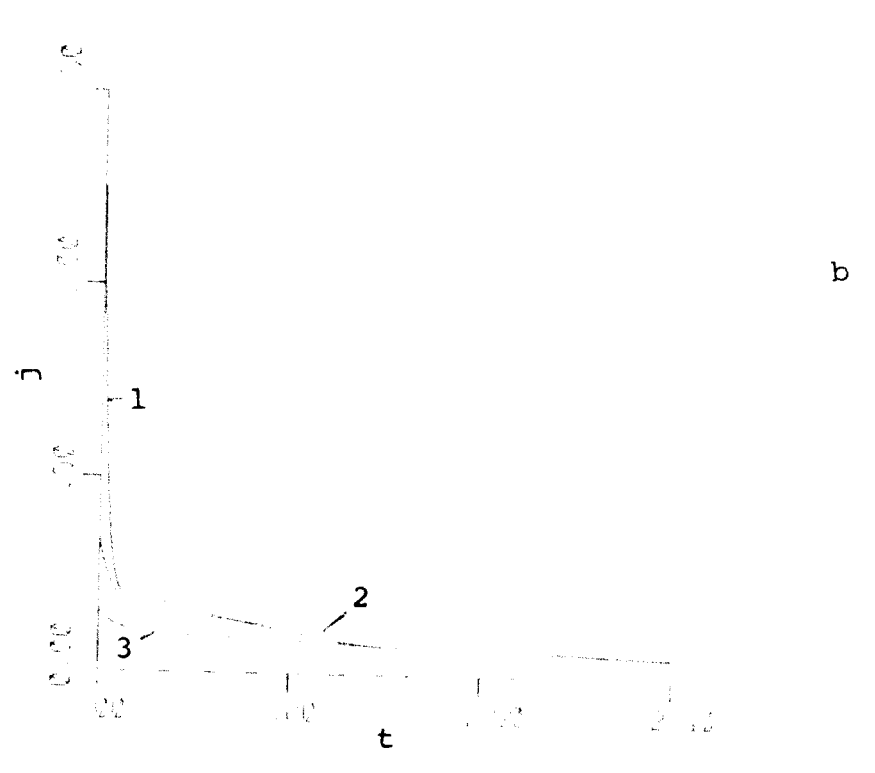


FIG.33. Corrente em função do tempo para as condições iniciais:  $\rho_0 = (3/4) \ \frac{k\tau}{1+k\tau} \ x^{-1/2} \ e \ \rho_{to} = (3/4) \ \frac{1}{1+k\tau} \ x^{-1/2} \ .$   $\tau = 0.1.$ 

(a) 
$$k = 10.0$$
: (1)  $V_1 = 10.0$ , (2)  $V_1 = 2.5$ , (3)  $V_1 = 1.0$ 

(b) 
$$k = 1.0$$
: (1)  $V_1 = 10.0$ , (2)  $V_1 = 2.5$ , (3)  $V_1 = 1.0$ 

de carga inicialmente livre é a mesma enquanto a intensidade do campo elétrico é tanto maior quanto maior V<sub>1</sub>, implicando, assim, numa corrente inicial maior. Por outro lado, como a carga a ser liberada é a mesma, quanto maior a voltagem, mais depressa a amostra perde a carga em excesso, o que se reflete no cruzamento das curvas. No caso de k=10, ocorre uma inversão da corrente, a qual, acreditamos, não é real sendo, antes, decorrente do afastamento da distribuição aproximada de carga livre daquela real. Inversões também ocorrem no caso de temperatura variável logo após o máximo da corrente, as quais também serão associadas a este fator.

Analogamente ao caso das condições iniciais da seção an terior, as áreas sob as curvas da corrente são aproximadamente  $\underline{i}$  guais para todas as curvas, porém um pouco diferentes de  $Y_{20}$ .

Novamente foram feitas curvas de (j.t)vs.logt. Para o caso com retrapping  $(\tau=0.1)$  e k=1, verificou-se que o tempo correspondente ao máximo destas curvas diminui à medida que a voltagem aumenta. No caso sem retrapping, porém, há inicialmente u ma diminuição e depois um aumento deste tempo, conforme ilustra a tabela abaixo para o caso de k = 1.0

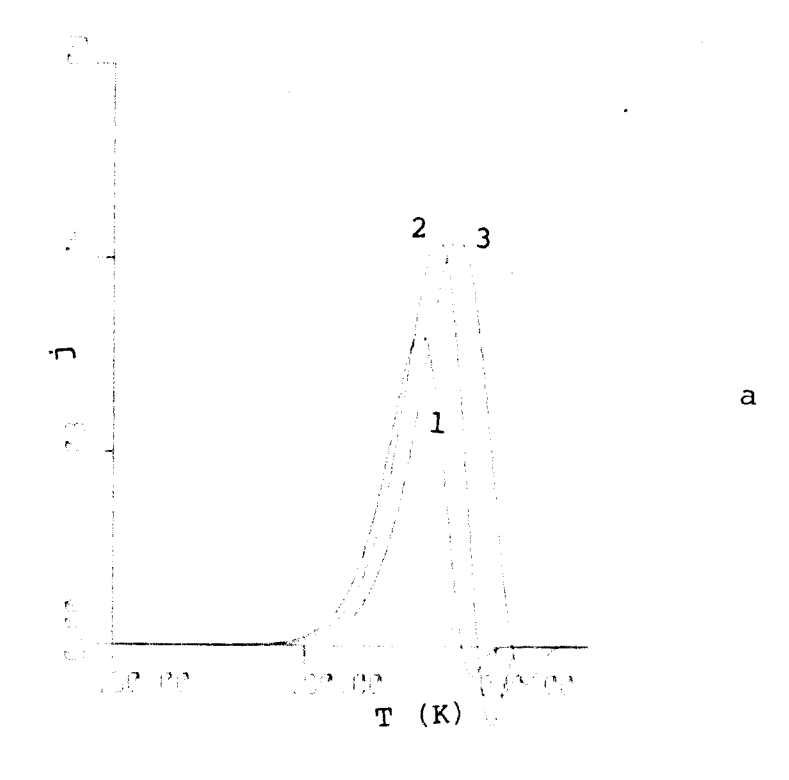
v	0,6	1.0	1.5	2.5	5.0	10.0
t <sub>m</sub>	1.57	1.20	0.95	0.74	0.78	0.88

Este caso sem retrapping já foi estudado na ref.(5) re - sultando num aumento do tempo correspondente ao máximo à medida que a voltagem aumenta, diferentemente do que foi obtido aqui . Não é possível, porém, dizer qual é o resultado correto, já que os dois cálculos são aproximados.

## 7.3- TSC com voltagem aplicada

Curvas de corrente termo-estimulada em função da tempera tura são apresentadas nas Fig.(34) e (35) considerando-se distribuição parabólica e linear para a carga livre, respectivamente , com a mesma condição inicial da seção 7.2.2. Algumas destas cur vas de corrente, calculadas com a aproximação de distribuição parabólica, principalmente para o caso de forte retrapping, apresen tam uma inversão logo após o pico, problema este, relacionado com o que foi discutido no caso de temperatura constante: só se pode esperar que as aproximações feitas aqui sejam boas se k for peque no. Neste caso de temperatura variável, k não é constante, mas varia de acordo com a lei de Arrhenius (k= $vexp(-\phi/k_BT)$ ); assim, início do aquecimento, até temperaturas da ordem da temperatura do máximo, k é suficientemente pequeno para assegurar que a aproxima ção para a densidade de carga livre seja boa. No entanto, para tem peraturas maiores k, que cresce exponencialmente com a temperatura, fica muito grande, e a aproximação se torna ruim. Observe-se, porém, que no caso sem retrapping, não há inversão para voltagens grandes (a inversão que aparece na Fig. (43.b) corresponde à curva com V=1.0), o que pode significar que, ainda que k seja grande, estes resultados podem ser considerados bons desde que não variações bruscas da densidade de cargas, tanto na banda de condu ção como nos traps, condição que, provavelmente é satisfeita para esta situação em que não há retrapping e em que V é suficientemen te grande, pois dessa forma, ao sair dos traps, os portadores de<u>i</u> xam logo o interior da amostra.

Comparando as curvas das Fig.(34) e (35) vê-se que, embora os valores das correntes correspondentes, calculadas com as aproximações de distribuição parabólica e linear para a carga livre, sejam diferentes, a posição do máximo e a largura do pico não



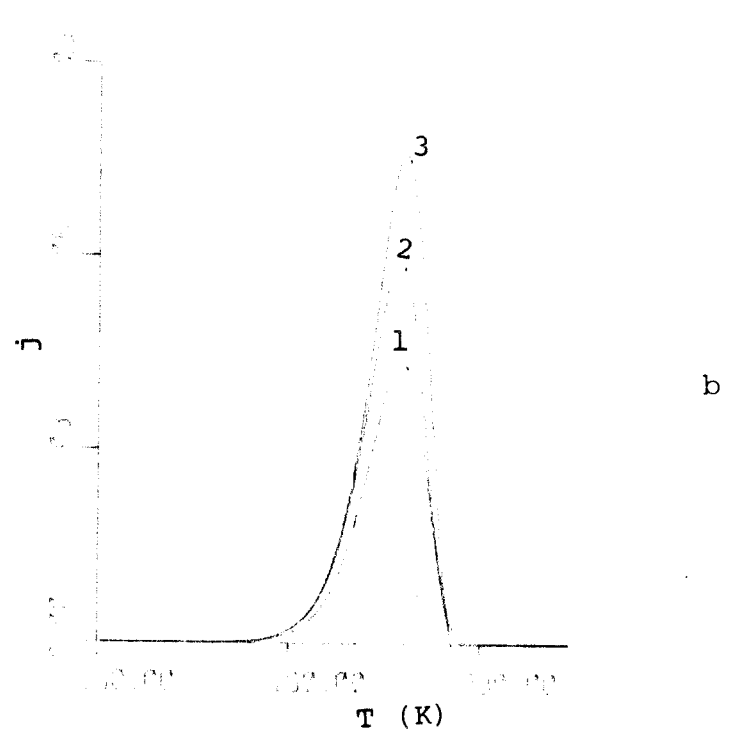


FIG.34. Corrente termo-estimulada em função da temperatura, considerando parabólica (seção 7.1) a distribuição de cargas li vres.  $\beta$  = 0.03 K/s,  $\phi$  = 0.65 eV,  $\nu$  =  $10^{1.3} s^{-1}$ ,  $\ell^2/\mu V_O$  = 100 s.

(a) 
$$\tau = 0.1$$
: (1)  $v_1 = 10$ , (2)  $v_1 = 2.5$ , (3)  $v_1 = 1.0$ 

(b) 
$$\tau \to \infty$$
: (1)  $V_1 = 10$  , (2)  $V_1 = 2.5$  , (3)  $V_1 = 1.0$ 

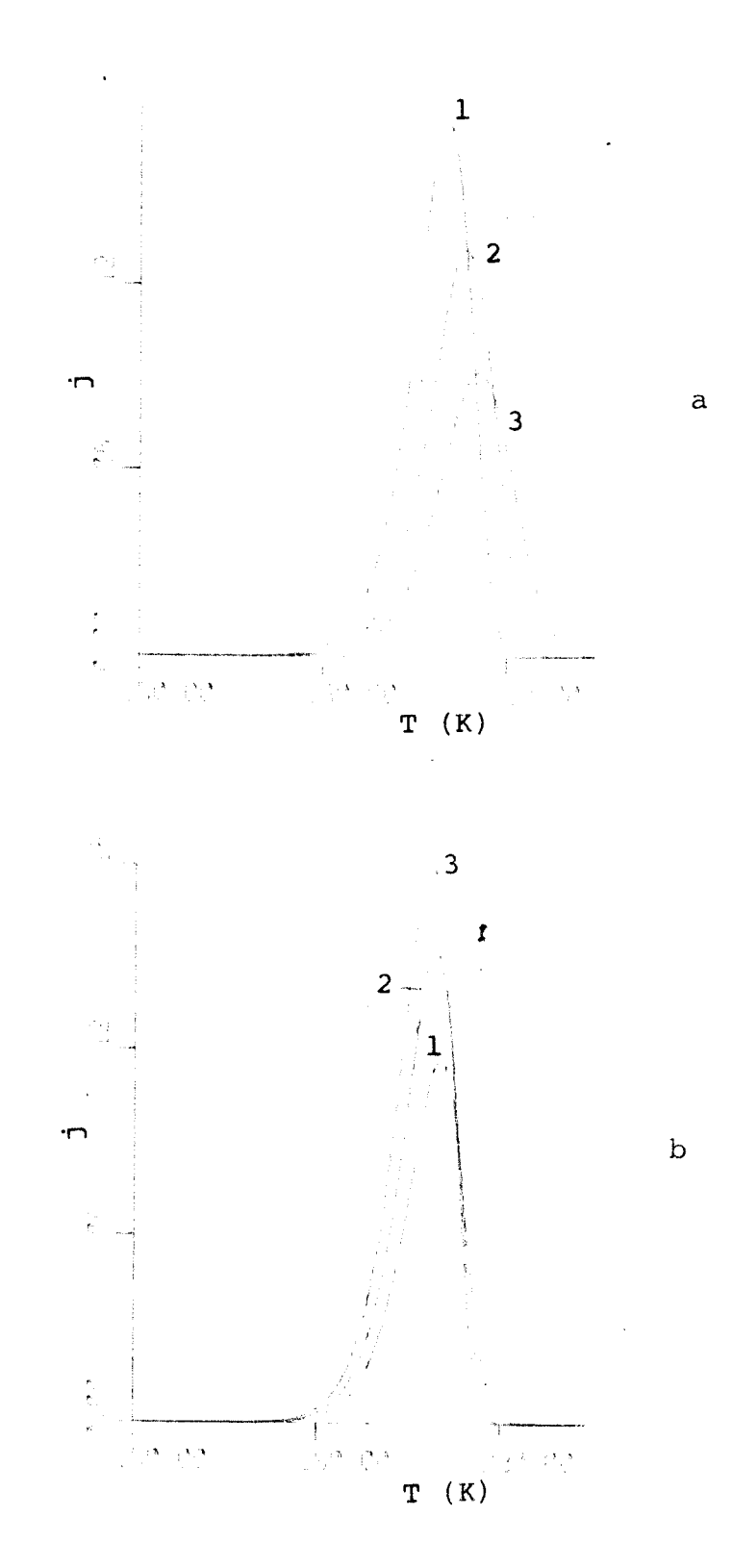


FIG.35. Corrente termo-estimulada em função da temperatura, considerando linear (apêndice C) a distribuição de cargas liveres.  $\beta=0.03 \text{K/s}, \ \phi=0.65 \text{ eV}, \ \nu=10^{13} \text{s}^{-1}, \ \ell^2/\mu\text{V}_0=100\text{s}.$  (a)  $\tau=0.1$  : (1)  $\text{V}_1=10$  , (2)  $\text{V}_1=2.5$  , (3)  $\text{V}_1=1.0$  (b)  $\tau^{+\infty}$  : (1)  $\text{V}_1=10$  , (2)  $\text{V}_1=2.5$  , (3)  $\text{V}_1=1.0$ 

diferem muito (as diferenças são, em média de 2.5% para  $T^*$ , 2.0% para  $T_1$  e 3.5% para  $T_2$ ). Deve-se observar ainda que nenhuma das duas aproximações dá áreas iguais sob estas curvas de corrente termo-estimulada, o que deveria ocorrer num cálculo exato.

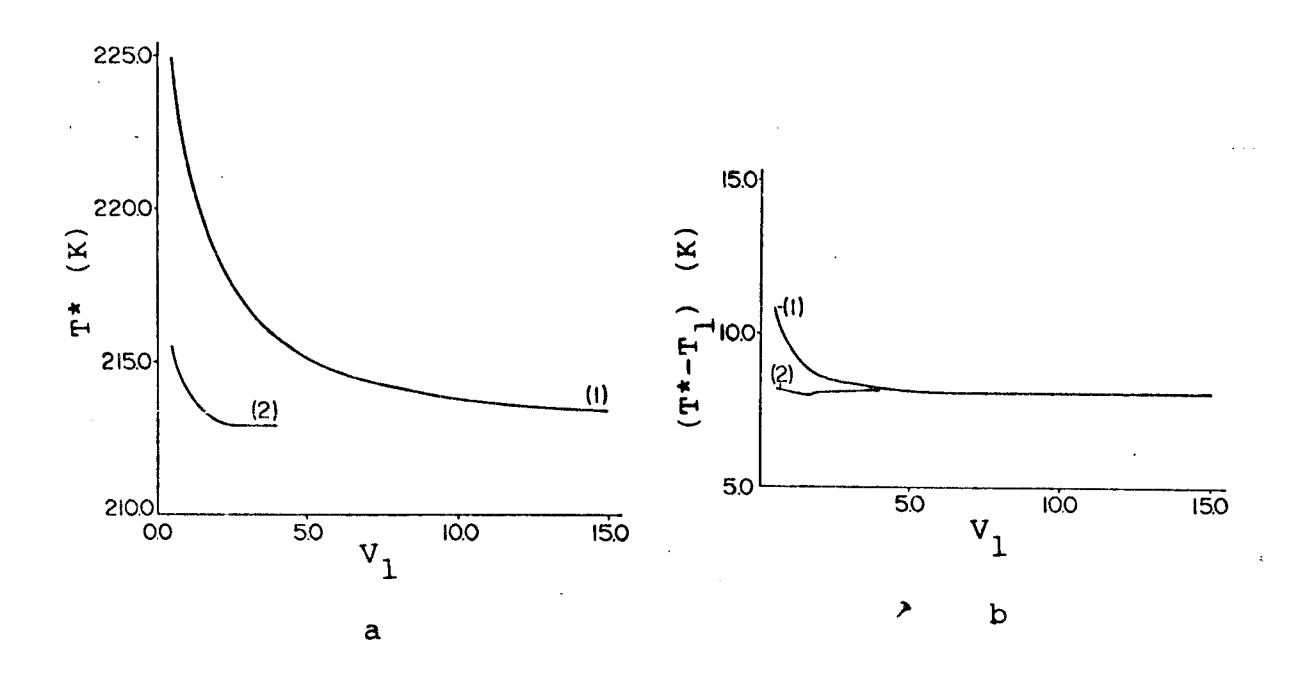


FIG.36.(a) Temperatura do máximo e (b) meia largura em função da voltagem aplicada.  $\beta$ =0.03 k/s,  $\phi$ =0.65 eV,  $\nu$  =  $10^{1.3} \text{s}^{-1}$ ,  $\ell^2/\mu V_0$  = 100 s. (1)  $\tau$  = 0.1 , (2)  $\tau$  +  $\infty$ 

As Fig.(36.a e.b) mostram, respectivamente , as depen - dências da temperatura do máximo e da meia-largura (T\* -  $T_1$ ) com a voltagem. Ao sair dos traps os portadores dirigem-se para o eletrodo em x=0, tanto mais depressa quanto mais intenso for o campo elétrico; é compreensível, portanto, que a temperatura do máximo seja menor quanto maior a voltagem, já que, neste caso, os portadores saem da amostra mais rapidamente. Para  $V_1$  muito grande, atinge-se um estado de saturação quando, ao sair dos traps , os portadores são imediatamente arrastados pelo campo elétrico a té o eletrodo em x=0, e a corrente fica dominada exclusivamente

pelo processo de saída dos portadores dos traps. Como se poderia esperar, essa saturação ocorre para voltagens maiores quando há retrapping, já que, neste caso, os portadores demoram mais para deixar o interior da amostra. A temperatura de "saturação" é a mesma para  $\tau$  pequeno que para  $\tau \rightarrow \infty$ , pois, se a voltagem é suficientemente grande para que o tempo de trânsito (da ordem de  $\ell^2/\mu V_1$ ) seja menor do que o tempo de trapping  $\tau$ , os portadores são levados para x=0, sem tempo de serem recapturados.

Deve-se dizer, ainda, que o problema tratado neste capítulo foi resolvido, também aproximadamente, na referência (5) e que, neste caso de TSC, o máximo da corrente se desloca para temperaturas maiores à medida que V<sub>1</sub> aumenta, contrariamente ao que foi obtido aqui. Surge, então a pergunta: qual é o resultado correto ? Com base na discussão do parágrafo anterior, acreditamos que o correto é a diminuição da temperatura do máximo conforme se aumenta a voltagem aplicada.

### CONCLUSÕES

Nos Capítulos IV e V calculou-se o decaimento do poten cial de superfície de uma amostra em circuito aberto para dois t $\underline{i}$ pos de condições iniciais: carga concentrada na superfície, no Ca pítulo IV e carga distribuida no volume, no Capítulo V. No primei ro caso, a solução aproximada foi comparada com a solução exata de Rudenko para a situação particular em que os traps são profun dos (k=0), sendo a concordância muito boa. No caso de distribui ção volumétrica de cargas, a solução aproximada para a condição  $\underline{\mathbf{i}}$ nicial de distribuição linear de cargas foi comparada com a cor respondente exata (ref.3) resultando, também, muito boa. Para outra condição inicial ( $\rho$  e  $\rho_{+}$  proporcionais a  $x^{-1/2}$ ), para a qual não se conhece solução exata, a verificação da solução aproximada foi feita comparando a solução obtida quando se aproxima só a distribuição de carga livre por uma linear, com uma outra em que se aproxima assim, tanto a carga livre como aquela dos traps, resultando, também, numa concordância muito boa. Conclui-se, então, que, mesmo quando a aproximação para a densidade de carga livre não é muito boa, o potencial calculado resulta bom, o que é com preensivel, já que este depende somente da carga total e do primeiro momento destas.

Nos Capítulos VI e VII calculou-se, respectivamente, a corrente em curto circuito e aquela com voltagem aplicada com a carga inicialmente distribuida no volume da amostra. A corrente é uma quantidade mais sensível à forma da distribuição de cargas do que o potencial de superfície, por isso a corrente aproximada só fica bem próxima daquela exata (ou, quase exata, já que foi obtida da integração numérica das equações diferenciais parciais pelo Método das Diferenças Finitas), quando a aproximação para a distribuição de cargas livres é boa.

No caso da amostra em curto-circuito, viu-se que a posi ção e largura dos picos das curvas jt vs. logt praticamente coin cidem no cálculo aproximado e no exato, mesmo para o caso drástico em que a distribuição inicial de carga é proporcional a  ${\tt x}^{-1/2}$  e se aproximou a carga livre por uma distribuição linear . Este tipo de curva foi escolhida por apresentar alguma estrutu ra (picos) em oposição às curvas de j vs. t que decaem monotonicamente. Conclui-se, portanto, que, embora o valor da corrente se ja diferente, suas características são mantidas na aproximação. Com relação às curvas de correntes termo-estimuladas em cur to-circuito, apesar de não ter sido feita nenhuma comparação com algum cálculo exato, acreditamos serem bons os resultados para a posição e largura dos picos já que estes devem depender mais dos processos de saída das cargas das armadilhas, isto é, dos para metros que as caracterizam, do que da forma exata da distribui ção de cargas.

No caso com voltagem aplicada, problema tratado no Capítulo VII, a aproximação para a densidade de carga livre quando k é grande (da ordem ou maior do que o inverso do tempo de trânsito) está muito diferente da exata (embora a corrente não este ja tão diferente quanto se poderia esperar). A solução para este problema poderia, provavelmente , ser melhorada escolhendo-se ou tra forma para a densidade de carga livre, mais especificamente, subdividindo-se a região 0 < x < 1 em duas regiões (bem visíveis nas figuras (30) e (31)) e considerando que a carga se move em blo co, com uma traseira bem definida, com velocidade  $\mu_{\rm m}E$ , sendo  $\mu_{\rm m}$  a mobilidade modulada pelos traps e E o campo elétrico.

O ponto crítico quando se utiliza o Método de Galerkin é, portanto, a escolha da base para a expansão em série da densidade de cargas livres (ou, na notação do Capítulo II, do conjunto  $\{\Psi_{\bf i}({\bf x})\}$ ). Em princípio, qualquer conjunto completo de funções

serve como base para esta expansão; quando bem escolhida, apenas um ou dois termos na série já são suficientes para que a solução aproximada esteja bem próxima da exata; por outro lado, quando a escolha da base é arbitrária, pode ser necessário considerar mui tos termos na série o que implica em muitos coeficientes a serem determinados e, consequentemente, em mais trabalho para desacoplar as equações e, nos casos em que não se consegue soluções analíticas, em longos tempos de computação que podem, até, se equiparar com o tempo gasto nas integrações numéricas diretas do sistema de equações a derivadas parciais pelo Método das Diferenças Finitas. Isto faz com que o Método de Galerkin perca sua principal vantagem que é, justamente, a de poder gastar pouco tempo de computação.

É claro que, quando não se conhece a solução exata de algum caso particular do problema em questão, conhecimento este que sugeriria a forma da densidade de carga livre e permitiria comparar a solução aproximada com a exata naquele caso particular (como foi feito neste trabalho), algum critério deve ser estabelecido para se saber se a solução tentativa é suficientemente boa. Acreditamos que o mais indicado é fazer o cálculo considerando, consecutivamente, um, dois, três,..., termos na série : quando a solução praticamente não mudar mais, toma-se o menor número de termos que dê a solução considerada satisfatória. Este processo, simples em princípio, é, no entanto, cansativo; apesar disso teria sido interessante utilizá-lo aqui - fica como uma su gestão para trabalhos futuros.

#### REFERÊNCIAS BIBLIOGRÁFICAS

- (1) RUDENKO, A.I. Soviet Phys. Solid State <u>14</u>(11), 2706-09 (1973)
- (2) MANY, A. & RAKAVY, G. Phys.Rev. 126(6), 1980-88 (1962)
- (3) NUNES OLIVEIRA, L. & LEAL FERREIRA, G.L. Journal of Electros tatics, 2, 187-198 (1976)
- (4) LINDMAYER, J. J. Appl. Phys., 36 (1), 196-201 (1965)
- (5) SAMOC, A.; SAMOC, M.; SWORAKOWSKI, J. Phys. Stat. Sol. <u>36</u>(a), 735-745(1976)
- (6) SIMMONS, J.G. & TAM, M.C. Phys.Rev.B, 7(8) (1973)
- (7) SIMMONS, J.G. & TAYLOR, G.W. Phys. Rev. B, 5(4) (1972)
- (8) CARNAHAN, B.; LUTHER, H.A.; WILKES, J.O. Applied Numerical Methods. John Wiley & Sons (1969)
- (9) SMITH,G.D. Numerical Solution of Partial Differential Equations. Oxford University Press (1969)
- (10) KANTOROVICH, L.V. & KRYLOV, V.I. Approximate Methods of Higher Analysis, The Netherlands, P.Noordhoff LTD (1958)
- (11) NORRIE, D.H. & DE VRIES, G. An Introduction to Finite Element
  Analysis, Academic Press (1978)
- (12) FINLAYSON, B.A. & SCRIVEN, L.E. On the Search for Variational Principles, Internat. J. Heat Mass Transfer, 10, 799-821 (1967)
- (13) BIOT, M.A. Variational Principles in Heat Transfer. Oxford
  University Press (1970)
- (14) CAMARGO, P.C. Dissertação de Mestrado, IFQSC USP (1975)
- (15) STRANG, G. & FIX, G.J. An Analysis of the Finite Element Method.

  Prentice Hall, Englewood Cliffs, N.J. (1973)
- (16) SCHILLING, R.B. & SCHACHTER, H. J. Appl. Phys., 38(2), 841-844

  (1967)
- (17) REISER,A.; LOCK,M.W.B.; KNIGHT,J. Trans.Faraday Soc., 65, 2168-84 (1969)

- (18) CAMPOS, M.S. & GIACOMETTI, J.A. J. Appl. Phys., <u>52</u>(7), 4546-52 (1981)
- (19) GIACOMETTI, J.A. Dissertação de Mestrado, IFQSC-USP (1977)
- (20) Handbook of Mathematical Functions edited by Abramowitz, M. & Stegun, A. Dover Publication.
- (21) PERLMAN, M.M. & SONNONSTINE, T.J. J. Appl. Phys. 46, 3975(1975)
- (22) LAMPERT, M.A. & MARK, P. Current Injection in solids. Academic Press (1970)
- (23) SAMOC, A.; SAMOC, M.; SWORAKOWSKI, J.; THOMAS, J.M.; WILLIANS, J.O. Phys. Stat. Sol. (a), 37, 271-278 (1976)
- (24) NICHOLAS, K.H. & WOODS, J. Brit. J. Appl. Phys. <u>15</u>, 783-795 (1964)
- (25) CHEN, R. J. Electrochem. Soc., 116, 1254-57 (1969)
- (26) TURNHOUT, J.Van Thermally Stimulated Discharge of Electrets.
  In: Electrets, edited by G.M. Sessler. Springer-Verlag
  (1980)
- (27) GARLICK, G.F.J. & GIBSON, A.F., Proc. Roy. Soc., 60, 574 (1948)

### APÊNDICE A

Calcula-se, a seguir, o potencial de superfície de uma amostra com distribuição inicial de cargas conhecida (Capítu - lo V), considerando apenas um termo na série (II.4), com

$$\Psi_1(\mathbf{x}) = 1$$

o que dá

$$\bar{\rho} = c(t)$$

Dessa forma a condição correspondente à eq.(II.5) na eq.(V.1) dá uma equação da qual se determina c(t)

$$\dot{c} + c^2 + \frac{c}{\tau} + (c-k) \int_0^1 \rho_t(x,t) dx = 0$$
 (A.1)

Integração da eq.(III.4) usando (V.2) dá

$$\rho_{t}(x,t) = e^{-kt} \{ \rho_{to}(x) + \frac{1}{\tau} \int_{0}^{t} e^{kt'} c(t') dt' \}$$

e a eq.(A.1) se escreve

$$\dot{c} + c^2 + \frac{c}{\tau} + (c-k)e^{-kt} \{Q_{t_0} + \int_{0}^{t} e^{kt'} c(t) dt'\}$$
 (A.2)

onde  $\mathbf{Q}_{t_0}$  é a carga total por unidade de área inicialmente nos traps.

Seja

$$P(t) = e^{-kt} \int_{0}^{t} e^{kt} c(t') dt'$$

$$S = \dot{P}$$

o que implica em

$$c = S + kP$$
.

Dessa forma a eq.(A.2) se desdobra em duas

$$P = S$$

$$\dot{S} = -(S+kP) \left(S+kP+\frac{1}{\tau} + Q_{t_0}e^{-kt} + \frac{P}{\tau}\right) + k(Q_{t_0}e^{-kt} + \frac{P}{\tau} - S)$$

O potencial de superfície é dado pela eq.(III.6), onde o campo elétrico E(x,t) é obtido da integração da eq. de Pois - son com a condição de contorno E(0,t)=0. Resulta

$$V(t) = \frac{c}{2} + \frac{P}{2\tau} + (Q_{t_0} - M_{t_1}) e^{-kt}$$

onde  $M_{t1}$  é o primeiro momento das cargas presas nos traps no instante inicial.

#### APÊNDICE B

São apresentadas, aqui, as equações obtidas para o caso de curto-circuito, Capítulo VI, quando se considera

$$\bar{\rho} = c_1 + c_2 x + c_3 x^2$$

O procedimento é análogo ao deste capítulo, obtendo-se

$$\dot{c}_1 = -9 (A-4B + \frac{10}{3} C)$$

$$\dot{c}_2 = 36 (A - \frac{16}{3} B + 5C)$$

$$\dot{c}_3 = -30 (A-6 (B-C))$$

sendo

$$\begin{split} \mathbf{A} &= \mathbf{c}_{1}^{2} + \frac{\mathbf{c}_{2}^{2}}{3} + \frac{\mathbf{c}_{3}^{2}}{4} + \mathbf{c}_{1}\mathbf{c}_{2} + \frac{5}{6} \mathbf{c}_{1}\mathbf{c}_{3} + \frac{7}{12} \mathbf{c}_{2}\mathbf{c}_{3} + \frac{\mathbf{c}_{1}}{\tau} + \\ &+ \frac{\mathbf{c}_{2}}{2\tau} + \frac{\mathbf{c}_{3}}{3\tau} + \mathbf{c}_{1}\mathbf{Y}_{1} + \mathbf{c}_{2}\mathbf{Y}_{2} + \mathbf{c}_{3}\mathbf{Y}_{2} - \mathbf{k}\mathbf{Y}_{1} \\ \mathbf{B} &= \frac{\mathbf{c}_{1}^{2}}{2} + \frac{7}{24} \mathbf{c}_{2}^{2} + \frac{2}{9} \mathbf{c}_{3}^{2} + \frac{3}{4} \mathbf{c}_{1}\mathbf{c}_{2} + \frac{2}{3} \mathbf{c}_{1}\mathbf{c}_{3} + \frac{37}{72} \mathbf{c}_{2}\mathbf{c}_{3} + \\ &+ \frac{\mathbf{c}_{1}}{2\tau} + \frac{\mathbf{c}_{2}}{3\tau} + \frac{\mathbf{c}_{3}}{4\tau} + \mathbf{c}_{1}\mathbf{Y}_{2} + \frac{\mathbf{c}_{2}\mathbf{Y}_{2}}{2} + \frac{\mathbf{c}_{2}\mathbf{Y}_{3}}{2} + \frac{2}{3} \mathbf{c}_{3}\mathbf{Y}_{2} + \frac{\mathbf{c}_{3}\mathbf{Y}_{4}}{3} - \mathbf{k}\mathbf{Y}_{2}. \\ \mathbf{C} &= \frac{\mathbf{c}_{1}^{2}}{3} + \frac{11}{45} \mathbf{c}_{2}^{2} + \frac{11}{56} \mathbf{c}_{3}^{2} + \frac{7}{12} \mathbf{c}_{1}\mathbf{c}_{2} + \frac{11}{20} \mathbf{c}_{1}\mathbf{c}_{3} + \frac{4}{9} \mathbf{c}_{2}\mathbf{c}_{3} + \\ &+ \frac{\mathbf{c}_{1}}{3\tau} + \frac{\mathbf{c}_{2}}{4\tau} + \frac{\mathbf{c}_{3}}{5\tau} + \mathbf{c}_{1}\mathbf{Y}_{3} + \frac{\mathbf{c}_{2}\mathbf{Y}_{2}}{3} + \frac{2}{3} \mathbf{c}_{2}\mathbf{Y}_{4} + \frac{\mathbf{c}_{3}\mathbf{Y}_{2}}{2} + \frac{\mathbf{c}_{3}\mathbf{Y}_{5}}{2} - \mathbf{k}\mathbf{Y}_{3} \\ \dot{\mathbf{Y}}_{1} &= \frac{\mathbf{c}_{1}}{\tau} + \frac{\mathbf{c}_{2}}{2\tau} + \frac{\mathbf{c}_{3}}{3\tau} - \mathbf{k}\mathbf{Y}_{1} \end{split}$$

$$\dot{Y}_2 = \frac{c_1}{2\tau} + \frac{c_2}{3\tau} + \frac{c_3}{4\tau} - kY_2$$

$$\dot{Y}_3 = \frac{c_1}{3\tau} + \frac{c_2}{4\tau} + \frac{c_3}{5\tau} - kY_3$$

$$\dot{Y}_4 = \frac{c_1}{4\tau} + \frac{c_2}{5\tau} + \frac{c_3}{6\tau} - kY_4$$

$$\dot{Y}_5 = \frac{c_1}{5\tau} + \frac{c_2}{6\tau} + \frac{c_3}{7\tau} - kY_5$$

E, para a corrente,

$$j = \frac{c_2}{2} \left\{ \frac{c_1}{6} + \frac{c_2}{12} + \frac{5}{36} c_3 + Y_2 - Y_3 \right\} + \frac{c_3}{3} \left\{ \frac{c_1}{4} + \frac{c_3}{12} + Y_2 - Y_4 \right\}$$

### APÊNDICE C

O cálculo a seguir se refere ao mesmo problema resolvido no capítulo VII (onde se aproximou a distribuição de carga livre por uma distribuição parabólica) considerando linear a distribuição de carga livre.

Considera-se apenas um termo na série (II.4) com

$$\Psi_1(\mathbf{x}) = 1 - \mathbf{x}$$

obtendo-se

$$\rho(x,t) = c(t)(1-x)$$
 (C.1)

e a condição correspondente à eq.(II.5) aplicada à eq.(VII.1), dá

$$\int_{0}^{1} \left[ E \frac{\partial \overline{\rho}}{\partial x} + \frac{\partial \overline{\rho}}{\partial t} + \overline{\rho}_{2} + \frac{\overline{\rho}}{\tau} + (\overline{\rho} - k) \rho_{t} \right] (1 - x) dx = 0$$
 (C.2)

O campo elétrico é obtido da equação de Poisson com a condição de contorno dada pela eq.(VII.4)

$$E(x,t) = -v_1 - \frac{c}{3} + v_2 - v_1 + cx - \frac{cx^2}{2} + \int_0^x \rho_t dx$$

Usando esta expressão para o campo elétrico e a eq.(C.1) na eq.(C.2) obtém-se uma equação diferencial ordinária que contém ainda a carga total nos traps e seu primeiro e segundo momentos, para os quais será usada a mesma notação dos Capítulos VI e VII, Y<sub>1</sub>, Y<sub>2</sub> e Y<sub>3</sub>, respectivamente, sendo a equação diferencial para es tes obtida da equação de balanço entre a banda de condução e os traps. Obtém-se, finalmente

$$\frac{dY_1}{dt} = \frac{c}{2\tau} - kY_1$$

$$\frac{dY_2}{dt} = \frac{c}{6\tau} - kY_2$$

$$\frac{dY_3}{dt} = \frac{c}{12\tau} - kY_3$$

$$\frac{dc}{dt} = c \left( -\frac{7}{8} c + \frac{3}{2} (Y_2 - Y_3) - \frac{3}{2} V_1 - \frac{1}{\tau} \right) - 3 (c - k) (Y_1 - Y_2)$$

A corrente total é calculada a partir da eq.(VI.7), resultando

$$j(t) = -\frac{c}{2}(v_1 + \frac{c}{12} + v_2 - v_3)$$